## МИНИСТЕРСТВО ОБРАЗОВАНИЯ И НАУКИ РОССИЙСКОЙ ФЕДЕРАЦИИ

федеральное государственное бюджетное образовательное учреждение высшего образования

«Тольяттинский государственный университет» Институт машиностроения

Кафедра «Оборудование и технологии машиностроительного производства» Направление 15.03.01 «Машиностроение» Профиль «Технология машиностроение»

## ВЫПУСКНАЯ КВАЛИФИКАЦИОННАЯ РАБОТА (БАКАЛАВРСКАЯ РАБОТА)

на тему: Разработка вала шпинделя.

И.о. заведующего кафедрой

К.Т.Н, ДОЦЕНТ (личная подпись)

Студент(ка) М.Г. Кадошников (И.О. Фамилия) (личная подпись) Руководитель Н.Ю.Логинов (И.О. Фамилия) (личная подпись) Консультанты К.Ш. Нуров (И.О. Фамилия) (личная подпись) Н.В. Зубкова (И.О. Фамилия) (личная подпись) В.Г. Виткалов (И.О. Фамилия) (личная подпись) Допустить к защите

Тольятти 2016

А.В. Бобровский

2016 г.

## МИНИСТЕРСТВО ОБРАЗОВАНИЯ И НАУКИ РОССИЙСКОЙ ФЕДЕРАЦИИ

## федеральное государственное бюджетное образовательное учреждение

#### высшего образования

«Тольяттинский государственный университет»

Институт машинострое	ния	
Кафедра «Оборудование и технологии машинос	троительно	ого производства»
УТВЕРЖДАН	О	
И.о. зав. кафе	дрой	А.В.Бобровский
	«_	
ЗАДАНИЕ		
на выполнение выпускной квалифи	кационной	і работы
(уровень бакалавра	1)	
направление подготовки 15.03.01«М	<u> Гашиностр</u>	ооение»
профиль "Технология машин	<u>юстроение</u>	<u>"</u>
Студент Кадошников М.Г.	гр	MC6-1203
1. Тема Разработка вала шпинделя		
2. Срок сдачи студентом законченной выпускной квалифи	икационной	і работы «_» 2016 г.
3. Исходные данные к выпускной квалификационной рабо	оте _	
1. Чертеж детали		
2. Годовая программа выпуска 5000 дет./год		
3. Режим работы – двухсменный.		
4. Содержание выпускной квалификационной работы (обт	ьем 40-60 с	.)
Титульный лист.		
Задание. Аннотация. Содержание.		

Введение, цель работы

- 1) Описание исходных данных
- 2) Технологическая часть работы
- 3) Проектирование приспособлений
- 4) Безопасность и экологичность технологического обеспечения
- 5) Экономическая эффективность работы

Заключение. Список используемой литературы.

Приложения: технологическая документация

#### **КИДАТОННА**

УДК 621.01

Кадошников М.Г. Технологическая разработка вала шпинделя для токарного оборудования.

Дипломная работа- Тольяттинский Государственный Университет 2016 г. Количество страниц- 140 с .

Количество чертежей-6 листов формата A1 и 2 листа формата A2 Ключевые слова: выбор режимов резания, выбор заготовки, расчет размерных цепей, экологичность, нормы времени.

Представлена технологическая обработка тела вращения с эскизами и теоретической схемой базирования и с назначением допусков в осевом и диаметральном направлении на всех операциях. Приведен выбор технологического оснащения для каждой операции. Построены размерные цепи рассчитаны припуски на каждой операции при помощи уравнений.

## СОДЕРЖАНИЕ

Введение5
1 Анализ исходных данных
1.1 Анализ служебного назначения детали
1.2 Классификация поверхностей детали
1.3 Анализ технологичности детали
2 Технологическая часть работы
2.1 Определение типа производства
2.2 Выбор и проектирование заготовки
2.3 Разработка технологического маршрута на поверхность
2.4Разработка технологического маршрута
2.5 Выбор технологических баз
2.6 Выбор средств технологического оснащения
2.7 Расчет припусков на самую точную поверхность
2.8 Размерный анализ в осевом направлении
2.9 Размерный анализ в радиальном направлении
2.10 Выбор режимов резания и норм времени
3 Расчет приспособления
4 Основы безопасности жизнедеятельности и экологичность
5 Экономический эффект
Приложение
Спецификация
Маршрутная и операционные карты

#### ВВЕДЕНИЕ

Шпиндельные узлы необходимы для точного вращения заготовки или инструмента и в значительной мере определяют качество обработанных поверхностей. Точность характеризуется радиальным биением. Быстроходность характеризуется скоростью резания заготовок. Нагрузочная способность характеризуется мощностью привода. Статическая жесткость характеризуется упругими перемещениями шпинделя. Динамические характеристики характеризуют частоту собственных колебания шпиндельного узла. К шпинделям станков предъявляются такие требования как точность размеров, в частности радиальные размеры под подшипники, точность формы поверхностей для поверхностей под подшипники так как они являются самые точные и технологические базы, точность расположения поверхностей под подшипники и технологические базы.

## 1. Анализ исходных данных

#### 1.1 Анализ служебного назначения детали

Деталь Вал-шпиндель служит с одной стороны для взаимодействия с приводом оборудования, с другой стороны для крепления патрона

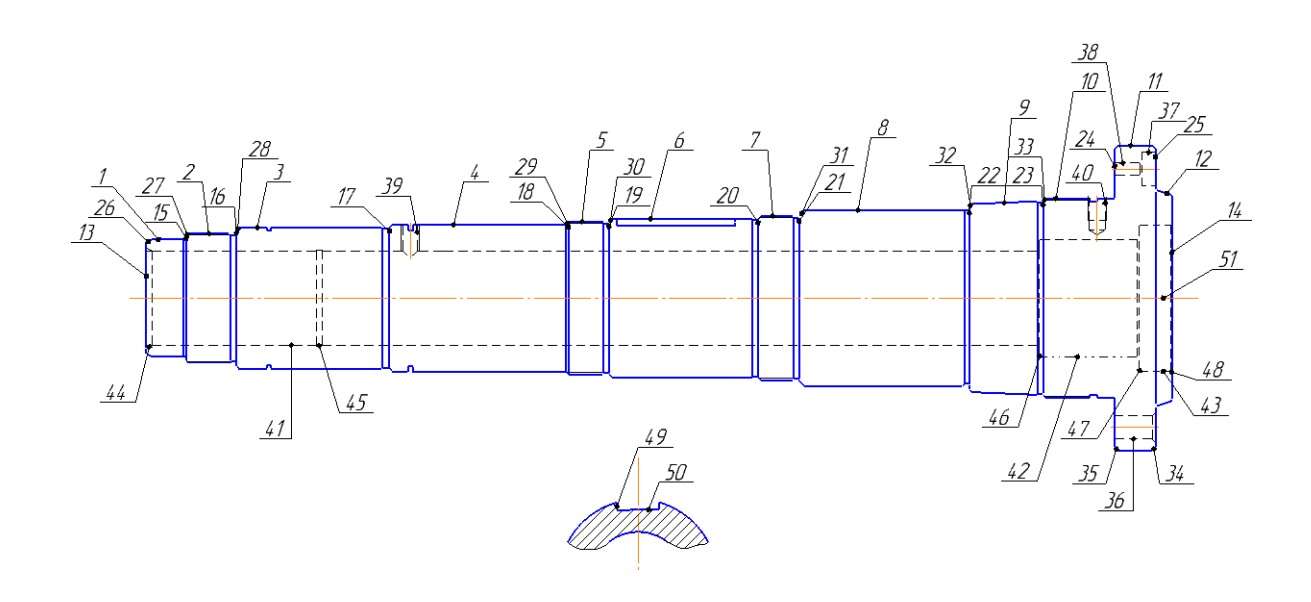
Условие смазки- разбрызгивание.

Трение происходит по шейкам подшипника.

Опасными сечениями являются проточки для выхода шлифовального круга.

Условия работы – нормальные.

## 1.2 Классификация поверхностей детали



Рисунок<br/>1.2-Простановка конструкторских баз $^1$ 

Сделаем обозначение всех конструкторских баз (см. Таблицу 1.2)

Таблица 1.2-Обозначение конструкторских баз

Вид поверхности	№ поверхности
Основные конструкторские базы	3,8,9,32
Вспомогательные конструкторские базы	1,2,5,6,7,10,41
Исполнительные базы	49,12
Свободные базы	все остальные поверхности

\_

<sup>&</sup>lt;sup>1</sup> Рисунок выполнен автором

#### 1.3 Анализ технологичности

#### 1.3.1 Технологичность заготовки

Материал детали-сталь 40Xпо ГОСТ 4543-71 и обладает следующими характеристиками( см. Таблицу 1.3.1)

Таблица 1.3.1-Содержание химических элементов (в %)\*.

Марка	С	Si	Cr	Mn	Ni		
стали	Co	Содержание элементов в %					
40X	0,36-0,44	0,17-0,37	0,8-1,1	0,5-0,8	до 0,3		

<sup>\*</sup>Примечание. Таблица составлена автором по данным методического указания к выполнению курсовых работ.

По таблице [1 с 10, табл.3.2] определим твердость детали.

Твердость. В состоянии поставки – 217HB, после закалки – 43HRC.

По таблице [1 с 11, табл.3.3] определим прочность детали.

Прочность. До закалки  $\sigma_B = 217 \, \text{HB}$ , после закалки 43 HRC.

Обрабатываемость. Коэффициент обрабатываемости при обработке твердосплавным инструментом -1[1 с 13, табл.3.5].Коэффициент при обработке из быстрорежущей стали — 1[1 с 14, табл.3.6],относительная стоимость (по отношению к Ст40X) -1[1 с 15, табл.3.7].Механические характеристики обеспечивают нормальную работу "Вала-шпинделя" в токарном станке. Материал не является дефицитным. Термообработка выполняется по типовой технологии и не требует специальных условий.

Заготовку можно получить как штамповкой, так и обработкой давлением-ковкой. В обоих случаях форма заготовки ее элементов проста. Отсутствуют большие перепады диаметров. В случае применения штамповки поверхность разъема плоская. Свободные поверхности- торцы вала выполнены

по 14-ому квалитету точности. Точность остальных свободных поверхностей может быть получена только при механической обработке. Таким образом, с точки зрения полученной заготовки, деталь можно считать технологичной.

#### 1.3.2 Технологичность общей конфигурации

Радиусы закруглений и фаски выполнены по ГОСТ 10948-64, формы и размеры канавок- по ГОСТ 8820-69, размеры шпоночного паза по ГОСТ 23360-78. Такая унификация упростит обработку и контроль вала-шпинделя. Заданный вал-шпиндель можно отнести к типу деталей валы, для которой разработан технологический процесс. Деталь не содержит специфических форм, поэтому может быть обработана по типовому Т.П. Форма детали позволяет вести обработку нескольких поверхностей, цилиндрических и торцовых. Одновременно несколько заготовок удается обработать на многошпиндельном станке, что для заданного типа производства и формы детали вряд ли целесообразны. Оборудование может быть простым и универсальным. Оснастку можно применить также универсальную. Все поверхности вала доступны для контроля. Таким образом, с точки зрения общей компоновки детали ее можно считать технологичной.

# 1.3.3 Технологичность базирования и закрепление черновыми базами для установки заготовки на первой операции

Черновыми базами могут быть цилиндрические шейки и торцовые поверхности заготовки. В дальнейшем за базу можно принять как цилиндрические (3,8,9), так и торцовые (17,32,33) поверхности, а также специально выраженные центровые отверстия по ГОСТ 14034-74. Измерительные базы детали можно использовать в качестве технологических баз. Таким образом, с точки зрения базирования и закрепления, деталь следует считать технологичной.

#### 1.3.4 Технологичность обрабатываемых поверхностей

Предполагается обработать все поверхности детали, т.к. заданы точность и шероховатость, которые не возможно получить на заготовительных операциях. Всего обрабатывается 50 поверхностей. 10 цилиндрических, 2 конические, 12 торцовых, 1 шпоночных паза, 12 канавок, 5 отверстий. То есть при полной обработке число обрабатываемых поверхностей относительно невелико. Точность и шероховатость рабочих поверхностей определяются условиями работы вала-шпинделя, снижение точности приведет к снижению точности вала-шпинделя в токарном станке и надежности его работы. Повышение точности приведет к подорожанию обработки. Увеличение шероховатости поверхностей приведет к снижению надежности сопряжений и интенсивному изолированию поверхностей, уменьшение шероховатости приведет к удорожанию обработки. Наличие канавок, согласована с конструктором и не ухудшает эксплуатационных свойств детали. Таким образом, с точки зрения обрабатываемых поверхностей деталь следует считать технологичной.

Вывод: Поскольку деталь вал отвечает требованиям технологичности по всем критериям, можно сделать вывод а ее достаточно высокой технологичности.

## 2. Технологическая часть работы

## 2.1 Определение типа производства

Масса детали зависит от плотности и объема.

$$m = \rho \cdot V, \kappa \varepsilon$$
 (2.1)

где  $\,_{
ho}$  -плотность конструкционной стали,  $\,_{
m {\scriptstyle M}^3}^{\ \ \kappa c}$ 

V - объем детали,  $_{\it MM}{}^{\it 3}$ 

Определим объем детали:

$$V = \sum \pi \cdot r^2 \cdot h, MM^2 \tag{2.2}$$

$$V = \sum \pi (50^2 \cdot 32 + 55^2 \cdot 19 + 60^2 \cdot 65 + 62, 5^2 \cdot 75 + 65^2 \cdot 35 + 67, 5^2 \cdot 122 + 70^2 \cdot 35 + 75^2 \cdot 140 + 82^2 \cdot 58 + 85^2 \cdot 51 + 130^2 \cdot 35) = 11483443, 15 \text{ mm}^3$$
(2.3)

Учтем сквозное отверстие:

$$V_1 = \sum \pi (40^2 \cdot 802 + 50^2 \cdot 51 + 62,5^2 \cdot 30) = 9955555,5 \text{ mm}^3$$
 (2.4)

Расчетный объем:

$$V_p = V - V_1 = 11483443,15 - 9955555,5 = 1527887,65 \text{ MM}^3$$
 (2.5)

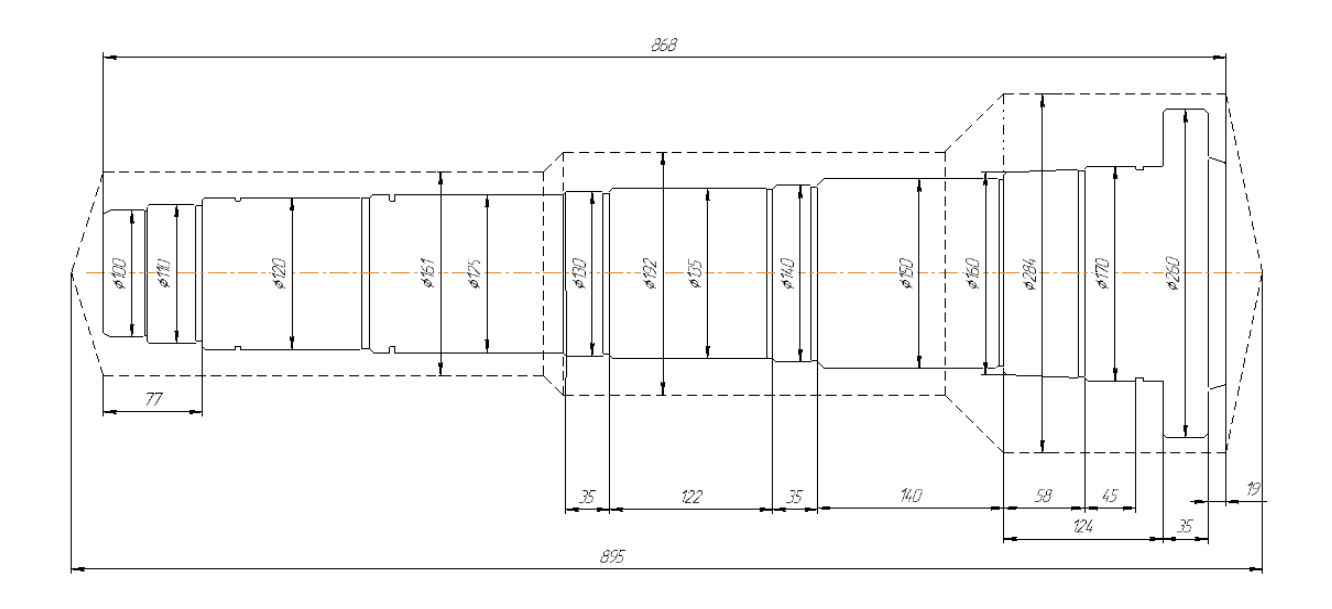
Плотность стали  $\rho = 7.8 \cdot 10^3 \frac{\kappa 2}{M^3} [3 \text{ с 164, табл. 1}]$ 

Учитывая формулу 2.1 получаем массу детали  $m=52\,\kappa z$ 

Так как тип производства зависит от массы детали и годового объема выпуска, принимаем среднесерийный тип производства.[2 с 24, табл. 3.1].

#### 2.2.Выбор и проектирование заготовки

Выберем метод получения заготовки: штамповка(закрытая) и найдем массу заготовки( см. Рисунок 2.2.1).



Рисунок<br/>2.2.1-Метод получения заготовки штамповкой  $^2$ 

-

<sup>&</sup>lt;sup>2</sup> Рисунок выполнен автором

Выберем метод получения заготовки: ковки и найдем массу заготовки

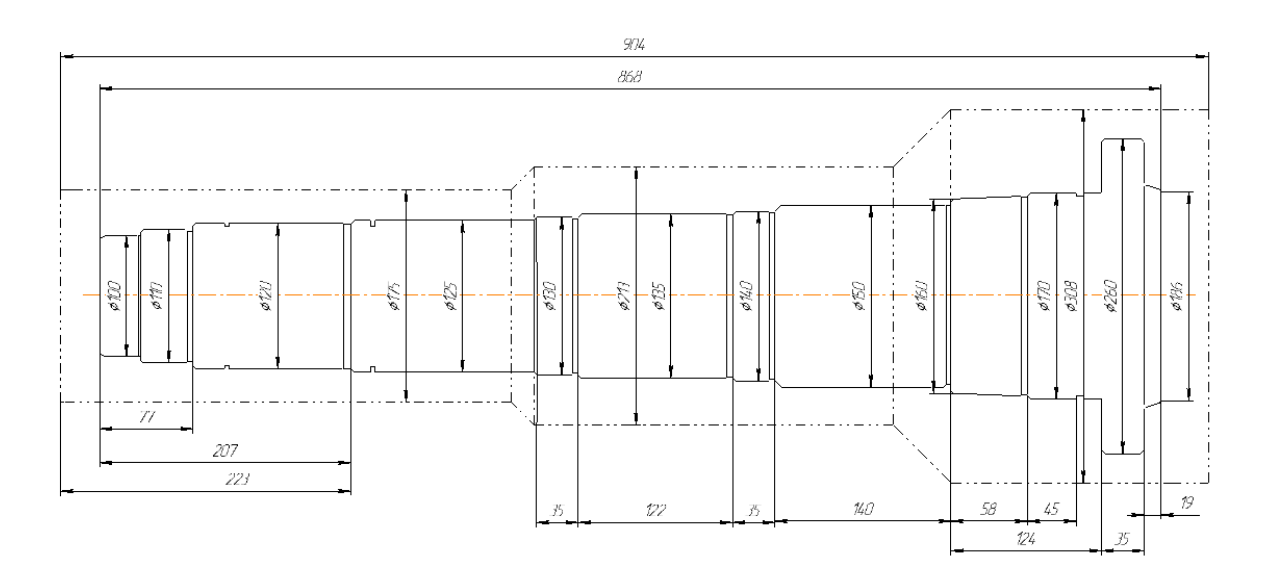


Рис. 2.2.2-Метод получения заготовки ковкой $^3$ 

#### Технико-экономический анализ

В основе анализа положим сравнение суммарной стоимости С переменные доли затрат на получение заготовки С3 и ее механическую обработку  $C_{M}$ .

$$C_i = C_{_3} + C_{_M}, py\delta \tag{2.6}$$

Переменные затраты на получение заготовки составляют:

$$C_{3} = \mathcal{U} \cdot M_{3} \cdot k_{cn} \cdot k_{cn}, py 6$$

$$(2.7)$$

<sup>&</sup>lt;sup>3</sup> Рисунок выполнен автором.

Определим стоимости исходного материала Ц для стали 40X определим что Ц= = 14 руб/кг.[4 с 24, табл.4.2]

Определим коэффициент способа получения заготовки [4с 24,табл. 4.3]

-для ковки  $k_{cn} = 2,3$ 

-для штамповкиксп = 2,5

Определим коэффициент сложности заготовки[4с 25,табл. 4.4].

 $k_{c\pi} = 1$ 

Найдем переменные доли затрат на получение заготовки  $C_3$  для ковки и штамповки.

-для ковки: 
$$C_3 = 14 \cdot 275 \cdot 2,3 \cdot 1 = 8850$$
 руб (2.8)

-для штамповки: 
$$C_3 = 14 \cdot 212 \cdot 2.5 \cdot 1 = 7420$$
 руб (2.9)

Переменные затраты на черновую обработку:

$$C_{M} = C_{y\partial} \cdot \frac{(M_{3} - M_{\partial})}{k_{o}}, py\delta$$
(2.10)

Определимудельные затраты на снятии одного килограмма стружки:

 $C_{yx} = 26$  руб/кг[4с 26,табл. 4.5].

Определим значение коэффициента обрабатываемости для данной стали:

 $k_0 = 0.8[4c\ 27,табл.\ 4.6].$ 

Определим переменные затраты на черновую обработку  $C_{\scriptscriptstyle M}$  для ковки и штамповки:

-для проката: 
$$C_M = 26 \cdot \frac{(275 - 52)}{0.8} = 7247.5 \, py \delta$$
 (2.11)

-для штамповки: 
$$C_M = 26 \cdot \frac{(215 - 52)}{0.8} = 5200 \, py \delta$$
 (2.12)

Найдем суммарную стоимость Сі для ковки и штамповки.

-для ковки 
$$C = 8850 + 7247,5 = 16097,5$$
 руб (2.13)

- для штамповки 
$$C = 7420 + 5200 = 12620$$
 руб (2.14)

Вывод:по сравнению суммарной стоимости С на получение заготовки и ее механическую обработку, определили что с точки зрения технико — экономического анализа наиболее рациональный выбор получения заготовки для среднесерийного производства является штамповка.

## 2.3 Разработка технологического маршрута и схем базирования

Главной задачей является выбор маршрута наименее трудоемкий

Определим переходы для каждой поверхности детали (см.Таблицу 2.3).

Таблица 2.3-Определение маршрута обработки для каждой поверхности.

Номер	Название	Квалитет	Шероховатость	Маршрут
поверхности	поверхности	JT		
1	Цилиндрическая	6	0,63	Т-Тч-ТО-Ш-Шч
2	Цилиндрическая	9	2,5	Т-Тч-ТО
3	Цилиндрическая	5	0,32	$T$ - $T$ <sub><math>q</math></sub> - $T$ O- $\coprod$ - $\coprod$ <sub><math>q</math></sub> - $\coprod$
4	Цилиндрическая	14	10	T-TO
5	Цилиндрическая	9	2,5	T-T <sub>4</sub> -TO
6	Цилиндрическая	7	1,25	Т-Т-ТО-Ш
7	Цилиндрическая	9	2,5	Т-Тч-ТО
8	Цилиндрическая	5	0,32	$T$ - $T$ <sub><math>q</math></sub> - $TO$ - $\coprod$ <sub><math>d</math></sub>
9	Коническая	5	0,32	$T$ - $T$ <sub><math>q</math></sub> - $TO$ - $\coprod$ <sub><math>d</math></sub>
10	Цилиндрическая	9	2,5	Т-Т-ТО
11	Цилиндрическая	14	10	T-TO
12	Коническая	7	1,25	Т-Тч-ТО-Ш
13	Плоская	14	10	Фч-ТО
14	Плоская	14	10	Фч-ТО
15	Плоская	14	10	T - TO
16	Плоская	9	2,5	Т-Тч-ТО
17	Плоская	7	1,25	Т-Т-ТО-Ш
18	Плоская	14	10	T - TO
19	Плоская	14	10	T - TO
20	Плоская	14	10	T - TO
21	Плоская	7	1,25	Т-Т-ТО-Ш
22	Плоская	7	1,25	Т-Т-ТО-Ш
23	Плоская	14	10	T - TO
24	Плоская	7	2,5	Т-Т-ТО-Ш
25	Плоская	7	2,5	Т-Т-ТО-Ш
26	Фаска	14	10	T - TO
27	Фаска	14	10	T - TO
28	Фаска	14	10	T - TO
29	Фаска	14	10	T - TO
30	Фаска	14	10	T - TO
31	Фаска	14	10	T - TO
32	Фаска	14	10	T - TO
33	Фаска	14	10	T - TO
34	Фаска	14	10	T - TO
35	Фаска	14	10	T - TO
36	Отверстие	9	6,3	C-TO

Продолжение	Продолжение таблицы 2.3.						
37	Отверстие	14	10	C-TO			
38	Отверстие	9	6,3	C-TO			
39	Отверстие	9	6,3	C-TO			
40	Отверстие	9	6,3	C-TO			
41	Отверстие	14	2,5	C-P-TO			
42	Отверстие	14	12,5	P-TO			
43	Отверстие	14	12,5	P-TO			
44	Фаска	14	12,5	T - TO			
45	Галтель	14	12,5	P-TO			
46	Галтель	14	12,5	P-TO			
47	Фаска	14	12,5	T - TO			
48	Плоская	9	6,3	Фш-ТО			
49	Плоская	14	12,5	Фш-ТО			

## 2.4. Разработка технологического маршрута

Выберем технологическое оборудование и назначим виды обработок на каждую операцию

Таблица 2.4.-Выбор оборудования и содержание операции

		1
№ операции	Оборудование	Содержание операции
000	Кривошипно-горячештампованный	Объемная штамповка
	пресс	пов:11,5,4
	Центро-подрезное	Фрезеровать торцы:13,14
010	2A932	Сверлить отверстия:51,52
		Подрезать шейку: 11(020)
020	Токарное	Подрезать торцы:15,16,17,18,
020	Б16Д25Ф3-02	Точить цилиндрические
		поверхности:1,2,3,4,5
		Подрезать
	T	торцы:20,21,22,23,24,25
030	Токарное	Точить цилиндрические
	Б16Д25Ф3-02	поверхности:6,7,8,10,11
		Точить конические
		поверхности:9,12
		Точить цилиндрические
040	Токарное	поверхности:1,2,3,5
040	Б16Д25Ф3-02	Подрезать торцы:16,17
		Точить фаски:26,27,28,30 Прорежить канарку:53,54,55
		Прорезать канавку:53,54,55
		Точить цилиндрические
		поверхности:6,7,8,10. Точить конические
	Токарное	поверхности:9,12
050	Б16Д25Ф3-02	Прорезать торцы:21,22,24,25
	Б16Д25Ф3-02	Точить фаски:30,31,32,33,38,3
		Прорезать
		канавку:56,57,58,59,60,62
	Сверлильное	Сверлить:
060	PT293205M1	Цилиндрическое отверстие:4
		Растачить:
070	Горизонтально-расточное	Цилиндрические пов.:42,43
070	262ПР1	Сверлить:36,37
		Сделать фаски: 45,46
000	Вертикально-сверлильное	Сверлить отверстия:39,40
080	2Р135Ф2	Нарезать метчиком резьбу
00	Фрезерное	
90	692Д	Фрезеровать шп.паз:38,39
100	Зенкерование	Обработать отверстие Ra2,5
110	Шахтная печь	Объемная закалка
		Шлифовать центровые
120	Центрошлифовальный	отверстия 51,52
120	Торцекруглошлиф.	Шлифовать поверхности: 1,
130	ШХ4-10Ф20	Шлифовать торцы:17
-		• • •

Продолжение таблицы 2.4

140	Торцекруглошлиф. ШХ4-10Ф20	Шлифовать цилиндрические пов.6.8,9 Шлифовать торцы:22,24,25
150	Круглошлифовальное КШ-400	Шлифовать цилиндрические пов.1,3
160	Круглошлифовальное КШ-400	Шлифовать цилиндрические пов.8,9
170	Круглошлифовальное КШ-400	Шлифовать цилиндрические пов.3
180	Круглошлифовальное КШ-400	Шлифовать цилиндрические пов.8.9
190	Моечное	Удаление частиц аббразива
200	Контрольное	Контроль размеров

## 2.5 Выбор технологических баз

Пронормируем технологические базы (см. Таблицу 2.5.1).

Таблица 2.5.1-Выбор технологических баз.

№	№	Tex.	ЯВ	скр	Есте	Искус	№ обра	Операц.
опер	точ	базы	ная	ЫТ	стве	c	бат. поверх.	размеры
аци	ки			ая	нная	твенн	1	1 1
И						ая		
10	1,3,	Д.Н	_	+	+	_	11,13,14,51,52	А,Б,В,УУ,Х,ФФ,Ф
20	2,4	Д.Н	+	-	+	_	, , , ,	2Y
	5	Ö	+	-	+	_		
	6	O						
30	1,3,	Д.Н	_	+	_	+	1,2,3,4,5,15,16,17,18,19	К,И,З,Л,М,2Д,2Г,2
	2,4	Д.Н	+	-	+	_		В,2Б,2А.
	5	Ö	+	-	+	_		, ,
	6	О						
40	1.3,	Д.Н	_	+	-	+	6,7,8,9,10,11,12,20,21,2	Н,О,П,Р,С,Т,2Е,2
	2,4	Д.Н	+	-	+	_	2,23,24,25	Ж,23,2И,2К,2Л,2
	5	Ö	+	-	+	_	, , ,	M
	6	О						
50	1,3,	Д.Н	-	+	-	+	1,2,3,5,53,54,55,30,28,1	Ф,Х,2С,2Р,2П,2О
	2,4	Д.Н	+	-	_	+	7,16	, , , , ,
	5	Ö	+	-	+	_	,	
	6	О						
60	1,3,	Д.Н	-	+	-	+	6,7,8,9,10,11,30,56,57,3	Ц,Э,Ю,Я,2Т,2У,2
	2,4	Д.Н	+	-	_	+	1,32,59,21,22,24,38,33,2	Ф,2Х,2Ц,2Ч
	5	Ö	+	-	+	_	5.39,62	, , ,
	6	О					,	
70	1.2,	Д.Н	-	+	+	-	41	2ДД
	3,4	Д.Н	+	-	+	_		, , ,
	5	O	+	-	+	-		
	6	О						
80	1,2,	Д.Н	-	+	+	-	42,45,46,43	ЖЖ,33,2ЕЕ,2ЖЖ
	3,4	Д.Н	+	-	+	-		
	5	O	+	-	+	-		
	6	О						
90	1,3,	Д.Н	-	+	-	+	39,40	2ИИ,2КК,М,Л
	2,4	Д.Н	+	-	+	-		
	5	O	+	-	+	-		
	6	O						
100	1,3,	Д.Н	-	+	-	+	38,39	KK,TT,CC
	2,4	Д.Н	+	-	-	+		
	5	О	+	-	+	-		
	6	О						
110	1,3,	Д.Н	-	+	-	+	38,39	2MM,CCC
	2,4	Д.Н	+	-	-	+		
	5	О	+	-	+	-		
	6	О						

Продолжение Таблины 2.5.1

11po <sub>2</sub>	Продолжение Таблицы 2.5.1							
130	1,3,	Д.Н	-	+	-	+	51,52	
	2,4	Д.Н	+	-	-	+		
	5	О	+	-	+	-		
	6	O						
140	1,3,	Д.Н	-	+	-	+	1,3,17	АА,2Ш,2Щ
	2,4	Д.Н	+	-	-	+		
	5	О	+	-	+	-		
	6	О						
150	1,3,	Д.Н	-	+	-	+	6,8,9,22,24,25	ГГ,ДД,ЕЕ,2Э,2Ю,
	2,4	Д.Н	+	-	-	+		2Я
	5	O	+	-	+	_		
	6	O						
160	1,3,	Д.Н	-	+	-	+	1.3	2ББ,2АА
	2,4	О	+	_	-	+		
	5	O	+	-	+	_		
	6							
170	1,3,	Д.Н	-	+	-	+	8,9	2ВВ,2ГГ
	2,4	O	+	-	-	+		
	5	O	+	-	+	_		
	6							
180	1,3,	Д.Н	-	+	-	+	3	2ДД
	2,4	O	+	_	-	+		
	5	О	+	_	+	_		
	6							
190	1,3,	Д.Н	-	+	-	+	8,9	2ЭЭ,2ЯЯ
	2,4	O	+	_	_	+		
	5	О	+	_	+	_		
	6							

## 2.6. Выбор средств технологического оснащения

## 2.6.1 Выбор оборудования

Выберем технологическое оборудование с соответсвующими характеристиками(см. Таблицу 2.6.1).

Таблица 2.6.1-Выбор технологического оборудования.

Номе	Станок	Мощност	Частота	Габариты станка,	Macca,
p		Ь	вращения	MM	T
опера		привода,	шпинделя		
ций		кВт	об/мин		
010	Центро-подрезной 2A932	5,50	180-1600	2900-1200-1650	3,8
020-	Токарно-винтор.	11	8-2265	2880-1350-1605	3,48
050	Б16Д25Ф3-02				
060	Сверл-расточной. РТ293205M1	30	100-630	34300-2500-2020	35
070	Горизонт- расточ. 262ПР1	10	7,5-1200	7600-4200-3700	23
080	Вертикальн-сверл. 2Р135Ф2	3,7	45-2000	1800-2170-2700	5,39
90	Шпоночно-фрезер. 692Д	2,2	400-4000	1510-1900-2210	2,25
100	Горизонт-расточн. 2A622Ф4	25	6-2500	4130-6335-3980	20,5
120	Центрошлифовальный RFMV 105	11	140-740	2800-2380-2435	6,5
130-	Торцекруглошлиф	22	1050	4250-3240-2280	7,8
140	ШХ4-10Ф20				
150-	Круглошлифовал.	0,75	50-750	2335-2080-1870	2
160	КШ-400				
170- 180	Круглошлифовал. КШ-400	0,75	50-750	2335-2080-1870	2

## 2.6.2 Выбор инструмента

Выберем режущий инструмент(см. Таблицу 2.6.2).

Таблица 2.6.2-Выбор режущего инструмента.

№операции	Материал	Режущий инструмент
010		Режущие пластины и центровочные сверла специализирова
020	T5K10	Проходной упорный резец с пластинами из твердого сплава с углом в плане 90 ГОСТ 18879-73
030	T5K10	Проходной упорный резец с пластинами из твердого сплава с углом в плане 90 ГОСТ 18879-73
040	T14K8	Токарный проходной упорный отогнутый в лево резец с углом в плане 90 с пластинами из твердого сплава ГОСТ 18879-73.
	T14K8	Токарные резьбовые резцы с пластинами из твердого сплава ГОСТ 18885-73.
	T14K8	Токарный подрезной отогнутый с пластинами из твердого сплава ГОСТ 18880-73.
	Т14К8	Резец вставка канавочный специальный.
050	T30K4	Токарный проходной упорный отогнутый в лево резец с углом в плане 90 с пластинами из твердого сплава ГОСТ 18879-73.
	T15K6	Токарные резьбовые резцы с пластинами из твердого сплава ГОСТ 18885-73.
	T14K8	Токарный подрезной отогнутый с пластинами из твердого сплава ГОСТ 18880-73.
	Т14К8	Резец вставка канавочный специальный.
060	BK8	Шнековое сверло для глубоких сверлений d=80 ГОСТ 19548-88
070	T5K10	Токарные расточные резцы с углом в плане 60 с пластинами из твердого сплава ГОСТ 18882-73
080	P6M5	Сверло ступенчатое спиральное с коническим хвостовиком d=16 ГОСТ 2092-77
		Сверло ступенчатое спиральное с коническим хвостовиком d=12
90	T15K6	Шпоночные цельные твердосплавные фрезы ГОСТ 16463-80
	P18	Метчик М16,М12 ГОСТ 3266-81
100	Т5К6	Зенкер оснащенны1 пластинами из твердого сплава ГОСТ 11176-71
120		Шлифовальный центр специалтзированный.
130-140		Круг шлифовальный прямого профиля 260х16х32 ГОСТ 17123-79
150-160		Круг шлифовальный 260x20x32 ГОСТ 17123-79
170-180		A8260x20x32 ΓΟCT 16168-80

## 2.6.3. Выбор приспособления

Выберем приспособление (см. Таблицу 2.6.3)

Таблица 2.6.3-Выбор приспособления.

№ операции	Приспособление					
010	Опорные призмы ГОСТ 12195-66					
020	Паводковый патрон ГОСТ 8742-75, упорный центр ГОСТ 18259-72					
030	Паводковый патрон ГОСТ 8742-75, упорный центр ГОСТ 18259-72					
040	Патрон поводковый кулачковый и упорный центр ГОСТ 18259-72					
050	Патрон поводковый кулачковый и упорный центр ГОСТ 18259-72					
060	Опорные призмы ГОСТ 12195-66					
070	Опорные призмы ГОСТ 12195-66					
080	Приспособление специальное					
090	Фрезерные тиски ГОСТ 16897-71					
100	Опорные призмы ГОСТ 12195-66					
120-180	Опорные призмы ГОСТ 12195-66					

#### 2.7. Расчет припусков на механическую обработку

#### 2.7.1. Расчет припусков на самую точную поверхность

Проведем расчеты припусков и диаметров на точную поверхность 3 и занесем все данные в таблицу (см. Таблица 2.7.1)

Таблица 2.7.1-Расчетно-аналитический метод определения припусков

№	переходы	Квалитет	Допуски	Составляющие			Предельные		Предельные	
				припуска			размеры		припуски	
				a	Δ	$\mathcal{E}$	$D_{min}$	$D_{max}$	$Z_{min}$	Zmax
0	штамповка	14	2,5	0,2	0,25	0	121,56	124,06	-	-
1	Точение черновое	12	0,35	0,1	0,08	0	120,66	121,01	0,45	1,875
2	Точение чистовое	9	0,087	0,035	0,02	0	120,30	120,39	0,18	0,399
-	TO	10	0,193	0,041	0,04	0	-	-	-	-
3	Шлифование черновое	8	0,054	0,03	0,013	0	120,141	120,19	0,081	0,151
4	Шлифование чистовое	6	0,022	0,015	0,005	0	120,055	120,07	0,043	0,081
5	Суперфиниш.	5	0,015	0,003	0,004	0	120,015	120,03	0,02	0,038

Определим минимальный припуск:

$$Z_{\min}^{i} = a^{i-1} + \sqrt{(\Delta^{2})^{i-1} + (\varepsilon^{2})^{i-1}}$$

$$Z_{\min}^{1} = 0,2 + \sqrt{(0,25)^{2} + 0} = 0,45$$

$$Z_{\min}^{2} = 0,1 + \sqrt{(0,08)^{2} + 0} = 0,18$$

$$Z_{\min}^{3} = 0,041 + \sqrt{(0,04)^{2} + 0} = 0,081$$

$$Z_{\min}^{4} = 0,03 + \sqrt{(0,013)^{2} + (0)^{2}} = 0,043$$

$$Z_{\min}^{5} = 0,015 + \sqrt{(0,005)^{2} + (0)^{2}} = 0,02$$

Определим минимальный диаметр:

$$D_{\min p}^{i-1} = D_{\min p}^{i} + 2Z_{\min p}^{i}$$
(2.7.2)

$$D_{\min p}^4 = 120,015 + 2 \cdot 0,02 = 120,055$$

$$D_{\min p}^3 = 120,055 + 2 \cdot 0,043 = 120,141$$

$$D_{\min p}^2 = 120,141 + 2 \cdot 0,081 = 120,30$$

$$D_{\min p}^1 = 120,30 + 2.0,18 = 120,66$$

$$D_{\min p}^0 = 120,66 + 2 \cdot 0,45 = 121,56$$

#### Определим максимальный диаметр:

$$D_{\max}^i = D_{\min}^i + JT \tag{2.7.3}$$

$$D_{\text{max}}^0 = 121,56 + 2,5 = 124,06$$

$$D_{\text{max}}^1 = 120,66 + 0,35 = 121,01$$

$$D_{\text{max}}^2 = 120,30 + 0,087 = 120,39$$

$$D_{\text{max}}^3 = 120,141 + 0,054 = 120,195$$

$$D_{\text{max}}^4 = 120,055 + 0,022 = 120,077$$

$$D_{\text{max}}^5 = 120,015 + 0,015 = 120,03$$

## Определим максиамальный припуск:

$$Z_{\text{max}}^{i} = Z_{\text{min}}^{i} + 0.5(JT + JT^{i-1})$$
 (2.7.4)

$$Z_{\text{max}}^1 = 0,45 + 0,5(0,35 + 2,5) = 1,875$$

$$Z_{\text{max}}^2 = 0.18 + 0.5(0.087 + 0.35) = 0.399$$

$$Z_{\text{max}}^3 = 0.081 + 0.5(0.087 + 0.054) = 0.151$$

$$Z_{\text{max}}^4 = 0.043 + 0.5(0.054 + 0.022) = 0.081$$

$$Z_{\text{max}}^5 = 0.02 + 0.5(0.022 + 0.015) = 0.038$$

Ссылаясь на таблицу 2.7.1, схематично покажем расположение припусков, диаметров, допусковна точную поверхность. (см.Рисунок 6.1).

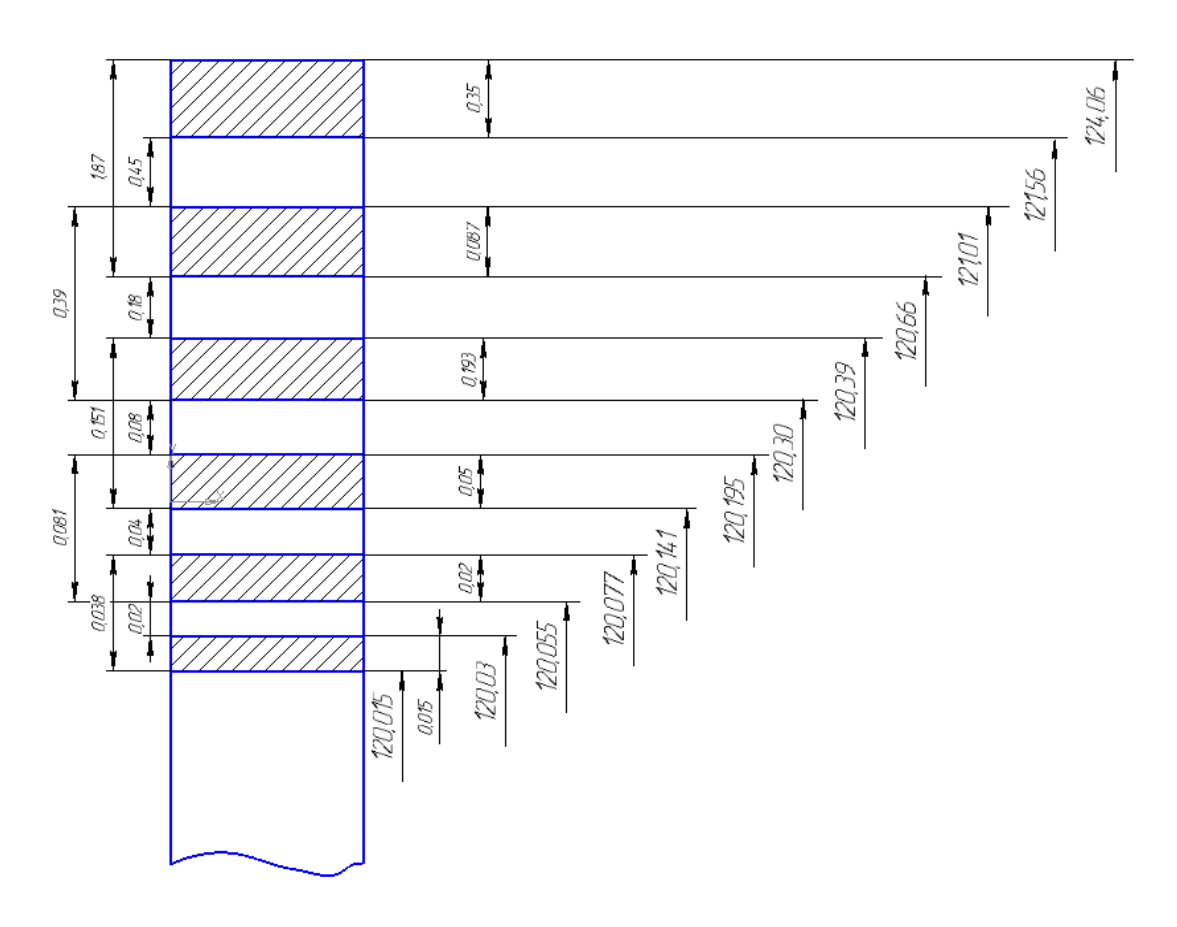


Рис.2.7.1-Схема расположения припусков<sup>4</sup>.

-

<sup>&</sup>lt;sup>4</sup> Рисунок выполнен автором.

- 2.8 Размерный анализ в осевом и радиальном направлении
- 2.8.1Размерная цепь для осевых размеров:

Для ценровально-подрезной:

$$[z_{13}^{10}] = -BB^{10} - 3_{14}^{10} + B^{00}$$

Для токарно черновой(1 уст.)

$$[z_{19}^{20}] = -K^{20} - B^{10} + B^{10}$$

$$[A] = -K^{20} + B^{10}$$

$$\left[ \mathcal{B} \right] = -\mathcal{U}^{20} + \mathcal{B}^{10}$$

$$[B] = -M^{20} + B^{10}$$

Для токарно черновой (2 уст.)

$$\left[\Gamma^{30}\right] = -H^{30} + B^{10}$$

$$[\mathcal{J}^{30}] = -P^{30} + B^{10}$$

$$\left[z_{23}^{30}\right] = -P^{30} - A^{10} + B^{10}$$

Для токарно чистовой (1 уст.)

$$[z_{17}^{40}] = -\Phi^{40} - \Phi\Phi^{10} + 3^{20}$$

$$\left[z_{16}^{40}\right] = -X^{40} - \Phi\Phi^{10} + \mathcal{I}^{20}$$

$$[E] = -X^{40} - \Phi \Phi^{10} + B^{10}$$

Для токарно чистовой (2 уст)

$$\left[ z_{25}^{50} \right] = -\mathcal{A}^{50} - \mathcal{Y} \mathcal{Y}^{10} + T^{30}$$

$$\left[ z_{24}^{50} \right] = -IO^{50} - YY^{10} + C^{30}$$

$$[z_{22}^{50}] = -3^{50} - yy^{10} + \Pi^{30}$$

$$\left[ z_{21}^{50} \right] = - \mathcal{U}^{50} - \mathcal{Y} \mathcal{Y}^{10} + O^{30}$$

$$[\mathcal{K}] = -\mathcal{U}^{50} - \mathcal{Y}\mathcal{Y}^{10} + B^{10}$$

#### Для шлифовально черновой (1 уст)

$$[3] = -AA^{130} - XX^{120} + B^{10}$$

$$\left[z_{17}^{130}\right] = -AA^{130} - XX^{120} + \Phi\Phi^{10} + \Phi^{40}$$

### Для шлифовано черновой (2 уст)

$$\left[ z_{25}^{140} \right] = -EE^{140} + YY^{10} - III^{120} + \mathcal{A}^{50}$$

$$\left[ z_{24}^{140} \right] = - \cancel{\Pi} \cancel{\Pi}^{140} - \cancel{\Pi} \cancel{\Pi}^{120} + \cancel{Y} \cancel{Y}^{10} + \cancel{H} O^{50}$$

$$\left[ z_{22}^{140} \right] = -\Gamma \Gamma^{140} - \mathcal{L} \mathcal{L} \mathcal{L}^{120} + \mathcal{Y} \mathcal{Y}^{10} + \mathcal{Y}^{50}$$

$$[H] = -\Gamma \Gamma^{140} - I I I I^{120} + B^{10}$$

$$[K] = -\mathcal{I}\mathcal{I}^{140} - \mathcal{I}\mathcal{I}^{120} + B^{10}$$

$$[\mathcal{I}] = -EE^{140} - \mathcal{I}\mathcal{I}\mathcal{I}^{120} + B^{10}$$

## 2.8.2 Решим уравнения размерных цепей в осевомнаправлении.

$$[A] = -K^{20} + B^{10}$$

$$\omega[A] = 3\sqrt{\frac{1}{6}(0.25)^2 + \frac{1}{6}(0.30)^2} = 0.47$$

$$TA_{uepm} = 1.82$$

$$TA_{uepm} \ge \omega[A]$$

$$[B] = -U^{20} + B^{10}$$

$$\omega[B] = 3\sqrt{\frac{1}{6}(0.30)^2 + \frac{1}{6}(0.25)^2} = 0.47$$

$$TE_{uepm} = 1,74$$

$$TE_{uepm} \ge \omega[E]$$

Условие выполняется, в этом случае корректировка не требуется.

$$[B] = -M^{20} + B^{10}$$

$$\omega[B] = 3\sqrt{\frac{1}{6}(0.30)^2 + \frac{1}{6}(0.25)^2} = 0.47$$

$$TB_{uepm} = 0,62$$

$$TB_{uepm} \ge \omega[E]$$

$$[\Gamma^{30}] = -H^{30} + B^{10}$$

$$\omega[\Gamma] = 3\sqrt{\frac{1}{6}(0.30)^2 + \frac{1}{6}(0.25)^2} = 0.47$$

$$T\Gamma_{uepm} = 0.87$$

$$T\Gamma_{\text{\tiny uepm}} \ge \omega[\Gamma]$$

$$[\mathcal{I}^{30}] = -P^{30} + B^{10}$$

$$\omega[\mathcal{I}] = 3\sqrt{\frac{1}{6}(0,30)^2 + \frac{1}{6}(0,3)^2} = 0,52$$

$$T\mathcal{I}_{uepm} = 0,62$$

 $T\mathcal{A}_{uepm} \geq \omega[\mathcal{A}]$ 

Условие выполняется, в этом случае корректировка не требуется.

$$\begin{split} & [E] = -X^{40} - \mathcal{D}\mathcal{D}^{10} + B^{10} \\ & \omega[E] = 3\sqrt{\frac{1}{6}(0.17)^2 + \frac{1}{6}(0.2)^2 + \frac{1}{6}(0.3)^2} = 0.54 \\ & TE_{uepm} = 0.68 \\ & TE_{uepm} \ge \omega[H] \end{split}$$

$$[\mathcal{K}] = -\mathcal{U}^{50} - \mathcal{Y}\mathcal{Y}^{10} + B^{10}$$

$$\omega[\mathcal{K}] = 3\sqrt{\frac{1}{6}(0.17)^2 + \frac{1}{6}(0.2)^2 + \frac{1}{6}(0.3)^2} = 0.54$$

$$T\mathcal{K}_{uepm} = 0.71$$

$$T\mathcal{K}_{uepm} \ge \omega[\mathcal{K}]$$

$$[3] = -AA^{130} + XX^{120} + B^{10}$$

$$\omega[3] = 3\sqrt{\frac{1}{6}(0.097)^2 + \frac{1}{6}(0.30)^2} = 0.38$$

$$T3_{_{yepm}} = 0.52$$

$$T3_{yenm} \ge \omega[3]$$

Условие выполняется, в этом случае корректировка не требуется.

$$[\mathcal{U}] = -\Gamma\Gamma^{140} - \mathcal{U}\mathcal{U}^{120} - B^{10}$$

$$\omega[H] = 3\sqrt{\frac{1}{6}(0.097)^2 + \frac{1}{6}(0.30)^2} = 0.38$$

$$TU_{uepm} = 0.52$$

$$TU_{uepm} \ge \omega[U]$$

Условие выполняется, в этом случае корректировка не требуется.

$$[K] = -\mathcal{I}\mathcal{I}^{140} - \mathcal{I}\mathcal{I}^{120} + B^{10}$$

$$\omega[K] = 3\sqrt{\frac{1}{6}(0.097)^2 + \frac{1}{6}(0.30)^2} = 0.38$$

$$TK_{uepm} = 0.52$$

$$TK_{yepm} \ge \omega[K]$$

$$[\mathcal{I}] = -EE^{130} - B^{10}$$

$$\omega[\Pi] = 3\sqrt{\frac{1}{6}(0.097)^2 + \frac{1}{6}(0.30)^2} = 0.38$$

$$TII_{uepm} = 0,52$$

$$T\mathcal{I}_{uepm} \ge \omega[\mathcal{I}]$$

$$\left[z_{17}^{40}\right] = -\Phi^{40} - \Phi\Phi^{10} + 3^{20}$$

$$\omega\left[z_{17}^{40}\right] = 3\sqrt{\frac{1}{9}(0.17)^2 + \frac{1}{6}(0.2)^2 + \frac{1}{6}(0.25)^2} = 0.42$$

$$\left[z_{16}^{40}\right] = -X^{40} - \Phi\Phi^{10} + \Pi^{20}$$

$$\omega\left[z_{16}^{40}\right] = 3\sqrt{\frac{1}{9}(0.17)^2 + \frac{1}{6}(0.2)^2 + \frac{1}{6}(0.26)^2} = 0.43$$

$$\left[z_{25}^{50}\right] = -\mathcal{A}^{50} - \mathcal{Y}\mathcal{Y}^{10} + T^{30}$$

$$\omega \left[z_{25}^{50}\right] = 3\sqrt{\frac{1}{6}(0,20)^2 + \frac{1}{6}(0,2)^2 + \frac{1}{6}(0,34)^2} = 0,53$$

$$\left[z_{24}^{50}\right] = -IO^{50} - YY^{10} + C^{30}$$

$$\omega \left[z_{24}^{50}\right] = 3\sqrt{\frac{1}{6}(0.17)^2 + \frac{1}{6}(0.2)^2 + \frac{1}{6}(0.33)^2} = 0.51$$

$$\left[z_{22}^{50}\right] = -3^{50} - yy^{10} + \Pi^{30}$$

$$\omega \left[ z_{22}^{50} \right] = 3\sqrt{\frac{1}{6} (0,25)^2 + \frac{1}{6} (0,2)^2 + \frac{1}{6} (0,31)^2} = 0,52$$

$$[z_{21}^{50}] = -\mathcal{U}^{50} - \mathcal{Y}\mathcal{Y}^{10} + O^{30}$$

$$\omega\left[z_{21}^{50}\right] = 3\sqrt{\frac{1}{6}(0.17)^2 + \frac{1}{6}(0.2)^2 + \frac{1}{6}(0.3)^2} = 0.51$$

$$\left[ z_{17}^{130} \right] = -AA^{130} - XX^{120} - \Phi\Phi^{10} + \Phi^{40}$$

$$\omega \left[ z_{17}^{130} \right] = 3\sqrt{\frac{1}{6} (0.097)^2 + \frac{1}{6} (0.2)^2 + \frac{1}{6} (0.17)^2} = 0.31$$

$$\left[z_{25}^{140}\right] = -EE^{140} - \mathcal{U}\mathcal{U}^{120} + \mathcal{Y}\mathcal{Y}^{10} + \mathcal{H}^{50}$$

$$\omega \left[z_{25}^{140}\right] = 3\sqrt{\frac{1}{6}(0.097)^2 + \frac{1}{6}(0.2)^2 + \frac{1}{6}(0.20)^2} = 0.32$$

$$\left[z_{24}^{140}\right] = -\mathcal{I}\mathcal{I}^{140} - \mathcal{I}\mathcal{I}^{120} + \mathcal{Y}\mathcal{Y}^{10} + \mathcal{W}^{50}$$

$$\omega \left[ z_{24}^{140} \right] = 3\sqrt{\frac{1}{6} (0.097)^2 + \frac{1}{6} (0.2)^2 + \frac{1}{6} (0.20)^2} = 0.32$$

$$\left[ z_{22}^{140} \right] = -\Gamma \Gamma^{140} - \mathcal{L} \mathcal{L} \mathcal{L}^{120} + \mathcal{Y} \mathcal{Y}^{10} + \mathcal{Y}^{50}$$

$$\omega \left[ z_{22}^{140} \right] = 3\sqrt{\frac{1}{6} (0.097)^2 + \frac{1}{6} (0.2)^2 + \frac{1}{6} (0.17)^2} = 0.31$$

2.8.3Расчет припусков в осевом направлении.

1)Минимальный припуск при обработке торцев.

$$Z_{\min}^{i} = Rz^{i-1} + h^{i-1} + \Delta_{\Sigma}^{i-1}$$
 (2.8.1)

- 2) Рассчитать колебания операционных припусков  $\mathit{\omega}[\mathit{z}^{i}]$
- 3)Найти значение максимальных припусков.

$$z_{\text{max}}^i = z_{\text{min}}^i + \omega [z^i]$$
 (2.8.2)

4)Определить величины средних операционных припусков

$$z_{cp}^{i} = z_{\min}^{i} + \frac{\omega[z^{i}]}{2}$$
 (2.8.3)

#### Рассчитаем припуск для поверхности 25 на операции 130

$$Z_{\min}^{130} = Rz^{50} + \Delta_{\Sigma}^{50} = 0,025 + 0,053 = 0,078$$

$$z_{\text{max}}^{130} = z_{\text{min}}^{130} + \omega [z^{110}] = 0,078 + 0,32 = 0,40$$

$$z_{cp}^{110} = z_{min}^{110} + \frac{\omega[z^{110}]}{2} = 0.078 + \frac{0.32}{2} = 0.238$$

Рассчитаем припуск для поверхности 24 на операции 130

$$Z_{\min}^{130} = Rz^{40} + \Delta_{\Sigma}^{40} = 0,025 + 0,051 = 0,076$$

$$z_{\text{max}}^{130} = z_{\text{min}}^{130} + \omega [z^{130}] = 0,076 + 0,32 = 0,396$$

$$z_{cp}^{130} = z_{min}^{130} + \frac{\omega[z^{130}]}{2} = 0.076 + \frac{0.32}{2} = 0.236$$

Рассчитаем припуск для поверхности 22 на операции 130

$$Z_{\min}^{130} = Rz^{50} + \Delta_{\Sigma}^{50} = 0.025 + 0.046 = 0.071$$

$$z_{\text{max}}^{130} = z_{\text{min}}^{130} + \omega [z^{130}] = 0,071 + 0,31 = 0,381$$

$$z_{cp}^{130} = z_{min}^{130} + \frac{\omega[z^{130}]}{2} = 0.071 + \frac{0.31}{2} = 0.226$$

Рассчитаем припуск для поверхности 17 на операции 120

$$Z_{\min}^{120} = Rz^{40} + \Delta_{\Sigma}^{40} = 0,025 + 0,031 = 0,056$$

$$z_{\text{max}}^{120} = z_{\text{min}}^{120} + \omega [z^{120}] = 0,056 + 0,31 = 0,366$$

$$z_{cp}^{120} = z_{min}^{120} + \frac{\omega[z^{120}]}{2} = 0,056 + \frac{0,31}{2} = 0,211$$

Рассчитаем припуск для поверхности 25 на операции 50

$$Z_{\min}^{50} = Rz^{30} + h^{30} + \Delta_{\Sigma}^{30} = 0,11 + 0,1 + 0,330 = 0,54$$

$$z_{\text{max}}^{50} = z_{\text{min}}^{50} + \omega [z^{50}] = 0,54 + 0,53 = 1,07$$

$$z_{cp}^{50} = z_{min}^{50} + \frac{\omega[z^{50}]}{2} = 0.54 + \frac{0.53}{2} = 0.805$$

Рассчитаем припуск для поверхности 21 на операции 50

$$Z_{\min}^{50} = Rz^{30} + h^{30} + \Delta_{\Sigma}^{30} = 0.1 + 0.1 + 0.187 = 0.387$$

$$z_{\text{max}}^{50} = z_{\text{min}}^{50} + \omega [z^{50}] = 0,387 + 0,51 = 0,897$$

$$z_{cp}^{50} = z_{min}^{50} + \frac{\omega[z^{50}]}{2} = 0.348 + \frac{0.42}{2} = 0.558$$

Рассчитаем припуск для поверхности 22 на операции 50

$$Z_{\text{min}}^{50} = Rz^{30} + h^{30} + \Delta_{\text{x}}^{30} = 0.1 + 0.1 + 0.203 = 0.403$$

$$z_{\text{max}}^{50} = z_{\text{min}}^{50} + \omega [z^{50}] = 0,403 + 0,52 = 0,923$$

$$z_{cp}^{50} = z_{min}^{50} + \frac{\omega[z^{50}]}{2} = 0,403 + \frac{0,52}{2} = 0,663$$

Рассчитаем припуск для поверхности 24 на 50 операции.

$$Z_{\min}^{50} = Rz^{30} + h^{30} + \Delta_{\Sigma}^{30} = 0.1 + 0.1 + 0.325 = 0.525$$

$$z_{\text{max}}^{50} = z_{\text{min}}^{50} + \omega [z^{50}] = 0,525 + 0,51 = 1,035$$

$$z_{cp}^{50} = z_{min}^{50} + \frac{\omega[z^{50}]}{2} = 0.525 + \frac{0.51}{2} = 0.78$$

Рассчитаем припуск для поверхности 17 на 40 операции

$$Z_{\min}^{40} = Rz^{20} + h^{20} + \Delta_{\Sigma}^{20} = 0,1 + 0,1 + 0,148 = 0,348$$

$$z_{\text{max}}^{40} = z_{\text{min}}^{40} + \omega [z^{40}] = 0.348 + 0.42 = 0.768$$

$$z_{cp}^{40} = z_{min}^{40} + \frac{\omega[z^{40}]}{2} = 0.348 + \frac{0.42}{2} = 0.558$$

Рассчитаем припуск для поверхности 16 на 40 операции

$$Z_{\min}^{40} = Rz^{20} + h^{20} + \Delta_{\Sigma}^{20} = 0,1 + 0,1 + 0,137 = 0,337$$

$$z_{\max}^{40} = z_{\min}^{40} + \omega \left[z^{40}\right] = 0,337 + 0,43 = 0,767$$

$$z_{cp}^{40} = z_{\min}^{40} + \frac{\omega \left[z^{40}\right]}{2} = 0,337 + \frac{0,43}{2} = 0,552$$

Все рассчитаные припуски занесем в таблицу. (см. Таблица 6.2.1)

Таблица 2.8.1-Припуски на каждую поверхность в осевом направлении

№ операции	№ пов.	Припуск на сторону				
		Zmin	$\omega[z]$	Zmax	Zcp	
010	13					
040	17	0,348	0,42	0,768	0,558	
040	16	0,337	0,43	0,767	0,552	
050	24	0,525	0,51	1,035	0,78	
050	22	0,403	0,52	0,923	0,663	
050	21	0,387	0,42	0,897	0,558	
050	25	0,54	0,54	1,07	0,805	
120	17	0,056	0,31	0,366	0,211	
130	22	0,071	0,31	0,381	0,226	
130	24	0,076	0,32	0,396	0,236	
130	25	0,078	0,32	0,40	0,238	

# 2.8.4 Расчет операционных размеров с помощью уравнений операционных размерных цепей

1) По чертежу определить среднее значение замыкающего звена.

$$[A_{\Delta}] = A_{\Delta Y \min} + 0.5 \cdot IT(A_{\Delta Y})$$
(2.8.4)

2)Определить средние значения известных составляющих звеньев размерной цепи.

$$A_{icp} = A_{i \min} + 0.5IT(A_i)$$
 (2.8.5)

При расчете с использованием уравнений замыкающих звеньев-припусков.

1) Определить среднее значение припуска.

$$z_{cp}^{i} = z_{\min}^{i} + \frac{\omega[z^{i}]}{2}$$
 (2.8.6)

- 2)Определить средние значение известных составляющих звеньев размерной цепи.
- 3) Определить среднее значение искомого звена:

$$A_{Hcp} = \sum_{i=1}^{m-1} \xi_i A_{icp} - z_{cp}$$
 (2.8.7)

Операция 020:

$$[A] = -K^{20} + B^{10}$$

$$K^{20} = B - \lceil A \rceil$$

$$K^{20} = 868 - 394 = 474$$

$$K^{20} = 474 \pm 0,13$$

$$[B] = -M^{20} + B^{10}$$

$$M^{20} = B - [B]$$

$$U^{20} = 868 - 358 = 510$$

$$M^{20} = 510 \pm 0.13$$

$$[B] = -M^{20} + B^{10}$$

$$M^{20} = B^{10} - [B]$$

$$M^{20} = 868 - 34 = 834$$

$$M^{20} = 834 \pm 0.13$$

## Операция 030

$$\left[ \Gamma^{30} \right] = -H^{30} + B^{10}$$

$$H^{30} = B^{10} - \left[\Gamma\right]$$

$$H^{30} = 868 - 350 = 518$$

$$H^{30} = 518 \pm 0.13$$

$$[\mathcal{I}^{30}] = -P^{30} + B^{10}$$

$$P^{30} = B^{10} - [\mathcal{I}]$$

$$P^{30} = 868 - 115 = 753$$

$$P^{30} = 754 \pm 0.15$$

## Операция 40

$$\left[ z_{17}^{40} \right] = - \Phi^{40} - \Phi \Phi^{10} + 3^{20}$$

$$3^{20} = \left[z_{17}^{40}\right] + \Phi^{40} + \Phi\Phi^{10}$$

$$3^{20} = 0,558 + 5 + 696 = 701,5$$

$$3^{20} = 701 \pm 0,\!13$$

$$\left[ z_{16}^{40} \right] = -X^{40} - \boldsymbol{\Phi} \boldsymbol{\Phi}^{10} + \mathcal{J}^{20}$$

$$\Pi^{20} = \left[z_{16}^{40}\right] + X^{40} + \Phi\Phi^{10}$$

$$\mathcal{J}^{20} = 0,552 + 5 + 781 = 786$$

$$3^{20} = 786 \pm 0,13$$

$$[E] = -X^{40} - \Phi \Phi^{10} + B^{10} - VV^{10}$$

$$X^{40} = B^{10} - [E] - \Phi \Phi^{10} - YY^{10}$$

$$X^{40} = 868 - 77 - 5 - 5 = 781$$

$$X^{40} = 781 \pm 0.08$$

#### Операция 50

$$\left[ z_{25}^{50} \right] = -\mathcal{A}^{50} - \mathcal{Y} \mathcal{Y}^{10} + T^{30}$$

$$T^{30} = \left[z_{25}^{50}\right] + \mathcal{A}^{50} + \mathcal{Y}\mathcal{Y}^{10}$$

$$T^{30} = 0.805 + 5 + 859 = 864$$

$$T^{30} = 864 \pm 0.08$$

$$\left[z_{24}^{50}\right] = -IO^{50} - YY^{10} + C^{30}$$

$$C^{30} = \left[z_{24}^{50}\right] + IO^{50} + VV^{10}$$

$$C^{30} = 0.78 + 5 + 824 = 830$$

$$C^{30} = 830 \pm 0.16$$

$$\left[ z_{22}^{50} \right] = -9^{50} - yy^{10} + \Pi^{30}$$

$$\Pi^{30} = \left[z_{22}^{50}\right] + \mathcal{Y} \mathcal{Y}^{10}$$

$$\Pi^{30} = 0,663 + 5 + 696 = 702$$

$$\Pi^{30} = 702 \pm 0,16$$

$$\left[ z_{21}^{50} \right] = - \mathcal{U}^{50} - \mathcal{Y} \mathcal{Y}^{10} + O^{30}$$

$$O^{30} = \left[z_{21}^{50}\right] + II^{50} + VV^{10}$$

$$O^{30} = 0,558 + 5 + 540 = 545$$

$$O^{30} = 545 \pm 0,16$$

$$[\mathcal{K}] = -\mathcal{U}^{50} - \mathcal{Y}\mathcal{Y}^{10} + B^{10} - \Phi\Phi^{10}$$

$$U^{50} = B^{10} - [\mathcal{K}] - \Phi \Phi^{10} - VV^{10}$$

$$U^{50} = 868 - 318 - 5 - 5 = 540$$

$$LI^{50} = 540 \pm 0.08$$

# Операция 120

$$[3] = -AA^{120} + B^{10}$$

$$AA^{120} = B^{10} - [3]$$

$$AA^{120} = 868 - 206 = 662$$

$$AA^{120} = 691 \pm 0.05$$

$$\left[ z_{17}^{120} \right] = -AA^{120} - \Phi \Phi^{10} + \Phi^{40}$$

$$\boldsymbol{\Phi}^{40} = \left[ z_{17}^{120} \right] + AA^{120} + \boldsymbol{\Phi} \boldsymbol{\Phi}^{10}$$

$$\Phi^{40} = 0.211 + 691 + 5 = 696.2$$

$$\Phi^{40} = 691 \pm 0.05$$

## Операция 130

$$\left[ z_{25}^{130} \right] = -EE^{130} - YY^{10} + \mathcal{A}^{30}$$

$$\mathcal{A}^{50} = \left[z_{25}^{130}\right] + EE^{130} + YY^{130}$$

$$\mathcal{A}^{50} = 0.238 + 854 + 5 = 859$$

$$\mathcal{A}^{50} = 859 \pm 0,10$$

$$\left[ z_{24}^{130} \right] = - \mathbf{I} \mathbf{I} \mathbf{I}^{130} - \mathbf{Y} \mathbf{Y}^{10} + \mathbf{IO}^{50}$$

$$HO^{50} = \left[z_{24}^{130}\right] + AA^{130} + YY^{130}$$

$$IO^{50} = 0.236 + 819 + 5 = 824$$

$$10^{50} = 824 \pm 0.08$$

$$\left[ z_{22}^{130} \right] = - \Gamma \Gamma^{130} - \mathcal{Y} \mathcal{Y}^{10} + \mathcal{I}^{50}$$

$$\mathcal{F}^{50} = \left[z_{22}^{130}\right] + \Gamma \Gamma^{130} + y y^{130}$$

$$3^{50} = 0.226 + 691 + 5 = 696$$

$$9^{50} = 696 \pm 0.08$$

$$[H] = -\Gamma \Gamma^{130} - B^{10}$$

$$\Gamma\Gamma^{130} = B^{10} - [U]$$

$$\Gamma\Gamma^{130} = 868 - 177 = 691$$

$$\Gamma\Gamma^{130} = 691 \pm 0.05$$

$$[K] = - \mathcal{A} \mathcal{A}^{130} - B^{10}$$

$$A \!\!\!/ A^{130} = B^{10} - [K]$$

$$\mathcal{I}\mathcal{I}\mathcal{I}^{130} = 868 - 49 = 819$$

$$\mathcal{A}\mathcal{A}^{130} = 819 \pm 0.05$$

$$[\Pi] = -EE^{130} - B^{10}$$

$$EE^{130} = B^{10} - [\mathcal{I}]$$

$$EE^{130} = 868 - 14 = 854$$

$$EE^{130} = 854 \pm 0.05$$

2.8.5 Расчет размерного анализа в радиальном направлении Центро-подрезная:

$$\left[ z_{11}^{10} \right] = -IOIO^{10} + IIII^{00}$$

Токарно черновой операции(1 уст):

$$[z_5^{20}] = -\mathcal{I}^{20} - E50^{20}5^{20} - E50^{10}5^{10} + \mathcal{I}\mathcal{I}^{00}$$

$$\left[z_4^{20}\right] = -\Gamma^{20} - E50^{20}4^{20} - E50^{10}4^{10} + PP^{00}$$

Токарно черновой операции(2 уст):

$$[z_5^{30}] = -\mathcal{I}^{30} - E50^{30}11^{30} - E50^{10}11^{10} + IOO^{10}$$

# Токарно чистовой операции(1 уст)

$$\begin{split} & \left[z_5^{40}\right] = -C^{40} - E5^{40}50^{40} - E50^{20}5^{20} + \mathcal{I}^{20} \\ & \left[z_3^{40}\right] = -P^{40} - E3^{40}50^{40} - E50^{20}3^{20} + B^{20} \\ & \left[z_2^{40}\right] = -\mathcal{I}^{40} - E2^{40}50^{40} - E50^{20}2^{20} + B^{20} \\ & \left[z_1^{40}\right] = -O^{40} - E1^{40}50^{40} - E50^{20}1^{20} + A^{20} \end{split}$$

## Токарно чистовой (2 уст)

$$\begin{split} & \left[ z_{12}^{50} \right] = - \mathcal{U}^{50} - E12^{50}50^{50} - E50^{30}12^{30} + \mathcal{M}^{30} \\ & \left[ z_{10}^{50} \right] = - \mathcal{U}^{50} - E10^{50}50^{50} - E50^{30}10^{30} + \mathcal{K}^{30} \\ & \left[ z_{9}^{50} \right] = - \mathcal{X}^{50} - E9^{50}50^{50} - E50^{30}9^{30} + \mathcal{U}^{30} \\ & \left[ z_{8}^{50} \right] = - \mathcal{D}^{50} - E8^{50}50^{50} - E50^{30}8^{30} + 3^{30} \\ & \left[ z_{7}^{50} \right] = - \mathcal{Y}^{50} - E7^{50}50^{50} - E50^{30}7^{30} + \mathcal{K}^{30} \\ & \left[ z_{6}^{50} \right] = - T^{50} - E6^{50}50^{50} - E50^{30}6^{30} + E^{30} \end{split}$$

## Зенкерование:

$$[z_{41}^{100}] = -MM^{100} - E41^{100}50^{100} - E50^{60}41^{60} + \mathcal{I}\mathcal{I}\mathcal{I}^{60}$$

# Шлифовальная черновая (1 уст)

$$\begin{split} & \left[z_{3}^{130}\right] = -III^{130} - E3^{130}50^{130} - E3^{120}50^{120} - E50^{110}3^{110} - E3^{40}50^{40} + P^{40} \\ & \left[z_{1}^{130}\right] = -III^{130} - E1^{130}50^{130} - E3^{120}50^{120} - E50^{110}3^{110} - E50^{40}1^{40} + O^{40} \end{split}$$

## Шлифовальная черновая (2уст)

$$\begin{split} & \left[z_9^{140}\right] = -\mathcal{A}^{140} - E9^{140}50^{140} - E3^{120}50^{120} - E3^{110}50^{110} - E50^{50}9^{50} + X^{50} \\ & \left[z_8^{140}\right] = -E0^{140} - E8^{140}50^{140} - E50^{120}3^{120} - E50^{110}3^{110} - E50^{50}8^{50} + \mathcal{D}^{50} \\ & \left[z_6^{140}\right] = -9^{140} - E6^{140}50^{140} - E3^{120}50^{120} - E3^{110}50^{110} - E50^{50}3^{50} + T^{50} \end{split}$$

## Круглошлифовальная чистовая (1 уст)

$$\begin{aligned} & \left[ z_3^{150} \right] = -EE^{150} - E3^{150}50^{150} - E50^{130}3^{130} + III^{130} \\ & \left[ z_1^{150} \right] = -AA^{150} - E1^{150}50^{150} - E50^{130}1^{130} + III^{130} \end{aligned}$$

## Круглошлифовальная чистовая (2 уст)

$$\begin{split} & \left[ z_9^{160} \right] = -\Gamma \Gamma^{160} - E9^{160} 50^{160} - E50^{140} 9^{140} + \mathcal{A}^{140} \\ & \left[ z_8^{160} \right] = -\Gamma \Gamma^{160} - E8^{160} 50^{160} - E50^{140} 8^{140} + HO^{140} \end{split}$$

#### Суперфиниширование (1 уст)

$$[z_3^{170}] = -\mathcal{I}\mathcal{I}^{170} - E3^{170}50^{170} - E50^{150}3^{150} + EE^{150}$$

#### Суперфиниширование (2 уст)

$$\begin{aligned} & \left[ z_9^{180} \right] = -\mathcal{A}\mathcal{A}^{180} - E9^{180}50^{180} - E50^{160}9^{160} + \Gamma\Gamma^{160} \\ & \left[ z_8^{180} \right] = -93^{180} - E8^{180}50^{180} - E50^{160}8^{160} + BB^{160} \end{aligned}$$

Решим уравнения размерных цепей в радиальномнаправлении.

Решим уравнения размерных цепей в радиальном 
$$\begin{bmatrix} z_{11}^{10} \end{bmatrix} = -ROIO^{10} + IIII^{00} \\ \omega \begin{bmatrix} z_{11}^{10} \end{bmatrix} = 3\sqrt{\frac{1}{6}(2.5)^2 + \frac{1}{6}(3)^2} = 4.78 \\ \begin{bmatrix} z_5^{20} \end{bmatrix} = -\mathcal{H}^{20} - E50^{20}5^{20} - E50^{10}5^{10} + \mathcal{H}I^{00} \\ \omega \begin{bmatrix} z_5^{20} \end{bmatrix} = 3\sqrt{\frac{1}{6}(0.4)^2 + \frac{1}{6}(0.048)^2 + \frac{1}{6}(0.016)^2 + \frac{1}{6}(2.5)^2} = 3.09 \\ \begin{bmatrix} z_4^{20} \end{bmatrix} = -I^{20} - E50^{20}4^{20} - E50^{10}4^{10} + PP^{00} \\ \omega \begin{bmatrix} z_4^{20} \end{bmatrix} = 3\sqrt{\frac{1}{6}(0.4)^2 + \frac{1}{6}(0.046)^2 + \frac{1}{6}(0.018)^2 + \frac{1}{6}(2.5)^2} = 3.04 \\ \begin{bmatrix} z_{11}^{30} \end{bmatrix} = -\mathcal{H}^{30} - E50^{30}11^{30} - E50^{10}11^{10} + IOIO^{10} \\ \omega \begin{bmatrix} z_{11}^{30} \end{bmatrix} = 3\sqrt{\frac{1}{6}(0.5)^2 + \frac{1}{6}(0.097)^2 + \frac{1}{6}(0.028)^2 + \frac{1}{6}(2.5)^2} = 3.12 \\ \begin{bmatrix} z_5^{40} \end{bmatrix} = -C^{40} - E5^{40}50^{40} - E50^{20}5^{20} + \mathcal{H}^{20} \\ \omega \begin{bmatrix} z_5^{40} \end{bmatrix} = 3\sqrt{\frac{1}{6}(0.1)^2 + \frac{1}{6}(0.016)^2 + \frac{1}{6}(0.048)^2 + \frac{1}{6}(0.4)^2} = 0.51 \\ \begin{bmatrix} z_3^{40} \end{bmatrix} = -P^{40} - E3^{40}50^{40} - E50^{20}3^{20} + B^{20} \\ \omega \begin{bmatrix} z_3^{40} \end{bmatrix} = 3\sqrt{\frac{1}{6}(0.087)^2 + \frac{1}{6}(0.015)^2 + \frac{1}{6}(0.037)^2 + \frac{1}{6}(0.35)^2} = 0.44 \\ \begin{bmatrix} z_2^{40} \end{bmatrix} = -\mathcal{H}^{40} - E2^{40}50^{40} - E50^{20}2^{20} + E^{20} \\ \omega \begin{bmatrix} z_2^{40} \end{bmatrix} = 3\sqrt{\frac{1}{6}(0.087)^2 + \frac{1}{6}(0.013)^2 + \frac{1}{6}(0.034)^2 + \frac{1}{6}(0.35)^2} = 0.44 \\ \end{bmatrix}$$

$$\omega \left[ z_2^{40} \right] = 3\sqrt{\frac{1}{6} (0.087)^2 + \frac{1}{6} (0.013)^2 + \frac{1}{6} (0.034)^2 + \frac{1}{6} (0.35)^2} = 0.48$$

$$[z_1^{40}] = O^{40} - E1^{40}50^{40} - E50^{20}1^{20} + A^{20}$$

$$\omega \left[ z_1^{40} \right] = 3\sqrt{\frac{1}{6} (0.087)^2 + \frac{1}{6} (0.012)^2 + \frac{1}{6} (0.034)^2 + \frac{1}{6} (0.35)^2} = 0.47$$

$$\left[ z_{12}^{50} \right] = -U^{50} - E12^{50}50^{50} - E50^{30}12^{30} + M^{30}$$

$$\begin{split} &\omega\Big[z_{12}^{50}\Big] = 3\sqrt{\frac{1}{6}(0.1)^2 + \frac{1}{6}(0.021)^2 + \frac{1}{6}(0.069)^2 + \frac{1}{6}(0.45)^2} = 0.57 \\ &z_{10}^{50}\Big] = -H^{50} - E10^{50}50^{50} - E50^{30}10^{30} + K^{30} \\ &\omega\Big[z_{10}^{50}\Big] = 3\sqrt{\frac{1}{6}(0.17)^2 + \frac{1}{6}(0.021)^2 + \frac{1}{6}(0.064)^2 + \frac{1}{6}(0.4)^2} = 0.56 \\ &z_{9}^{50}\Big] = -X^{50} - E9^{50}50^{50} - E50^{30}9^{30} + H^{30} \\ &\omega\Big[z_{9}^{50}\Big] = 3\sqrt{\frac{1}{6}(0.1)^2 + \frac{1}{6}(0.02)^2 + \frac{1}{6}(0.06)^2 + \frac{1}{6}(0.4)^2} = 0.56 \\ &z_{8}^{50}\Big] = -\mathcal{O}^{50} - E8^{50}50^{50} - E50^{30}8^{30} + 3^{30} \\ &\omega\Big[z_{8}^{50}\Big] = 3\sqrt{\frac{1}{6}(0.1)^2 + \frac{1}{6}(0.019)^2 + \frac{1}{6}(0.056)^2 + \frac{1}{6}(0.4)^2} = 0.53 \\ &z_{7}^{50}\Big] = -Y^{50} - E7^{50}50^{50} - E50^{30}7^{30} + \mathcal{K}^{30} \\ &\omega\Big[z_{7}^{50}\Big] = 3\sqrt{\frac{1}{6}(0.1)^2 + \frac{1}{6}(0.018)^2 + \frac{1}{6}(0.052)^2 + \frac{1}{6}(0.4)^2} = 0.51 \\ &z_{6}^{50}\Big] = -T^{50} - E6^{50}50^{50} - E50^{30}6^{30} + E^{30} \\ &\omega\Big[z_{6}^{50}\Big] = 3\sqrt{\frac{1}{6}(0.1)^2 + \frac{1}{6}(0.017)^2 + \frac{1}{6}(0.051)^2 + \frac{1}{6}(0.4)^2} = 0.49 \\ &z_{41}^{100}\Big] = -MM^{100} - E41^{100}50^{100} - E50^{60}41^{60} + \mathcal{I}\mathcal{I}\mathcal{I}^{60} \\ &\omega\Big[z_{41}^{100}\Big] = 3\sqrt{\frac{1}{6}(0.035)^2 + \frac{1}{6}(0.02)^2 + \frac{1}{6}(0.025)^2 + \frac{1}{6}(0.3)^2} = 0.37 \\ &z_{3}^{130}\Big] = -III^{130} - E3^{130}50^{130} - E3^{120}50^{120} - E50^{110}3^{110} - E3^{40}50^{40} + P^{40} \\ &\omega\Big[z_{3}^{130}\Big] = 3\sqrt{\frac{1}{6}(0.054)^2 + \frac{1}{6}(0.008)^2 + \frac{1}{6}(0.009)^2 + \frac{1}{6}(0.087)^2} = 0.13 \\ &z_{1}^{130}\Big] = -III^{130} - E1^{130}50^{130} - E3^{120}50^{120} - E50^{110}3^{110} - E50^{40}1^{40} + O^{40} \\ &\omega\Big[z_{1}^{130}\Big] = 3\sqrt{\frac{1}{6}(0.054)^2 + \frac{1}{6}(0.008)^2 + \frac{1}{6}(0.0013)^2 + \frac{1}{6}(0.087)^2} = 0.15 \end{aligned}$$

 $\left[z_9^{140}\right] = -\mathcal{A}^{140} - E9^{140}50^{140} - E3^{120}50^{120} - E3^{110}50^{110} - E50^{50}9^{50} + X^{50}$ 

$$\begin{split} &\omega\Big[z_9^{140}\Big] = 3\sqrt{\frac{1}{6}}\big(0.063\big)^2 + \frac{1}{6}\big(0.014\big)^2 + \frac{1}{6}\big(0.016\big)^2 + \frac{1}{6}\big(0.1\big)^2} = 0.14 \\ &\left[z_8^{140}\right] = -IO^{140} - E8^{140}50^{140} - E50^{120}3^{120} - E50^{110}3^{110} - E50^{50}8^{50} + \varPhi^{50} \\ &\omega\Big[z_8^{140}\Big] = 3\sqrt{\frac{1}{6}}\big(0.063\big)^2 + \frac{1}{6}\big(0.012\big)^2 + \frac{1}{6}\big(0.009\big)^2 + \frac{1}{6}\big(0.1\big)^2} = 0.12 \\ &\left[z_6^{140}\right] = -3^{140} - E6^{140}50^{140} - E3^{120}50^{120} - E3^{110}50^{110} - E50^{50}3^{50} + T^{50} \\ &\omega\Big[z_6^{140}\Big] = 3\sqrt{\frac{1}{6}}\big(0.063\big)^2 + \frac{1}{6}\big(0.01\big)^2 + \frac{1}{6}\big(0.014\big)^2 + \frac{1}{6}\big(0.1\big)^2} = 0.11 \\ &\left[z_3^{150}\right] = -BB^{150} - E3^{150}50^{150} - E50^{130}3^{130} + IH^{130} \\ &\omega\Big[z_3^{150}\Big] = 3\sqrt{\frac{1}{6}}\big(0.022\big)^2 + \frac{1}{6}\big(0.0038\big)^2 + \frac{1}{6}\big(0.008\big)^2 + \frac{1}{6}\big(0.054\big)^2} = 0.07 \\ &\left[z_1^{150}\right] = -AA^{150} - E1^{150}50^{150} - E50^{130}1^{130} + IH^{130} \\ &\omega\Big[z_1^{150}\Big] = 3\sqrt{\frac{1}{6}}\big(0.022\big)^2 + \frac{1}{6}\big(0.0035\big)^2 + \frac{1}{6}\big(0.007\big)^2 + \frac{1}{6}\big(0.054\big)^2} = 0.06 \\ &\left[z_9^{150}\right] = -\Gamma\Gamma^{160} - E9^{160}50^{160} - E50^{140}9^{140} + \mathcal{H}^{140} \\ &\omega\Big[z_9^{160}\Big] = 3\sqrt{\frac{1}{6}}\big(0.025\big)^2 + \frac{1}{6}\big(0.005\big)^2 + \frac{1}{6}\big(0.012\big)^2 + \frac{1}{6}\big(0.063\big)^2} = 0.08 \\ &\left[z_8^{160}\right] = -\Gamma\Gamma^{160} - E8^{160}50^{160} - E50^{140}8^{140} + IO^{140} \\ &\omega\Big[z_8^{150}\Big] = 3\sqrt{\frac{1}{6}}\big(0.025\big)^2 + \frac{1}{6}\big(0.004\big)^2 + \frac{1}{6}\big(0.012\big)^2 + \frac{1}{6}\big(0.063\big)^2} = 0.07 \\ &\left[z_9^{150}\right] = -\mathcal{I}\mathcal{I}^{170} - E3^{170}50^{170} - E50^{150}3^{150} + BB^{150} \\ &\omega\Big[z_9^{150}\Big] = 3\sqrt{\frac{1}{6}}\big(0.015\big)^2 + \frac{1}{6}\big(0.001\big)^2 + \frac{1}{6}\big(0.0038\big)^2 + \frac{1}{6}\big(0.022\big)^2} = 0.026 \\ &\left[z_9^{150}\right] = -\mathcal{I}\mathcal{H}^{170} - E3^{170}50^{180} - E50^{160}9^{160} + \Gamma\Gamma^{160} \\ &\omega\Big[z_9^{150}\Big] = 3\sqrt{\frac{1}{6}}\big(0.018\big)^2 + \frac{1}{6}\big(0.0018\big)^2 + \frac{1}{6}\big(0.005\big)^2 + \frac{1}{6}\big(0.025\big)^2} = 0.026 \\ &\left[z_9^{150}\right] = -\mathcal{I}\mathcal{H}^{170} - E3^{170}50^{180} - E50^{160}9^{160} + \Gamma\Gamma^{160} \\ &\omega\Big[z_9^{150}\Big] = -3\sqrt{\frac{1}{6}}\big(0.018\big)^2 + \frac{1}{6}\big(0.0018\big)^2 + \frac{1}{6}\big(0.005\big)^2 + \frac{1}{6}\big(0.025\big)^2} = 0.03 \\ &\left[z_9^{150}\right] = 3\sqrt{\frac{1}{6}}\big(0.018\big)^2 - E3^{180}50^{180} - E50^{160}9^{160} + BB^{160} \\ &\omega\Big[z_9^{150}\Big] = 3\sqrt{$$

$$\omega \left[z_8^{180}\right] = 3\sqrt{\frac{1}{6}(0.018)^2 + \frac{1}{6}(0.0012)^2 + \frac{1}{6}(0.004)^2 + \frac{1}{6}(0.025)^2} = 0.03$$

2.8.6Расчет припусков в радиальном направлении

1)Минимальный припуск при обработке торцев.

$$Z_{\min}^{i} = Rz^{i-1} + h^{i-1}$$
 (2.8.7)

- 2) Рассчитать колебания операционных припусков  $\mathit{\omega}[z^{i}]$
- 3)Найти значение максимальных припусков.

$$z_{\text{max}}^{i} = z_{\text{min}}^{i} + \omega [z^{i}]$$
 (2.8.8)

4)Определить величины средних операционных припусков

$$z_{cp}^{i} = z_{min}^{i} + \frac{\omega[z^{i}]}{2}$$
 (2.8.9)

Для поверхности 8 на операции 170

$$Z_{\min}^{150} = Rz^{150} = 0.005$$

$$z_{\text{max}}^{170} = z_{\text{min}}^{170} + \omega [z^{170}] = 0,005 + 0,03 = 0,035$$

$$z_{cp}^{140} = z_{min}^{140} + \frac{\omega[z^{140}]}{2} = 0,005 + \frac{0,03}{2} = 0,02$$

#### Для поверхности 9 на операции 170

$$Z_{\min}^{170} = Rz^{150} = 0,005$$

$$z_{\max}^{170} = z_{\min}^{170} + \omega [z^{170}] = 0,005 + 0,03 = 0,035$$

$$z_{cp}^{140} = z_{\min}^{140} + \frac{\omega [z^{140}]}{2} = 0,005 + \frac{0,03}{2} = 0,02$$

## Для поверхности 3 на операции 160

$$Z_{\min}^{160} = Rz^{140} = 0,005$$

$$z_{\max}^{160} = z_{\min}^{160} + \omega \left[ z^{160} \right] = 0,005 + 0,026 = 0,031$$

$$z_{cp}^{160} = z_{\min}^{160} + \frac{\omega \left[ z^{160} \right]}{2} = 0,005 + \frac{0,026}{2} = 0,018$$

# Для поверхности 8 на операции 150

$$Z_{\min}^{150} = Rz^{130} = 0.08$$

$$z_{\max}^{150} = z_{\min}^{150} + \omega [z^{150}] = 0.08 + 0.07 = 0.15$$

$$z_{cp}^{150} = z_{\min}^{150} + \frac{\omega [z^{150}]}{2} = 0.08 + \frac{0.07}{2} = 0.115$$

# Для поверхности 9 на операции 150

$$Z_{\min}^{150} = Rz^{130} = 0,08$$

$$z_{\max}^{150} = z_{\min}^{150} + \omega [z^{150}] = 0,08 + 0,08 = 0,16$$

$$z_{cp}^{150} = z_{min}^{150} + \frac{\omega[z^{150}]}{2} = 0.08 + \frac{0.08}{2} = 0.12$$

#### Для поверхности 1 на операции 140

$$Z_{\min}^{140} = Rz^{120} = 0.08$$

$$z_{\max}^{140} = z_{\min}^{140} + \omega \left[ z^{140} \right] = 0.08 + 0.06 = 0.14$$

$$z_{cp}^{140} = z_{\min}^{140} + \frac{\omega \left[ z^{140} \right]}{2} = 0.08 + \frac{0.06}{2} = 0.11$$

## Для поверхности 3 на операции 140

$$Z_{\min}^{140} = Rz^{120} = 0.08$$

$$z_{\max}^{140} = z_{\min}^{140} + \omega \left[ z^{140} \right] = 0.08 + 0.07 = 0.15$$

$$z_{cp}^{140} = z_{\min}^{140} + \frac{\omega \left[ z^{140} \right]}{2} = 0.08 + \frac{0.07}{2} = 0.115$$

## Для поверхности 9 на операции 130

$$Z_{\min}^{130} = Rz^{50} = 0,05$$

$$z_{\max}^{130} = z_{\min}^{130} + \omega [z^{130}] = 0,05 + 0,14 = 0,19$$

$$z_{cp}^{130} = z_{\min}^{130} + \frac{\omega [z^{130}]}{2} = 0,05 + \frac{0,14}{2} = 0,12$$

# Для поверхности 8 на операции 130

$$Z_{\min}^{130} = Rz^{50} = 0.05$$

$$z_{\text{max}}^{130} = z_{\text{min}}^{130} + \omega [z^{130}] = 0.05 + 0.12 = 0.17$$

$$z_{cp}^{130} = z_{min}^{130} + \frac{\omega[z^{130}]}{2} = 0.05 + \frac{0.12}{2} = 0.11$$

#### Для поверхности 6 на операции 130

$$Z_{\min}^{130} = Rz^{50} = 0.05$$

$$z_{\text{max}}^{130} = z_{\text{min}}^{130} + \omega [z^{130}] = 0.05 + 0.11 = 0.16$$

$$z_{cp}^{130} = z_{min}^{130} + \frac{\omega[z^{130}]}{2} = 0.05 + \frac{0.11}{2} = 0.105$$

## Для поверхности 1 на операции 120

$$Z_{\min}^{120} = Rz^{40} = 0.05$$

$$z_{\text{max}}^{120} = z_{\text{min}}^{120} + \omega [z^{120}] = 0,05 + 0,15 = 0,20$$

$$z_{cp}^{120} = z_{min}^{120} + \frac{\omega[z^{120}]}{2} = 0.05 + \frac{0.15}{2} = 0.125$$

# Для поверхности 3 на операции 120

$$Z_{\min}^{120} = Rz^{40} = 0.05$$

$$z_{\text{max}}^{120} = z_{\text{min}}^{120} + \omega [z^{120}] = 0,05 + 0,13 = 0,18$$

$$z_{cp}^{120} = z_{min}^{120} + \frac{\omega[z^{120}]}{2} = 0.05 + \frac{0.13}{2} = 0.115$$

## Для поверхности 6 на операции 50

$$Z_{\min}^{50} = Rz^{30} + h^{30} = 0.08 + 0.1 = 0.18$$

$$z_{\text{max}}^{50} = z_{\text{min}}^{50} + \omega [z^{50}] = 0.18 + 0.49 = 0.67$$

$$z_{cp}^{50} = z_{min}^{50} + \frac{\omega[z^{50}]}{2} = 0.18 + \frac{0.49}{2} = 0.425$$

## Для поверхности 7 на операции 50

$$Z_{\min}^{50} = Rz^{30} + h^{30} = 0.18$$

$$z_{\text{max}}^{50} = z_{\text{min}}^{50} + \omega [z^{50}] = 0.18 + 0.51 = 0.69$$

$$z_{cp}^{50} = z_{min}^{50} + \frac{\omega[z^{50}]}{2} = 0.18 + \frac{0.51}{2} = 0.435$$

## Для поверхности 8 на операции 50

$$Z_{\min}^{50} = Rz^{30} + h^{30} = 0.18$$

$$z_{\text{max}}^{50} = z_{\text{min}}^{50} + \omega [z^{50}] = 0,18 + 0,53 = 0,71$$

$$z_{cp}^{50} = z_{min}^{50} + \frac{\omega[z^{50}]}{2} = 0.18 + \frac{0.53}{2} = 0.445$$

# Для поверхности 9 на операции 50

$$Z_{\min}^{50} = Rz^{30} + h^{30} = 0.18$$

$$z_{\text{max}}^{50} = z_{\text{min}}^{50} + \omega [z^{50}] = 0.18 + 0.56 = 0.74$$

$$z_{cp}^{50} = z_{min}^{50} + \frac{\omega[z^{50}]}{2} = 0.18 + \frac{0.56}{2} = 0.46$$

## Для поверхности 10 на операции 50

$$Z_{\min}^{50} = Rz^{30} + h^{30} = 0.18$$

$$z_{\text{max}}^{50} = z_{\text{min}}^{50} + \omega [z^{50}] = 0.18 + 0.56 = 0.74$$

$$z_{cp}^{50} = z_{min}^{50} + \frac{\omega[z^{50}]}{2} = 0.18 + \frac{0.56}{2} = 0.46$$

## Для поверхности 12 на операции 50

$$Z_{\min}^{50} = Rz^{30} + h^{30} = 0.18$$

$$z_{\text{max}}^{50} = z_{\text{min}}^{50} + \omega [z^{50}] = 0.18 + 0.57 = 0.75$$

$$z_{cp}^{50} = z_{min}^{50} + \frac{\omega[z^{50}]}{2} = 0.18 + \frac{0.57}{2} = 0.465$$

# Для поверхности 1 на операции 40

$$Z_{\min}^{40} = Rz^{20} + h^{20} = 0.18$$

$$z_{\text{max}}^{40} = z_{\text{min}}^{40} + \omega [z^{40}] = 0.18 + 0.47 = 0.65$$

$$z_{cp}^{40} = z_{min}^{40} + \frac{\omega[z^{40}]}{2} = 0.18 + \frac{0.47}{2} = 0.415$$

# Для поверхности 2 на операции 40

$$Z_{\min}^{40} = Rz^{20} + h^{20} = 0.18$$

$$z_{\text{max}}^{40} = z_{\text{min}}^{40} + \omega [z^{40}] = 0.18 + 0.48 = 0.66$$

$$z_{cp}^{40} = z_{min}^{40} + \frac{\omega[z^{40}]}{2} = 0.18 + \frac{0.48}{2} = 0.42$$

## Для поверхности 3 на операции 40

$$Z_{\min}^{40} = Rz^{20} + h^{20} = 0.18$$

$$z_{\text{max}}^{40} = z_{\text{min}}^{40} + \omega [z^{40}] = 0.18 + 0.44 = 0.62$$

$$z_{cp}^{40} = z_{min}^{40} + \frac{\omega[z^{40}]}{2} = 0.18 + \frac{0.44}{2} = 0.4$$

## Для поверхности 5 на операции 40

$$Z_{\min}^{40} = Rz^{20} + h^{20} = 0.18$$

$$z_{\text{max}}^{40} = z_{\text{nin}}^{40} + \omega [z^{40}] = 0,18 + 0,51 = 0,69$$

$$z_{cp}^{40} = z_{min}^{40} + \frac{\omega[z^{40}]}{2} = 0.18 + \frac{0.51}{2} = 0.435$$

# Для поверхности 11 на операции 30

$$Z_{\min}^{30} = Rz^{00} + h^{00} = 0.08 + 0.15 = 0.23$$

$$z_{\text{max}}^{30} = z_{\text{min}}^{30} + \omega [z^{30}] = 0,23 + 3,12 = 3,35$$

$$z_{cp}^{40} = z_{min}^{40} + \frac{\omega[z^{40}]}{2} = 0.23 + \frac{3.12}{2} = 1.79$$

#### Для поверхности 5 на операции 20

$$Z_{\min}^{20} = Rz^{00} + h^{00} = 0.08 + 0.15 = 0.23$$

$$z_{\text{max}}^{20} = z_{\text{min}}^{20} + \omega [z^{20}] = 0,23 + 3,09 = 3,32$$

$$z_{cp}^{40} = z_{\min}^{40} + \frac{\omega[z^{40}]}{2} = 0.23 + \frac{3.09}{2} = 1.78$$

## Для поверхности 4 на операции 20

$$Z_{\min}^{20} = Rz^{00} + h^{00} = 0.08 + 0.15 = 0.23$$

$$z_{\text{max}}^{20} = z_{\text{min}}^{20} + \omega [z^{20}] = 0.23 + 3.04 = 3.27$$

$$z_{cp}^{40} = z_{min}^{40} + \frac{\omega[z^{40}]}{2} = 0.23 + \frac{3.27}{2} = 1.72$$

## Для поверхности 11 на операции 10

$$Z_{\min}^{10} = Rz^{00} + h^{00} = 0.08 + 0.15 = 0.23$$

$$z_{\text{max}}^{10} = z_{\text{min}}^{10} + \omega [z^{10}] = 0,23 + 4,78 = 5,01$$

$$z_{cp}^{10} = z_{\min}^{10} + \frac{\omega[z^{10}]}{2} = 0.23 + \frac{4.78}{2} = 2.62$$

# Занесем рассчитанные припуски в таблицу (см. Таблица 2.8.3)

#### Таблица 2.8.3

№ операции	№ пов.	Припуск на сторону			
		Z <sub>min</sub>	$\omega[z]$	Z <sub>max</sub>	Z <sub>cp</sub>
10	11	0,23	4,78	5,01	2,62
20	4	0,23	3,04	3,27	1,27

Продолжение таблицы 2.8.3.

Продолжение	аолицы 2.6.5.				
20	5	0,23	3,09	3,32	1,78
30	11	0,23	3,12	3,35	1,79
40	5	0,18	0,51	0,69	0,435
40	3	0,18	0,44	0,62	0,4
40	2	0,18	0,48	0,66	0,42
40	1	0,18	0,47	0,65	0,415
50	10	0,18	0,56	0,74	0,46
50	12	0,18	0,57	0,75	0,46
50	8	0,18	0,53	0,71	0,445
50	9	0,18	0,56	0,74	0,46
50	7	0,18	0,51	0,69	0,435
50	6	0,18	0,49	0,67	0,42
120	3	0,05	0,13	0,18	0,115
120	1	0,05	0,15	0,20	0,125
130	6	0,05	0,12	0,16	0,10
130	8	0,05	0,12	0,17	0,11
130	9	0,05	0,14	0,19	0,13
140	3	0,08	0,07	0,15	0,115
140	1	0,08	0,06	0.14	0,11
150	9	0,08	0,08	0,26	0,12
150	8	0,08	0,07	0,15	0.115
160	3	0,005	0.026	0,032	0,018
170	9	0,005	0,03	0,035	0,02
170	8	0,005	0,03	0.035	0,02

# 2.8.7. Расчет операционных размеров

#### Шлифование тонкое (1 уст)

$$\begin{split} & \left[ z_{3}^{160} \right] = -\mathcal{I}\mathcal{I}^{160} - E3^{160}50^{160} - E50^{140}3^{140} + EE^{140} \\ & EE^{140} = 2(\left[ z_{3}^{160} \right] + \mathcal{I}\mathcal{I}^{160} + E3^{160}50^{160} + E3^{140}50^{140}) \\ & EE^{140} = 2(0,018 + 120 + 0,001 + 0,0038) = 120,023 \\ & EE^{140} = 120 \pm 0.011 \end{split}$$

#### Шлифование тонкое (2 уст)

$$\begin{split} & \left[ z_9^{170} \right] = -\mathcal{A} \mathcal{A}^{170} - E 9^{170} 50^{170} - E 50^{150} 9^{150} + \Gamma \Gamma^{150} \\ & \Gamma \Gamma^{150} = 2 ( \left[ z_9^{170} \right] + \mathcal{A} \mathcal{A}^{170} + E 9^{170} 50^{170} + E 9^{150} 50^{150} ) \\ & \Gamma \Gamma^{150} = 2 ( 0,02 + 160 \cdot \cos 12 + 0,0018 + 0,005 ) = 157,19 \\ & \Gamma \Gamma^{150} = 157 \pm 0,012 \\ & \left[ z_8^{170} \right] = -9 3^{170} - E 8^{170} 50^{170} - E 50^{150} 8^{150} + B B^{150} \\ & B B^{150} = 2 ( \left[ z_5^{170} \right] + 9 3^{170} + E 8^{170} 50^{170} + E 8^{150} 50^{150} ) \\ & B B^{150} = 2 ( 0,02 + 150 + 0,0012 + 0,004 ) = 150,025 \\ & B B^{150} = 150 \pm 0,012 \end{split}$$

#### Круглошлифовальная чистовая (1 уст)

$$\begin{split} & \left[ z_{3}^{140} \right] = -EB^{140} - E3^{140}50^{140} - E50^{120}3^{120} + III^{120} \\ & III^{120} = 2(\left[ z_{3}^{140} \right] + EB^{140} + E3^{140}50^{140} + E3^{120}50^{120}) \\ & III^{120} = 2(0,115 + 120 + 0,0038 + 0,008) = 120,13 \\ & III^{150} = 120,13 \pm 0,027 \\ & \left[ z_{1}^{140} \right] = -AA^{140} - E1^{140}50^{140} - E50^{120}1^{120} + III^{120} \\ & III^{120} = 2(\left[ z_{1}^{140} \right] + AA^{140} + E1^{140}50^{140} + E1^{120}50^{120}) \\ & III^{120} = 2(0,11 + 100 + 0,0035 + 0,007) = 100,12 \end{split}$$

$$III^{120} = 100,12 \pm 0,027$$

#### Круглошлифовальная чистовая (2 уст)

$$\left[z_9^{150}\right] = -\Gamma\Gamma^{150} - E9^{150}50^{150} - E50^{130}9^{130} + \mathcal{A}^{130}$$

$$\mathcal{A}^{130} = 2(\left[z_9^{150}\right] + \Gamma T^{150} + E9^{150}50^{150} + E9^{130}50^{130})$$

$$\mathcal{A}^{130} = 2(0.12 + 157 + 0.005 + 0.014) = 157.14$$

$$\mathcal{A}^{130} = 157,14 \pm 0,031$$

$$\left[ z_8^{150} \right] = -\Gamma \Gamma^{150} - E8^{150} 50^{150} - E50^{130} 8^{130} + IO^{130}$$

$$IO^{130} = 2([z_8^{150}] + BB^{150} + E8^{150}50^{150} + E8^{130}50^{130})$$

$$IO^{130} = 2(0.115 + 150 + 0.004 + 0.012) = 150.13$$

$$10^{130} = 150.13 \pm 0.031$$

## Шлифовальная черновая (1 уст)

$$[z_3^{120}] = -III^{120} - E3^{120}50^{120} - E50^{110}3^{110} + P^{40}$$

$$P^{40} = 2(\left[z_3^{120}\right] + III^{120} + E3^{120}50^{120} + E3^{110}50^{110})$$

$$P^{40} = 2(0.115 + 100.12 + 0.008 + 0.009) = 100.25$$

$$P^{40} = 100.25 \pm 0.043$$

$$\left[ z_1^{120} \right] = -III^{120} - E1^{120}50^{120} - E50^{110}1^{110} + O^{40}$$

$$O^{40} = 2(\left[z_1^{120}\right] + III^{120} + E1^{120}50^{120} + E1^{110}50^{110})$$

$$2O^{40} = 2(0,125+100,12+0,007+0,0013) = 100,39$$

$$2O^{40} = 100,39 \pm 0,043$$

## Торцешлифовальная черновая (2уст)

$$2[z_9^{130}] = 2(-\mathcal{A}^{130} - E9^{130}50^{130} - E50^{110}9^{110} + X^{50})$$

$$2X^{50} = 2(\left[z_9^{130}\right] + \mathcal{A}^{130} + E9^{130}50^{130} + E9^{110}50^{110})$$

$$2X^{50} = 2(0.13 + 157.14 + 0.014 + 0.016) = 157.46$$

$$2X^{50} = 157,14 \pm 0,05$$

$$\left[z_{8}^{130}\right] = -IO^{130} - E8^{130}50^{130} - E50^{110}8^{110} + \Phi^{50}$$

$$2\Phi^{50} = 2(\left[z_8^{130}\right] + HO^{130} + E8^{130}50^{130} + E8^{110}50^{110})$$

$$2\Phi^{50} = 2(0,11+150,13+0,012+0,009) = 150,39$$

$$2\Phi^{50} = 150.39 \pm 0.05$$

$$[z_6^{130}] = -3^{130} - E6^{130}50^{130} - E50^{110}6^{110} + T^{50}$$

$$2T^{50} = 2(\left[z_6^{130}\right] + 3^{130} + E6^{130}50^{130} + E6^{110}50^{110})$$

$$2T^{50} = 2(0.1 + 135 + 0.01 + 0.0014) = 135.22$$

$$2T^{50} = 135,22 \pm 0.05$$

#### Токарно чистовой операции(1 уст)

$$[z_5^{40}] = -C^{40} - E5^{40}50^{40} - E50^{20}5^{20} + \mathcal{I}^{20}$$

$$2\mathcal{J}^{20} = 2(\left[z_5^{40}\right] + C^{40} + E5^{40}50^{40} + E5^{20}50^{20})$$

$$2\mathcal{I}^{50} = 2(0,435+130+0,016+0,048) = 130,99$$

$$2\mathcal{I}^{20} = 130,99 \pm 0,2$$

$$\left[z_3^{40}\right] = -P^{40} - E3^{40}50^{40} - E50^{20}3^{20} + B^{20}$$

$$2B^{20} = 2([z_3^{40}] + P^{40} + E3^{40}50^{40} + E3^{20}50^{20})$$

$$2B^{50} = 2(0.4 + 100.25 + 0.015 + 0.037) = 101.15$$

$$2B^{20} = 101,15 \pm 0,2$$

$$\left[ z_2^{40} \right] = -\Pi^{40} - E2^{40}50^{40} - E50^{20}2^{20} + B^{20}$$

$$2B^{20} = 2([z_2^{40}] + \Pi^{40} + E2^{40}50^{40} + E2^{20}50^{20})$$

$$2B^{20} = 2(0.42 + 110 + 0.013 + 0.018) = 110.9$$

$$2B^{20} = 110.9 \pm 0.17$$

$$[z_1^{40}] = -O^{40} - E1^{40}50^{40} - E50^{20}1^{20} + A^{20}$$

$$2A^{20} = 2([z_1^{40}] + O^{40} + E1^{40}50^{40} + E1^{20}50^{20})$$

$$2A^{20} = 2(0.415 + 100.39 + 0.012 + 0.033) = 101.31$$

$$2A^{20} = 101,31 \pm 0,17$$

## Токарно чистовой (2 уст)

$$\left[z_{12}^{50}\right] = -4^{50} - E12^{50}50^{50} - E50^{30}12^{30} + M^{30}$$

$$2M^{30} = 2(\left[z_{12}^{50}\right] + 4^{50} + E12^{50}50^{40} + E12^{30}50^{30})$$

$$2M^{30} = 2(0.46 + 196 + 0.024 + 0.069) = 197.11$$

$$2M^{30} = 197,11 \pm 0,25$$

$$[z_{10}^{50}] = -\mathcal{U}^{50} - E10^{50}50^{50} - E50^{30}10^{30} + K^{30}$$

$$2K^{30} = 2(\left[z_{10}^{50}\right] + \mathcal{U}^{50} + E10^{50}50^{40} + E10^{30}50^{30})$$

$$2K^{30} = 2(0,46+170+0,024+0,069) = 171,11$$

$$2K^{30} = 171,11 \pm 0,25$$

$$\left[z_9^{50}\right] = -X^{50} - E9^{50}50^{50} - E50^{30}9^{30} + U^{30}$$

$$2U^{30} = 2([z_9^{50}] + X^{50} + E9^{50}50^{50} + E9^{30}50^{30})$$

$$2U^{30} = 2(0.46 + 157.14 + 0.02 + 0.06) = 158.22$$

$$2U^{30} = 158,22 \pm 0,2$$

$$[z_8^{50}] = -\Phi^{50} - E8^{50}50^{50} - E50^{30}8^{30} + 3^{30}$$

$$23^{30} = 2(\left[z_8^{50}\right] + \Phi^{50} + E8^{50}50^{50} + E8^{30}50^{30})$$

$$23^{30} = 2(0,445+150,39+0,019+0,056) = 151,43$$

$$23^{30} = 151,43 \pm 0,2$$

$$[z_7^{50}] = -V^{50} - E7^{50}50^{50} - E50^{30}7^{30} + \mathcal{K}^{30}$$

$$2\mathcal{K}^{30} = 2(\left[z_7^{50}\right] + V^{50} + E7^{50}50^{50} + E7^{30}50^{30})$$

$$2\mathcal{H}^{30} = 2(0,435+140+0,018+0,056) = 141,018$$

$$2\mathcal{K}^{30} = 141,018 \pm 0,2$$

$$[z_6^{50}] = -T^{50} - E6^{50}50^{50} - E50^{30}6^{30} + E^{30}$$

$$2E^{30} = 2([z_6^{50}] + T^{50} + E6^{50}50^{50} + E6^{30}50^{30})$$

$$2E^{30} = 2(0,42+135,22+0,017+0,051) = 136,20$$

$$2E^{30} = 136.20 \pm 0.2$$

#### Развертывание:

$$\left[ z_{41}^{100} \right] = -MM^{100} - E41^{100}50^{100} - E50^{60}41^{60} + \text{ДД}^{60}$$

$$2 \Pi \Pi^{60} = 2([z_{41}^{100}] + MM^{100} + E41^{100}50^{100} + E41^{60}50^{60})$$

$$2 \Pi \Pi^{60} = 2(0.6 + 80 + 0.025 + 0.056) = 81.36$$

$$2 \Pi \Pi^{60} = 81,36 \pm 0,15$$

#### Токарно черновой операции(1 уст):

$$\left[ z_5^{20} \right] = - \mathcal{I}^{20} - E50^{20}5^{20} - E50^{10}5^{10} + \mathcal{I}\mathcal{I}^{00}$$

$$2JJJ^{00} = 2(\left[z_5^{20}\right] + JJ^{20} + E5^{20}50^{20} + E5^{10}50^{10})$$

$$2JIJI^{00} = 2(1,78+130,99+0,048+0,018) = 134,68$$

$$2\Pi\Pi^{00} = 134,68 \pm 1,25$$

$$\left[z_4^{20}\right] = -\Gamma^{20} - E50^{20}4^{20} - E50^{10}4^{10} + PP^{00}$$

$$2PP^{00} = 2([z_4^{20}] + \Gamma^{20} + E4^{20}50^{20} + E4^{10}50^{10})$$

$$2JJJ^{00} = 2(1,27+125+0,046+0,016) = 127,66$$

$$2JJJ_{\cdot}^{00} = 127,66 \pm 1,25$$

# Токарно черновой операции(2 уст):

$$[z_{11}^{30}] = -\mathcal{I}^{30} - E50^{30}11^{30} - E50^{10}11^{10} + IOHO^{10}$$

$$2IOIO^{10} = 2(\left[z_{11}^{30}\right] + II^{30} + E11^{30}50^{30} + E11^{10}50^{10})$$

$$2IOIO^{10} = 2(1,79 + 260 + 0,049 + 0,028) = 263,73$$

#### 2.9. Выбор режимов резания и норм времени

## 2.9.1. Расчет режимов резания

1)При подрезании торца 010

Глубина резания:t=2

Подача: S=1,2 [5, с 266, табл.11].

Скорость резания:[5, с 265].

$$V = \frac{C_{v}}{T^{m} \cdot S^{y}} \cdot K_{v} = \frac{47 \cdot 1,2}{60^{0,2} \cdot 1,2^{0,8}} \cdot 0,9 = 26 \frac{MM}{MUH}$$
(2.9.1)

 $C_v$ -коэффициент, зависящий от вида обработки[5, с 269, табл.17].

т,у- показатели степени, зависящие от вида обработки. [5, с 269, табл. 17].  $k_v$ - коэффициент, учитывающий условия резания.

$$K_V = K_{MV} \cdot K_{IIV} \cdot K_{HV} = 0.9 \cdot 1.1 = 0.9$$
 (2.9.2)

K<sub>MV</sub>- коэффициент учитывающий, качество обрабатываемого материала.

$$K_{MV} = K_{\Gamma} \left(\frac{750}{\sigma_B}\right)^{n_V} = 0.9 \cdot \left(\frac{750}{750}\right)^1 = 0.9$$
 (2.9.3)

 $K_{\Gamma}$ , $n_{v}$ - завися от обрабатываемой стали.[5, c262, табл.2]

 $K_{\Pi V}$ -коэффициент, учитывающий состояние поверхности.[5, с 263, табл.5]

Киу-коэффициент, учитывающий качество инструмента. [5, с 263, табл.6]

Частота вращения шпинделя:

$$n = \frac{1000 \cdot V}{\pi \cdot D_{3az}} = \frac{1000 \cdot 26}{3,14 \cdot 270} = 30,66$$
 (2.9.4)

Сила резания:

$$P_{z} = 10 \cdot C_{p} \cdot t^{x} \cdot S^{y} \cdot V^{n} \cdot K_{p} = 10 \cdot 408 \cdot 2^{0.72} \cdot 1, 2^{0.8} \cdot 26^{0} \cdot 1, 1 = 8464 H$$

$$(2.9.5)$$

$$P_{y} = 10 \cdot C_{p} \cdot t^{x} \cdot S^{y} \cdot V^{n} \cdot K_{p} = 10 \cdot 173 \cdot 2^{0.73} \cdot 1, 2^{0.67} \cdot 26^{0} \cdot 1, 1 = 3589 H$$

СР,х,у,п-коэффициенты, зависящие от материала.[5, с274, табл.22].

 $K_{p}$ - поправочный коэффициент[5, c274, табл.22].

Мощность резания:

$$N = \frac{P_z V}{1020.60} = \frac{8464.26}{1020.60} = 3,59 \,\kappa Bm \tag{2.9.6}$$

2) Точение черновое 020:

Для 4 поверхности:

Глубина резания:t=1,27

Подача: S=1,2 [5, с 266, табл.11].

Скорость резания:

$$V = \frac{C_{v}}{T^{m} \cdot t^{x} \cdot S^{y}} \cdot K_{v} = \frac{350 \cdot 1}{60^{0.2} \cdot 1,27^{0.15} \cdot 1,2^{0.35}} \cdot 0.9 = 145.8 \frac{MM}{MUH}$$

$$K_V = K_{MV} \cdot K_{IIV} \cdot K_{HV} = 0.9 \cdot 1 \cdot 1 = 0.9$$

 $K_{\mathrm{MV}}$ - коэффициент учитывающий, качество обрабатываемого материала.

$$K_{MV} = K_{\Gamma} \left(\frac{750}{\sigma_B}\right)^{n_V} = 0.9 \cdot \left(\frac{750}{750}\right)^1 = 0.9$$

Частота вращения шпинделя:

$$n = \frac{1000 \cdot V}{\pi \cdot D_{302}} = \frac{1000 \cdot 145,8}{3,14 \cdot 125} = 371,4$$

Сила резания:

$$P_z = 10 \cdot C_p \cdot t^x \cdot S^y \cdot V^n \cdot K_p = 10 \cdot 300 \cdot 1,27^1 \cdot 1,2^{0,75} \cdot 145,8^{-0,15} \cdot 1,1 = 2262 H$$

$$P_{y} = 10 \cdot C_{p} \cdot t^{x} \cdot S^{y} \cdot V^{n} \cdot K_{p} = 10 \cdot 243 \cdot 1,27^{0.9} \cdot 1,2^{0.6} \cdot 145,8^{-0.3} \cdot 1,4 = 2180 H$$

$$P_x = 10 \cdot C_p \cdot t^x \cdot S^y \cdot V^n \cdot K_p = 10 \cdot 339 \cdot 1,27^1 \cdot 1,2^{0.5} \cdot 145,8^{-0.4} \cdot 1,4 = 821,5 H$$

Мощность резания:

$$N = \frac{P_z V}{1020 \cdot 60} = \frac{2262 \cdot 145,8}{1020 \cdot 60} = 5,38 \,\kappa Bm$$

3) Точение черновое 030:

Для 5 поверхности:

Глубина резания:t=1,78

Подача: S=1,2 [5, с 266, табл.11].

Скорость резания:

$$V = \frac{C_{v}}{T^{m} \cdot t^{x} \cdot S^{y}} \cdot K_{v} = \frac{350 \cdot 1}{60^{0.2} \cdot 1,78^{0.15} \cdot 1,2^{0.35}} \cdot 0.9 = 133.6 \frac{MM}{MUH}$$

$$K_V = K_{MV} \cdot K_{TIV} \cdot K_{UV} = 0.9 \cdot 1 \cdot 1 = 0.9$$

 $K_{\mathrm{MV}}$ - коэффициент учитывающий, качество обрабатываемого материала.

$$K_{MV} = K_{\Gamma} \left(\frac{750}{\sigma_{R}}\right)^{n_{V}} = 0.9 \cdot \left(\frac{750}{750}\right)^{1} = 0.9$$

Частота вращения шпинделя:

$$n = \frac{1000 \cdot V}{\pi \cdot D_{_{3ac}}} = \frac{1000 \cdot 133,6}{3,14 \cdot 130} = 327,9 \ oб /$$
мин

# Сила резания:

$$\begin{split} P_z &= 10 \cdot C_p \cdot t^x \cdot S^y \cdot V^n \cdot K_p = 10 \cdot 300 \cdot 1,78^1 \cdot 1,2^{0.75} \cdot 133,6^{-0.15} \cdot 1,1 = 3060 \, H \\ \\ P_y &= 10 \cdot C_p \cdot t^x \cdot S^y \cdot V^n \cdot K_p = 10 \cdot 243 \cdot 1,27^{0.9} \cdot 1,2^{0.6} \cdot 133,6^{-0.3} \cdot 1,4 = 1975 \, H \\ \\ P_x &= 10 \cdot C_p \cdot t^x \cdot S^y \cdot V^n \cdot K_p = 10 \cdot 339 \cdot 1,78^1 \cdot 1,2^{0.5} \cdot 133,6^{-0.4} \cdot 1,4 = 1311 \, H \end{split}$$

## Мощность резания:

$$N = \frac{P_z V}{1020 \cdot 60} = \frac{3060 \cdot 133,6}{1020 \cdot 60} = 6,68 \,\kappa Bm$$

# 3) Для 11 поверхности:

Глубина резания:t=1,79

Подача: S=1,2

Скорость резания:

$$V = \frac{C_{v}}{T^{m} \cdot t^{x} \cdot S^{y}} \cdot K_{v} = \frac{350 \cdot 1}{60^{0.2} \cdot 1,79^{0.15} \cdot 1,2^{0.35}} (0.9) = 129,15 \frac{MM}{MUH}$$

$$K_V = K_{MV} \cdot K_{TIV} \cdot K_{UV} = 0.9 \cdot 1 \cdot 1 = 0.9$$

K<sub>MV</sub>- коэффициент учитывающий, качество обрабатываемого материала.

$$K_{MV} = K_{\Gamma} \left(\frac{750}{\sigma_{B}}\right)^{n_{V}} = 0.9 \cdot \left(\frac{750}{750}\right)^{1} = 0.9$$

Частота вращения шпинделя:

$$n = \frac{1000 \cdot V}{\pi \cdot D_{3az}} = \frac{1000 \cdot 129,2}{3,14 \cdot 260} = 158,25$$

Сила резания:

$$\begin{split} P_z &= 10 \cdot C_p \cdot t^x \cdot S^y \cdot V^n \cdot K_p = 10 \cdot 300 \cdot 1,79^1 \cdot 1,2^{0.75} \cdot 129,15^{-0.15} \cdot 1,1 = 2849 \, H \\ \\ P_y &= 10 \cdot C_p \cdot t^x \cdot S^y \cdot V^n \cdot K_p = 10 \cdot 243 \cdot 1,79^{0.9} \cdot 1,2^{0.6} \cdot 129,15^{-0.3} \cdot 1,4 = 1985 \, H \\ \\ P_x &= 10 \cdot C_p \cdot t^x \cdot S^y \cdot V^n \cdot K_p = 10 \cdot 339 \cdot 1,79^1 \cdot 1,2^{0.5} \cdot 129,15^{-0.4} \cdot 1,4 = 1337 \, H \end{split}$$

Мощность резания:

$$N = \frac{P_z V}{1020 \cdot 60} = \frac{2849 \cdot 129,15}{1020 \cdot 60} = 6,01 \kappa Bm$$

4) Точение чистовое: 040

Для 1 поверхности:

Глубина резания:t=0,43

Подача: S=0,3 [5, с 267, табл.12].

Скорость резания:

$$V = \frac{C_{v}}{T^{m} \cdot t^{x} \cdot S^{y}} \cdot K_{v} = \frac{350 \cdot 1}{60^{0.2} \cdot 0.41^{0.15} \cdot 0.3^{0.35}} (0.9) = 315.3 \frac{MM}{MUH}$$

$$K_V = K_{MV} \cdot K_{IIV} \cdot K_{HV} = 0.9 \cdot 1 \cdot 1 = 0.9$$

 $K_{\rm MV}$ - коэффициент учитывающий, качество обрабатываемого материала.

$$K_{MV} = K_{\Gamma} \left(\frac{750}{\sigma_{R}}\right)^{n_{V}} = 0.9 \cdot \left(\frac{750}{750}\right)^{1} = 0.9$$

Частота вращения шпинделя:

$$n = \frac{1000 \cdot V}{\pi \cdot D_{_{3ac}}} = \frac{1000 \cdot 315,3}{3,14 \cdot 100} = 1004,1 \ oб /$$
мин

Сила резания:

$$P_z = 10 \cdot C_p \cdot t^x \cdot S^y \cdot V^n \cdot K_p = 10 \cdot 300 \cdot 0.41^1 \cdot 0.3^{0.75} \cdot 315.3^{-0.15} \cdot 1.1 = 290 H$$

$$P_{y} = 10 \cdot C_{p} \cdot t^{x} \cdot S^{y} \cdot V^{n} \cdot K_{p} = 10 \cdot 243 \cdot 0.41^{0.9} \cdot 0.3^{0.6} \cdot 315.3^{-0.3} \cdot 1.4 = 267 H$$

$$P_x = 10 \cdot C_p \cdot t^x \cdot S^y \cdot V^n \cdot K_p = 10 \cdot 339 \cdot 0.41^1 \cdot 0.3^{0.5} \cdot 315.3^{-0.4} \cdot 1.4 = 108.2 H$$

Мощность резания:

$$N = \frac{P_z V}{1020 \cdot 60} = \frac{290 \cdot 315,3}{1020 \cdot 60} = 1,49 \,\kappa Bm$$

Для 2 поверхности:

Глубина резания:t=0,42

Подача: S=2 [5, с 267, табл.12].

Скорость резания:

$$V = \frac{C_{v}}{T^{m} \cdot t^{x} \cdot S^{y}} \cdot K_{v} = \frac{244 \cdot 0.9}{60^{0.2} \cdot 0.42^{0.23} \cdot 2^{0.30}} = 109.9 \frac{MM}{MUH}$$

$$K_V = K_{MV} \cdot K_{IIV} \cdot K_{HV} = 0.9 \cdot 1 \cdot 1 = 0.9$$

 $K_{\text{MV}}$ - коэффициент учитывающий, качество обрабатываемого материала.

$$K_{MV} = K_{\Gamma} \left(\frac{750}{\sigma_B}\right)^{n_V} = 0.9 \cdot \left(\frac{750}{750}\right)^1 = 0.9$$

Частота вращения шпинделя:

$$n = \frac{1000 \cdot V}{\pi \cdot D_{3ac}} = \frac{1000 \cdot 109,9}{3,14 \cdot 110} = 318$$

Сила резания:

$$P_z = 10 \cdot C_p \cdot t^x \cdot S^y \cdot V^n \cdot K_p = 10 \cdot 148 \cdot 2^{1,7} \cdot 109,9^{0,71} \cdot 0,76 = 102325H$$

Мощность резания:

$$N = \frac{P_z V}{1020 \cdot 60} = \frac{102325 \cdot 109,9}{1020 \cdot 60} = 183,75 \,\kappa Bm$$

Для 3 поверхности:

Глубина резания:t=0,4

Подача: S=0,3 [5, с 267, табл.12].

Скорость резания:

$$V = \frac{C_{v}}{T^{m} \cdot t^{x} \cdot S^{y}} \cdot K_{v} = \frac{350 \cdot 1}{60^{0.2} \cdot 0.4^{0.15} \cdot 0.3^{0.35}} (0.9) = 273.4 \frac{MM}{MUH}$$

$$K_V = K_{MV} \cdot K_{TV} \cdot K_{UV} = 0.9 \cdot 1 \cdot 1 = 0.9$$

 $K_{\mathrm{MV}}$ - коэффициент учитывающий, качество обрабатываемого материала.

$$K_{MV} = K_{\Gamma} \left(\frac{750}{\sigma_B}\right)^{n_V} = 0.9 \cdot \left(\frac{750}{750}\right)^1 = 0.9$$

Частота вращения шпинделя:

$$n = \frac{1000 \cdot V}{\pi \cdot D_{3ac}} = \frac{1000 \cdot 273,4}{3,14 \cdot 120} = 725.5$$
 об / мин

Сила резания:

$$P_z = 10 \cdot C_p \cdot t^x \cdot S^y \cdot V^n \cdot K_p = 10 \cdot 300 \cdot 0,4^1 \cdot 0,3^{0,75} \cdot 273,4^{-0,15} \cdot 1,1 = 230 H$$

$$P_{y} = 10 \cdot C_{p} \cdot t^{x} \cdot S^{y} \cdot V^{n} \cdot K_{p} = 10 \cdot 243 \cdot 0,4^{0.9} \cdot 0,3^{0.6} \cdot 273,4^{-0.3} \cdot 1,4 = 134 H$$

$$P_x = 10 \cdot C_p \cdot t^x \cdot S^y \cdot V^n \cdot K_p = 10 \cdot 339 \cdot 0.41^1 \cdot 0.3^{-0.5} \cdot 273.4^{-0.4} \cdot 1.4 = 106.5 H$$

Мощность резания:

$$N = \frac{P_z V}{1020 \cdot 60} = \frac{230 \cdot 273,4}{1020 \cdot 60} = 1,02 \,\kappa Bm$$

Для 5 поверхности:

Глубина резания:t=0,43

Подача: S=2 [5, с 267, табл.12].

Скорость резания:

$$V = \frac{C_{v}}{T^{m} \cdot t^{x} \cdot S^{y}} \cdot K_{v} = \frac{244 \cdot 0.9}{60^{0.2} \cdot 0.43^{0.23} \cdot 2^{0.30}} = 107 \frac{MM}{MUH}$$

$$K_V = K_{MV} \cdot K_{TIV} \cdot K_{IIV} = 0.9 \cdot 1.1 = 0.9$$

K<sub>MV</sub>- коэффициент учитывающий, качество обрабатываемого материала.

$$K_{MV} = K_{\Gamma} \left(\frac{750}{\sigma_{B}}\right)^{n_{V}} = 0.9 \cdot \left(\frac{750}{750}\right)^{1} = 0.9$$

Частота вращения шпинделя:

$$n = \frac{1000 \cdot V}{\pi \cdot D_{sas}} = \frac{1000 \cdot 107}{3,14 \cdot 130} = 262,1$$
 об / мин

Сила резания:

$$P_z = 10 \cdot C_p \cdot t^x \cdot S^y \cdot V^n \cdot K_p = 10 \cdot 148 \cdot 2^{1,7} \cdot 107^{0,71} \cdot 0,76 = 100498H$$

Мощность резания:

$$N = \frac{P_z V}{1020 \cdot 60} = \frac{100498 \cdot 107}{1020 \cdot 60} = 175,7 \,\kappa Bm$$

5) Чистовое точение:

Для 7 поверхности:

Глубина резания:t=0,42

Подача: S=2 [5, с 267, табл.12].

Скорость резания:

$$V = \frac{C_{v}}{T^{m} \cdot t^{x} \cdot S^{y}} \cdot K_{v} = \frac{244 \cdot 0.9}{60^{0.2} \cdot 0.42^{0.23} \cdot 2^{0.30}} = 109.9 \frac{MM}{MUH}$$

$$K_V = K_{MV} \cdot K_{IIV} \cdot K_{IIV} = 0.9 \cdot 1 \cdot 1 = 0.9$$

 $K_{\mathrm{MV}}$ - коэффициент учитывающий, качество обрабатываемого материала.

$$K_{MV} = K_{\Gamma} \left(\frac{750}{\sigma_B}\right)^{n_V} = 0.9 \cdot \left(\frac{750}{750}\right)^1 = 0.9$$

Частота вращения шпинделя:

$$n = \frac{1000 \cdot V}{\pi \cdot D_{_{3ac}}} = \frac{1000 \cdot 109,9}{3,14 \cdot 140} = 250 \ oб /$$
мин

Сила резания:

$$P_z = 10 \cdot C_p \cdot t^x \cdot S^y \cdot V^n \cdot K_p = 10 \cdot 148 \cdot 2^{1,7} \cdot 109,9^{0,71} \cdot 0,76 = 102325H$$

Мощность резания:

$$N = \frac{P_z V}{1020 \cdot 60} = \frac{102325 \cdot 109,9}{1020 \cdot 60} = 183,75 \,\kappa Bm$$

Для 6 поверхности:

Глубина резания:t=0,43

Подача: S=0,3 [5, с 267, табл.12].

Скорость резания:

$$V = \frac{C_{v}}{T^{m} \cdot t^{x} \cdot S^{y}} \cdot K_{v} = \frac{350 \cdot 1}{60^{0.2} \cdot 0.4^{0.15} \cdot 0.3^{0.35}} = 271.3 \frac{MM}{MUH}$$

Частота вращения шпинделя:

$$n = \frac{1000 \cdot V}{\pi \cdot D_{_{3d2}}} = \frac{1000 \cdot 271,3}{3,14 \cdot 135} = 640$$
 об / мин

#### Сила резания:

$$\begin{split} P_z &= 10 \cdot C_p \cdot t^x \cdot S^y \cdot V^n \cdot K_p = 10 \cdot 300 \cdot 0,42^1 \cdot 0,3^{0.75} \cdot 271,3^{-0.15} \cdot 1,1 = 214 \, H \\ \\ P_y &= 10 \cdot C_p \cdot t^x \cdot S^y \cdot V^n \cdot K_p = 10 \cdot 243 \cdot 0,42^{0.9} \cdot 0,3^{0.6} \cdot 271,4^{-0.3} \cdot 1,4 = 134,2 \, H \\ \\ P_x &= 10 \cdot C_p \cdot t^x \cdot S^y \cdot V^n \cdot K_p = 10 \cdot 339 \cdot 0.42^1 \cdot 0,3^{0.5} \cdot 273,4^{-0.4} \cdot 1,4 = 99,6 \, H \end{split}$$

#### Мощность резания:

$$N = \frac{P_z V}{1020 \cdot 60} = \frac{214 \cdot 271,3}{1020 \cdot 60} = 0,94 \,\kappa Bm$$

Для 8 поверхности:

Глубина резания:t=0,44

Подача: S=0,3 [5, с 267, табл.12].

Скорость резания:

$$V = \frac{C_{v}}{T^{m} \cdot t^{x} \cdot S^{y}} \cdot K_{v} = \frac{350 \cdot 0.9}{60^{0.2} \cdot 0.44^{0.15} \cdot 0.3^{0.35}} = 297 \frac{MM}{MUH}$$

$$K_V = K_{MV} \cdot K_{TV} \cdot K_{UV} = 0.9 \cdot 1 \cdot 1 = 0.9$$

 $K_{\mathrm{MV}}$ - коэффициент учитывающий, качество обрабатываемого материала.

$$K_{MV} = K_{\Gamma} \left(\frac{750}{\sigma_B}\right)^{n_V} = 0.9 \cdot \left(\frac{750}{750}\right)^1 = 0.9$$

Частота вращения шпинделя:

$$n = \frac{1000 \cdot V}{\pi \cdot D_{3a2}} = \frac{1000 \cdot 297}{3,14 \cdot 150} = 630$$
 об / мин

Сила резания:

$$\begin{split} P_z &= 10 \cdot C_p \cdot t^x \cdot S^y \cdot V^n \cdot K_p = 10 \cdot 300 \cdot 0,44^1 \cdot 0,3^{0.75} \cdot 297^{-0.15} \cdot 1,1 = 235,4 \, H \\ \\ P_y &= 10 \cdot C_p \cdot t^x \cdot S^y \cdot V^n \cdot K_p = 10 \cdot 243 \cdot 0,44^{0.9} \cdot 0,3^{0.6} \cdot 297^{-0.3} \cdot 1,4 = 129,9 \, H \\ \\ P_x &= 10 \cdot C_p \cdot t^x \cdot S^y \cdot V^n \cdot K_p = 10 \cdot 339 \cdot 0.44^1 \cdot 0,3^{0.5} \cdot 297^{-0.4} \cdot 1,4 = 102,3 \, H \end{split}$$

Мощность резания:

$$N = \frac{P_z V}{1020 \cdot 60} = \frac{235 \cdot 297}{1020 \cdot 60} = 1{,}14 \,\kappa Bm$$

Для 9 поверхности:

Глубина резания:t=0,46

Подача: S=0,3 [5, с 267, табл.12].

Скорость резания:

$$V = \frac{C_{v}}{T^{m} \cdot t^{x} \cdot S^{y}} \cdot K_{v} = \frac{350 \cdot 0.9}{60^{0.2} \cdot 0.46^{0.15} \cdot 0.3^{0.35}} = 263 \frac{MM}{MUH}$$

$$K_V = K_{MV} \cdot K_{TIV} \cdot K_{IIV} = 0.9 \cdot 1.1 = 0.9$$

Кму- коэффициент учитывающий, качество обрабатываемого материала.

$$K_{MV} = K_{\Gamma} \left(\frac{750}{\sigma_{B}}\right)^{n_{V}} = 0.9 \cdot \left(\frac{750}{750}\right)^{1} = 0.9$$

Частота вращения шпинделя:

$$n = \frac{1000 \cdot V}{\pi \cdot D_{aa}} = \frac{1000 \cdot 263}{3,14 \cdot 160} = 523,5$$

Сила резания:

$$P_z = 10 \cdot C_p \cdot t^x \cdot S^y \cdot V^n \cdot K_p = 10 \cdot 300 \cdot 0,46^1 \cdot 0,3^{0,75} \cdot 263^{-0,15} \cdot 1,1 = 246,1 H$$

$$P_{y} = 10 \cdot C_{p} \cdot t^{x} \cdot S^{y} \cdot V^{n} \cdot K_{p} = 10 \cdot 243 \cdot 0,46^{0.9} \cdot 0,3^{0.6} \cdot 263^{-0.3} \cdot 1,4 = 136H$$

$$P_x = 10 \cdot C_p \cdot t^x \cdot S^y \cdot V^n \cdot K_p = 10 \cdot 339 \cdot 0.46^1 \cdot 0.3^{0.5} \cdot 263^{-0.4} \cdot 1.4 = 119.5 H$$

Мощность резания:

$$N = \frac{P_z V}{1020 \cdot 60} = \frac{246 \cdot 263}{1020 \cdot 60} = 1,1 \, \kappa Bm$$

Для 10 поверхности:

Глубина резания:t=0,46

Подача: S=2 [5, с 267, табл.12].

Скорость резания:

$$V = \frac{C_{v}}{T^{m} \cdot t^{x} \cdot S^{y}} \cdot K_{v} = \frac{244 \cdot 0.9}{60^{0.2} \cdot 0.46^{0.23} \cdot 2^{0.30}} = 106 \frac{MM}{MWH}$$

$$K_V = K_{MV} \cdot K_{IIV} \cdot K_{UV} = 0.9 \cdot 1 \cdot 1 = 0.9$$

 $K_{\text{MV}}$ - коэффициент учитывающий, качество обрабатываемого материала.

$$K_{MV} = K_{\Gamma} \left(\frac{750}{\sigma_B}\right)^{n_V} = 0.9 \cdot \left(\frac{750}{750}\right)^1 = 0.9$$

Частота вращения шпинделя:

$$n = \frac{1000 \cdot V}{\pi \cdot D_{_{3a_{c}}}} = \frac{1000 \cdot 106}{3,14 \cdot 170} = 198,5 \ oб /$$
мин

Сила резания:

$$P_z = 10 \cdot C_p \cdot t^x \cdot S^y \cdot V^n \cdot K_p = 10 \cdot 148 \cdot 2^{1,7} \cdot 106^{0,71} \cdot 0,76 = 98671H$$

Мощность резания:

$$N = \frac{P_z V}{1020 \cdot 60} = \frac{98671 \cdot 106}{1020 \cdot 60} = 170,9 \,\kappa Bm$$

7) Сверление.

Глубина резания:

$$t = 0.5D = 0.5 \cdot 80 = 40 \,\text{MM}$$

Подача: S=0,40 мм/мин [5,с 277, табл.25]

Скорость резания:

$$V = \frac{C_{v} \cdot D^{q}}{T^{m} \cdot S^{y}} \cdot K_{v} = \frac{9.8 \cdot 80^{0.40}}{60^{0.20} \cdot 0.4^{0.5}} \cdot 0.9 = 8.72 \frac{MM}{MUH}$$

q,m,y- показатели, влияющие на обрабатываемый материал при сверление.

[5, с 278,табл.28]

$$K_V = K_{MV} \cdot K_{TIV} \cdot K_{UV} = 0.9 \cdot 1.1 = 0.9$$

K<sub>MV</sub>- коэффициент учитывающий, качество обрабатываемого материала.

$$K_{MV} = K_{\Gamma} \left(\frac{750}{\sigma_B}\right)^{n_V} = 0.9 \cdot \left(\frac{750}{750}\right)^1 = 0.9$$

Частота вращения шпинделя:

$$n = \frac{1000 \cdot V}{\pi \cdot D_{_{3ac}}} = \frac{1000 \cdot 8,72}{3,14 \cdot 130} = 21,36$$
 об / мин

Крутящий момент:

$$M_{_{\mathit{KP}}} = 10 \cdot C_{_{M}} \cdot D^{_{q}} \cdot S^{_{y}} \cdot K_{_{p}} = 10 \cdot 0,0345 \cdot 80^{^{2}} \cdot 0,4^{^{0,8}} \cdot 1,1 = 11,65,8 \, H \cdot {_{M}}$$

См, q,у- показатели, зависящие от материала [5, с 280, табл.32]

Мощность резания:

$$N = \frac{M_{\kappa p} n}{9750} = \frac{98671 \cdot 106}{9750} = 10,72 \,\kappa Bm$$

8)Развертывание:

Глубина резания: t=0,6 мм

Подача: t=0,4 мм/мин

Скорость резания:

$$V = \frac{C_{v} \cdot D^{q}}{T^{m} \cdot S^{y}} \cdot K_{v} = \frac{10.5 \cdot 80^{0.3}}{60^{0.20} \cdot 0.6^{0.2} \cdot 0.4^{0.65}} \cdot 0.9 = 31.31 \frac{MM}{MUH}$$

q,m,y- показатели, влияющие на обрабатываемый материал при сверление.

[5, с 278,табл.28]

$$K_V = K_{MV} \cdot K_{TIV} \cdot K_{UV} = 0.9 \cdot 1 \cdot 1 = 0.9$$

 $K_{\mathrm{MV}}$ - коэффициент учитывающий, качество обрабатываемого материала.

$$K_{MV} = K_{\Gamma} \left(\frac{750}{\sigma_{B}}\right)^{n_{V}} = 0.9 \cdot \left(\frac{750}{750}\right)^{1} = 0.9$$

Частота вращения шпинделя:

$$n = \frac{1000 \cdot V}{\pi \cdot D_{aa}} = \frac{1000 \cdot 31{,}31}{3{,}14 \cdot 80} = 124{,}6$$
 об / мин

Крутящий момент:

$$M_{_{\mathit{KP}}} = 10 \cdot C_{_{M}} \cdot D^{_{q}} \cdot t^{_{x}} \cdot S^{_{y}} \cdot K_{_{p}} = 10 \cdot 0,09 \cdot 80^{^{1}} \cdot 0,6^{^{0,9}} \cdot 0,4^{^{0,8}} \cdot 1,1 = 23,97 \, H \cdot \mathsf{M}$$

 $C_{M}$ , q,y- показатели, зависящие от материала [5, с 280, табл.32]

Осевая сила:

$$P_0 = 10 \cdot C_P \cdot t^x \cdot S^y \cdot K_P = 10 \cdot 243 \cdot 0.6^{0.9} \cdot 0.4^{0.8} \cdot 1.1 = 808.3 H$$

Мощность резания:

$$N = \frac{M_{\kappa p}n}{9750} = \frac{23,97 \cdot 124,6}{9750} = 0,3 \,\kappa Bm$$

# 9) Шлифование черновое

Для поверхности 1

Глубина резания:t=0,125мм

Скорость заготовки:  $V_3 = 25 \frac{M}{MUH}$ 

Скорость круга:  $V_{\kappa} = 35 \frac{M}{c}$ 

Продольная подача: S=14

Скорость заготовки, круга и продольной подачи выбираем [ 5, с 301, табл.55].

Мощность резания:

$$N = C_N \cdot V_3^r \cdot t^x \cdot S^y \cdot d^q = 1.3 \cdot 25^{0.75} \cdot 0.125^{0.85} \cdot 14^{0.7} = 14.8 \,\kappa Bm$$

Частота вращения шпинделя:

$$n = \frac{1000 \cdot V}{\pi \cdot D_{eq}} = \frac{1000 \cdot 35}{3,14 \cdot 100} = 111,5$$

Для поверхности 3

Глубина резания:t=0,115

Скорость заготовки:  $V_3 = 25 \frac{M}{MUH}$ 

Скорость круга:  $V_{\kappa} = 35 \frac{M}{c}$ 

Продольная подача: S=14

Скорость заготовки, круга и продольной подачи выбираем [ 5, с 301, табл.55].

Мощность резания:

$$N = C_N \cdot V_3^r \cdot t^x \cdot S^y \cdot d^q = 1,3 \cdot 25^{0,75} \cdot 0,115^{0,85} \cdot 14^{0,7} = 8,72 \kappa Bm$$

Частота вращения шпинделя:

$$n = \frac{1000 \cdot V}{\pi \cdot D_{3ac}} = \frac{1000 \cdot 35}{3,14 \cdot 120} = 92,8$$

## 8) Шлифование черновое

Для поверхности 6

Глубина резания:t=0,10

Скорость заготовки: [5,с 301, табл.55]

$$V_3 = 25 \frac{M}{MUH}$$

Скорость круга: [5,с 301, табл.55]

$$V_{\kappa} = 35 \frac{M}{c}$$

Продольная подача: [5,с 301, табл.55]

S = 14

Скорость заготовки, круга и продольной подачи выбираем [ 5, с 301, табл.55].

Мощность резания:

$$N = C_N \cdot V_3^r \cdot t^x \cdot S^y \cdot d^q = 1,3 \cdot 25^{0.75} \cdot 0,10^{0.85} \cdot 14^{0.7} = 12,2 \kappa Bm$$

Частота вращения шпинделя:

$$n = \frac{1000 \cdot V}{\pi \cdot D_{3ac}} = \frac{1000 \cdot 35}{3,14 \cdot 135} = 82,5$$

Для поверхности 8

Глубина резания:t=0,11

Скорость заготовки: [5,с 301, табл.55]

$$V_3 = 25 \frac{M}{MUH}$$

Скорость круга: [5,с 301, табл.55]

$$V_{\kappa} = 35 \frac{M}{c}$$

Продольная подача: [5,с 301, табл.55]

S=14

Скорость заготовки, круга и продольной подачи выбираем [ 5, с 301, табл.55].

Мощность резания:

$$N = C_N \cdot V_3^r \cdot t^x \cdot S^y \cdot d^q = 1.3 \cdot 25^{0.75} \cdot 0.11^{0.85} \cdot 14^{0.7} = 13 \kappa Bm$$

Частота вращения шпинделя:

$$n = \frac{1000 \cdot V}{\pi \cdot D_{3az}} = \frac{1000 \cdot 35}{3,14 \cdot 150} = 74,6$$

Для поверхности 9

Глубина резания:t=0,13

Скорость заготовки:  $V_3 = 25 \frac{M}{MUH}$ 

Скорость круга: 
$$V_{\kappa} = 35 \frac{M}{c}$$

Продольная подача: S=14

Скорость заготовки, круга и продольной подачи выбираем [ 5, с 301, табл.55].

Мощность резания:

$$N = C_N \cdot V_3^r \cdot t^x \cdot S^y \cdot d^q = 1.3 \cdot 25^{0.75} \cdot 0.13^{0.85} \cdot 14^{0.7} = 15 \kappa Bm$$

Частота вращения шпинделя:

$$n = \frac{1000 \cdot V}{\pi \cdot D_{sas}} = \frac{1000 \cdot 35}{3,14 \cdot 160} = 69,6$$

# 9) Шлифование чистовое

Для поверхности 1

Глубина резания:t=0,05

Скорость заготовки:  $V_3 = 20 \frac{M}{MUH}$ 

Скорость круга:  $V_{\kappa} = 30 \frac{M}{c}$ 

Продольная подача: S=6

Скорость заготовки, круга и продольной подачи выбираем [ 5, с 301, табл.55].

Мощность резания:

$$N = C_N \cdot V_3^r \cdot t^x \cdot S^y \cdot d^q = 1.3 \cdot 20^{0.75} \cdot 0.05^{0.85} \cdot 6^{0.7} = 3.2 \kappa Bm$$

Частота вращения шпинделя:

$$n = \frac{1000 \cdot V}{\pi \cdot D_{aa}} = \frac{1000 \cdot 30}{3,14 \cdot 100} = 95,5$$

Для поверхности 3

Глубина резания:t=0,055

Скорость заготовки:

$$V_3 = 20 \frac{M}{MuH}$$

Скорость круга: [5,с 301, табл.55]

$$V_{\kappa} = 30 \frac{M}{c}$$

Продольная подача: S=6

Скорость заготовки, круга и продольной подачи выбираем [ 5, с 301, табл.55].

Мощность резания:

$$N = C_N \cdot V_3^r \cdot t^x \cdot S^y \cdot d^q = 1,3 \cdot 20^{0.75} \cdot 0,055^{0.85} \cdot 6^{0.7} = 3,4 \kappa Bm$$

Частота вращения шпинделя:

$$n = \frac{1000 \cdot V}{\pi \cdot D_{3ac}} = \frac{1000 \cdot 20}{3,14 \cdot 120} = 53,07$$

10) Шлифование чистовое:

Для поверхности 8

Глубина резания:t=0,055

Скорость заготовки: [5,с 301, табл.55]

$$V_3 = 20 \frac{M}{MuH}$$

Скорость круга: [5,с 301, табл.55]

$$V_{\kappa} = 30 \frac{M}{c}$$

Продольная подача: [5,с 301, табл.55]

S=6

Скорость заготовки, круга и продольной подачи выбираем [ 5, с 301, табл.55].

Мощность резания:

$$N = C_N \cdot V_3^r \cdot t^x \cdot S^y \cdot d^q = 1,3 \cdot 20^{0.75} \cdot 0,055^{0.85} \cdot 6^{0.7} = 3,4 \kappa Bm$$

Частота вращения шпинделя:

$$n = \frac{1000 \cdot V}{\pi \cdot D_{3ac}} = \frac{1000 \cdot 30}{3,14 \cdot 150} = 64$$

Для поверхности 9

Глубина резания:t=0,06

Скорость заготовки: [5,с 301, табл.55]

$$V_3 = 20 \frac{M}{MUH}$$

Скорость круга: [5,с 301, табл.55]

$$V_{\kappa} = 30 \frac{M}{c}$$

Продольная подача: S=6

Скорость заготовки, круга и продольной подачи выбираем [ 5, с 301, табл.55].

Мощность резания:

$$N = C_N \cdot V_3^r \cdot t^x \cdot S^y \cdot d^q = 1,3 \cdot 20^{0,75} \cdot 0,06^{0,85} \cdot 6^{0,7} = 3,7 \,\kappa Bm$$

Частота вращения шпинделя:

$$n = \frac{1000 \cdot V}{\pi \cdot D_{3ac}} = \frac{1000 \cdot 30}{3,14 \cdot 160} = 59,7$$

11) Шлифование( тонкое):

# Для поверхности 3

Глубина резания:t=0,018

Скорость заготовки: [5,с 301, табл.55]

$$V_3 = 1.0 \frac{M}{MuH}$$

Скорость круга: [5,с 301, табл.55]

$$V_{\kappa} = 20 \frac{M}{c}$$

Скорость заготовки, круга [ 5, с 301, табл.55].

Мощность резания:

$$N = C_N \cdot V_3^r \cdot t^x = 1,3 \cdot 1,0^{0.75} \cdot 0,018^{0.85} = 0,04 \,\kappa Bm$$

Частота вращения шпинделя:

$$n = \frac{1000 \cdot V}{\pi \cdot D_{3ac}} = \frac{1000 \cdot 1}{3,14 \cdot 120} = 2,65$$

Для поверхности 9

Глубина резания:t=0,02

Скорость заготовки: [5,с 301, табл.55]

$$V_3 = 1.0 \frac{M}{MUH}$$

Скорость круга: [5,с 301, табл.55]

$$V_{\kappa} = 20 \frac{M}{c}$$

Скорость заготовки, круга [ 5, с 301, табл.55].

Мощность резания:

$$N = C_N \cdot V_3^r \cdot t^x = 1,3 \cdot 1,0^{0.75} \cdot 0,02^{0.85} = 0,046 \,\kappa Bm$$

Частота вращения шпинделя:

$$n = \frac{1000 \cdot V}{\pi \cdot D_{3az}} = \frac{1000 \cdot 1}{3,14 \cdot 150} = 2,12$$

Для поверхности 9:

Частота вращения шпинделя:

$$n = \frac{1000 \cdot V}{\pi \cdot D_{3ac}} = \frac{1000 \cdot 1}{3,14 \cdot 160} = 1,99$$

### 2.9.2 Нормы времени

#### 1) подрезная операция:

Машинное время:

$$T_o = 0.19D^2 \cdot 10^{-3} = 0.19 \cdot 260^2 \cdot 10^{-3} = 12.8$$
 мин

Штучно-калькуляционное время:

$$T_{um-\kappa} = T_0 \cdot \varphi = 12,8 \cdot 1,41 = 18$$
 мин

Ф-коэффициент, влияющий на тип станка и тип производства[6,с. 147, табл.11].

2)Точение черновое:

Для поверхности 1:

Машинное время:

$$T_o = 0,17 d \cdot l \cdot 10^{-3} = 0,17 \cdot 100 \cdot 32 \cdot 10^{-3} = 0,54$$
 мин

$$T_{um-\kappa} = T_0 \cdot \varphi = 0,54 \cdot 1,36 = 0,73$$
 мин

Для поверхности 2:

Машинное время:

$$T_o = 0,\!17d \cdot l \cdot \!10^{-3} = 0,\!17 \cdot \!110 \cdot \!43 \cdot \!10^{-3} = 0,\!80$$
 мин

Штучно-калькуляционное время:

$$T_{um-\kappa} = T_0 \cdot \varphi = 0.80 \cdot 1.36 = 1.08$$
 мин

Ф-коэффициент, влияющий на тип станка и тип производства[6,с. 147, табл.11].

Для поверхности 3:

Машинное время:

$$T_o = 0,\!17d \cdot l \cdot 10^{-3} = 0,\!17 \cdot 120,\!35 \cdot 133,\!26 \cdot 10^{-3} = 2,\!72$$
 мин

$$T_{uon-\kappa} = T_0 \cdot \varphi = 2,72 \cdot 1,36 = 3,69$$
 мин

Для поверхности 4:

Машинное время:

$$T_o = 0,\!17d \cdot l \cdot 10^{-3} = 0,\!17 \cdot 125,\!35 \cdot 135,\!26 \cdot 10^{-3} = 2,\!88$$
 мин

Штучно-калькуляционное время:

$$T_{um-\kappa} = T_0 \cdot \varphi = 2,88 \cdot 1,36 = 3,91$$
 мин

ф-коэффициент, влияющий на тип станка и тип производства[6,с. 147, табл.11].

Для поверхности 5:

Машинное время:

$$T_o = 0.17 d \cdot l \cdot 10^{-3} = 0.17 \cdot 130,35 \cdot 35,26 \cdot 10^{-3} = 0.78$$
 мин

$$T_{uon-\kappa} = T_0 \cdot \varphi = 0.78 \cdot 1.36 = 1.06$$
 мин

Ф-коэффициент, влияющий на тип станка и тип производства[6,с. 147, табл.11]. Для поверхности 6: Машинное время:  $T_o = 0,\!17d \cdot l \cdot 10^{-3} = 0,\!17 \cdot 135,\!35 \cdot 122,\!26 \cdot 10^{-3} = 2,\!81$  мин Штучно-калькуляционное время:  $T_{um-\kappa} = T_0 \cdot \varphi = 2,81 \cdot 1,36 = 3,82$  мин Ф-коэффициент, влияющий на тип станка и тип производства[6,с. 147, табл.11]. Для поверхности 7: Машинное время:  $T_o = 0.17 d \cdot l \cdot 10^{-3} = 0.17 \cdot 140.35 \cdot 35.26 \cdot 10^{-3} = 0.84$  мин

$$T_{um-\kappa} = T_0 \cdot \varphi = 0.84 \cdot 1.36 = 1.14$$
 мин

Для поверхности 8:

Машинное время:

$$T_o = 0,17d \cdot l \cdot 10^{-3} = 0,17 \cdot 150,35 \cdot 140,26 \cdot 10^{-3} = 3,58$$
 мин

Штучно-калькуляционное время:

$$T_{um-\kappa} = T_0 \cdot \varphi = 3,58 \cdot 1,36 = 4,86$$
 мин

ф-коэффициент, влияющий на тип станка и тип производства[6,с. 147, табл.11].

Для поверхности 9:

Машинное время:

$$T_o = 0.17d \cdot l \cdot 10^{-3} = 0.17 \cdot 160.35 \cdot 58.26 \cdot 10^{-3} = 1.58$$
 мин

Ф-коэффициент, влияющий на тип станка и тип производства[6,с. 147, табл.11].

Штучно-калькуляционное время:

$$T_{um-\kappa} = T_0 \cdot \varphi = 1,58 \cdot 1,36 = 2,15$$
 мин

Для поверхности 10:

Машинное время:

$$T_o = 0,17 d \cdot l \cdot 10^{-3} = 0,17 \cdot 170,35 \cdot 45,26 \cdot 10^{-3} = 1,31$$
 мин

Штучно-калькуляционное время:

$$T_{um-\kappa} = T_0 \cdot \varphi = 2,88 \cdot 1,36 = 3,91$$
 мин

Ф-коэффициент, влияющий на тип станка и тип производства[6,с. 147, табл.11].

Для поверхности 11:

Машинное время:

$$T_o = 0,17d \cdot l \cdot 10^{-3} = 0,17 \cdot 260,45 \cdot 35,26 \cdot 10^{-3} = 1,56$$
 мин

$$T_{um-\kappa} = T_0 \cdot \varphi = 2,88 \cdot 1,36 = 3,91$$
 мин

Для поверхности 12:

Машинное время:

$$T_o = 0.17d \cdot l \cdot 10^{-3} = 0.17 \cdot 197,24 \cdot 19,26 \cdot 10^{-3} = 0.64$$
 мин

Штучно-калькуляционное время:

$$T_{um-\kappa} = T_0 \cdot \varphi = 0.64 \cdot 1.36 = 0.87$$
 мин

ф-коэффициент, влияющий на тип станка и тип производства[6,с. 147, табл.11].

3)Токарная чистовая:

Для поверхности 1:

Машинное время:

$$T_o = 0.17 d \cdot l \cdot 10^{-3} = 0.17 \cdot 100,087 \cdot 32,17 \cdot 10^{-3} = 0.54$$
 мин

$$T_{um-\kappa} = T_0 \cdot \varphi = 0.54 \cdot 1.36 = 0.73$$
 мин

Для поверхности 2:

Машинное время:

$$T_o = 0.19d \cdot l \cdot 10^{-3} = 0.19 \cdot 110,087 \cdot 45,17 \cdot 10^{-3} = 0.94$$
 мин

Штучно-калькуляционное время:

$$T_{um-\kappa} = T_0 \cdot \varphi = 0,94 \cdot 1,36 = 1,28$$
 мин

 $\phi$ -коэффициент, влияющий на тип станка и тип производства[6,с. 147, табл.11].

Для поверхности 3:

Машинное время:

$$T_o = 0,17 d \cdot l \cdot 10^{-3} = 0,17 \cdot 120,087 \cdot 130,17 \cdot 10^{-3} = 2,65$$
 мин

$$T_{um-\kappa} = T_0 \cdot \varphi = 2,65 \cdot 1,36 = 3,6$$
 мин

Для поверхности 5:

Машинное время:

$$T_o = 0.19d \cdot l \cdot 10^{-3} = 0.19 \cdot 130.1 \cdot 35.17 \cdot 10^{-3} = 0.86$$
 мин

Штучно-калькуляционное время:

$$T_{um-\kappa} = T_0 \cdot \varphi = 0,86 \cdot 1,36 = 1,17$$
 мин

 $\phi$ -коэффициент, влияющий на тип станка и тип производства[6,с. 147, табл.11].

Для поверхности 6:

Машинное время:

$$T_o = 0,17d \cdot l \cdot 10^{-3} = 0,17 \cdot 135,1 \cdot 122,17 \cdot 10^{-3} = 2,8$$
 мин

$$T_{um-\kappa} = T_0 \cdot \varphi = 2,8 \cdot 1,36 = 3,8$$
 мин

Для поверхности 7:

Машинное время:

$$T_o = 0.19d \cdot l \cdot 10^{-3} = 0.19 \cdot 140.1 \cdot 36.17 \cdot 10^{-3} = 0.96$$
 мин

Штучно-калькуляционное время:

$$T_{um-\kappa} = T_0 \cdot \varphi = 0.96 \cdot 1.36 = 1.3 \text{ MUH}$$

Ф-коэффициент, влияющий на тип станка и тип производства[6,с. 147, табл.11].

Для поверхности 8:

Машинное время:

$$T_o = 0,17d \cdot l \cdot 10^{-3} = 0,17 \cdot 150,1 \cdot 140,17 \cdot 10^{-3} = 3,6$$
 мин

$$T_{um-\kappa} = T_0 \cdot \varphi = 3,6 \cdot 1,36 = 4,89$$
 мин

Для поверхности 9:

Машинное время:

$$T_o = 0,17d \cdot l \cdot 10^{-3} = 0,17 \cdot 160,1 \cdot 58,17 \cdot 10^{-3} = 1,58$$
 мин

Штучно-калькуляционное время:

$$T_{um-\kappa} = T_0 \cdot \varphi = 1,58 \cdot 1,36 = 2,14$$
 мин

φ-коэффициент, влияющий на тип станка и тип производства[6,с. 147, табл.11].

Для поверхности 10:

Машинное время:

$$T_o = 0,19d \cdot l \cdot 10^{-3} = 0,19 \cdot 170,1 \cdot 45,17 \cdot 10^{-3} = 1,45$$
 мин

$$T_{um-\kappa} = T_0 \cdot \varphi = 1,45 \cdot 1,36 = 1,97$$
 мин

Для поверхности 12:

Машинное время:

$$T_o = 0,17d \cdot l \cdot 10^{-3} = 0,17 \cdot 196,86 \cdot 19,17 \cdot 10^{-3} = 0,64$$
 мин

Штучно-калькуляционное время:

$$T_{um-\kappa} = T_0 \cdot \varphi = 0.64 \cdot 1.36 = 0.87 \text{ мин}$$

ф-коэффициент, влияющий на тип станка и тип производства[6,с. 147, табл.11].

3) Сверление

Для поверхности 41

Машинное время:

$$T_o = 0.2d \cdot l \cdot 10^{-3} = 0.2 \cdot 80.3 \cdot 868.35 \cdot 10^{-3} = 13.9$$
 мин

$$T_{um-\kappa} = T_0 \cdot \varphi = 13,9 \cdot 1,41 = 19,59$$
 мин

4)Расточная черновая

Для поверхности 42

Машинное время:

$$T_o = 0.18d \cdot l \cdot 10^{-3} = 0.18 \cdot 100.3 \cdot 85.35 \cdot 10^{-3} = 1.54$$
 мин

Штучно-калькуляционное время:

$$T_{um-\kappa} = T_0 \cdot \varphi = 1,54 \cdot 1,58 = 2,43$$
 мин

Ф-коэффициент, влияющий на тип станка и тип производства[6,с. 147, табл.11].

Для поверхности 43

Машинное время:

$$T_o = 0.18d \cdot l \cdot 10^{-3} = 0.18 \cdot 125, 3 \cdot 30, 35 \cdot 10^{-3} = 0.68$$
 мин

$$T_{um-\kappa} = T_0 \cdot \varphi = 1,54 \cdot 0,68 = 1,04$$
 мин

5) Фрезерная

Для шпоночного паза

Машинное время:

$$T_o = 6l \cdot 10^{-3} = 6 \cdot 100, 2 \cdot 10^{-3} = 0,6$$
 мин

Штучно-калькуляционное время:

$$T_{um-\kappa} = T_0 \cdot \varphi = 0,6 \cdot 1,51 = 0,9$$
 мин

Ф-коэффициент, влияющий на тип станка и тип производства[6,с. 147, табл.11].

6) Растачивание чистовое:

Для поверхности 41

Машинное время:

$$T_o = 0.18d \cdot l \cdot 10^{-3} = 0.18 \cdot 80.054 \cdot 150.1 \cdot 10^{-3} = 2.16$$
 мин

Штучно-калькуляционное время:

$$T_{um-\kappa} = T_0 \cdot \varphi = 2,16 \cdot 1,58 = 3,4$$
 мин

ф-коэффициент, влияющий на тип станка и тип производства[6,с. 147, табл.11].

7) Шлифование черновое

Для поверхности 1

Машинное время:

$$T_o = 0.1d \cdot l \cdot 10^{-3} = 0.1 \cdot 100,054 \cdot 32,097 \cdot 10^{-3} = 0.32$$
 мин

Штучно-калькуляционное время:

$$T_{um-\kappa} = T_0 \cdot \varphi = 0.32 \cdot 1.55 = 0.50 \,\text{мин}$$

ф-коэффициент, влияющий на тип станка и тип производства[6,с. 147, табл.11].

Для поверхности 3

Машинное время:

$$T_o = 0.1d \cdot l \cdot 10^{-3} = 0.1 \cdot 120,054 \cdot 133,097 \cdot 10^{-3} = 1,59$$
 мин

Штучно-калькуляционное время:

$$T_{um-\kappa} = T_0 \cdot \varphi = 1,59 \cdot 1,55 = 2,46$$
 мин

ф-коэффициент, влияющий на тип станка и тип производства[6,с. 147, табл.11].

Для поверхности 6

Машинное время:

$$T_o = 0.1d \cdot l \cdot 10^{-3} = 0.1 \cdot 135,063 \cdot 122,097 \cdot 10^{-3} = 1,64$$
 мин

Штучно-калькуляционное время:

$$T_{um-\kappa} = T_0 \cdot \varphi = 1,64 \cdot 1,55 = 2,54 \,\text{мин}$$

ф-коэффициент, влияющий на тип станка и тип производства[6,с. 147, табл.11].

Для поверхности 8

Машинное время:

$$T_o = 0.1d \cdot l \cdot 10^{-3} = 0.1 \cdot 135,063 \cdot 122,097 \cdot 10^{-3} = 1,64$$
 мин

Штучно-калькуляционное время:

$$T_{um-\kappa} = T_0 \cdot \varphi = 1,64 \cdot 1,55 = 2,54$$
 мин

ф-коэффициент, влияющий на тип станка и тип производства[6,с. 147, табл.11].

Для поверхности 9

Машинное время:

$$T_o = 0.1d \cdot l \cdot 10^{-3} = 0.1 \cdot 160,063 \cdot 58,097 \cdot 10^{-3} = 0.92$$
 мин

Штучно-калькуляционное время:

$$T_{um-\kappa} = T_0 \cdot \varphi = 0.92 \cdot 1.55 = 1.42 \,\text{мин}$$

φ-коэффициент, влияющий на тип станка и тип производства[6,с. 147, табл.11].

8) Шлифование чистовое

Для поверхности 1

Машинное время:

$$T_o = 0.15d \cdot l \cdot 10^{-3} = 0.15 \cdot 100,022 \cdot 32 \cdot 10^{-3} = 0.48$$
 мин

Штучно-калькуляционное время:

$$T_{um-\kappa} = T_0 \cdot \varphi = 0.48 \cdot 1.55 = 0.74$$
 мин

ф-коэффициент, влияющий на тип станка и тип производства[6,с. 147, табл.11].

Для поверхности 3

Машинное время:

$$T_o = 0.15 d \cdot l \cdot 10^{-3} = 0.15 \cdot 120,022 \cdot 133 \cdot 10^{-3} = 2,39$$
 мин

Штучно-калькуляционное время:

$$T_{um-\kappa} = T_0 \cdot \varphi = 2,39 \cdot 1,55 = 3,7 \text{ мин}$$

ф-коэффициент, влияющий на тип станка и тип производства[6,с. 147, табл.11].

Для поверхности 8

Машинное время:

$$T_o = 0,\!15d \cdot l \cdot \!10^{-3} = 0,\!15 \cdot \!135,\!025 \cdot \!122 \cdot \!10^{-3} = 2,\!47$$
 мин

Штучно-калькуляционное время:

$$T_{um-\kappa} = T_0 \cdot \varphi = 2,47 \cdot 1,55 = 3,82$$
 мин

φ-коэффициент, влияющий на тип станка и тип производства[6,с. 147, табл.11].

Для поверхности 9

Машинное время:

$$T_o = 0.15 d \cdot l \cdot 10^{-3} = 0.15 \cdot 160,025 \cdot 58 \cdot 10^{-3} = 1,39$$
 мин

Штучно-калькуляционное время:

$$T_{um-\kappa} = T_0 \cdot \varphi = 1,39 \cdot 1,55 = 2,15$$
 мин

ф-коэффициент, влияющий на тип станка и тип производства[6,с. 147, табл.11].

# 3. Проектирование приспособления

## 3.1. Исходные данные

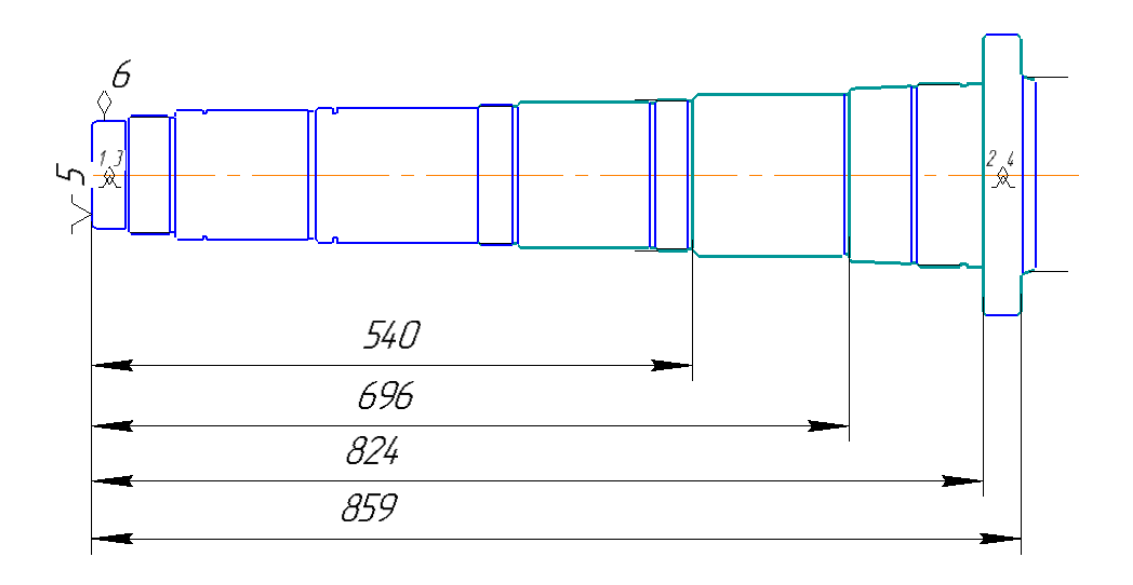


Рисунок 3.1 Операционный эскиз⁵.

Таблица 3.1

Скорость резания м/мин	Подача мм/об	Припуск мм
271,3	0,3	0,43
109,9	2	0,42
292	0,3	0,44
263	0,3	0,46
106	2	0,46

Геометрия резца:

$$\varphi = 45$$

$$\gamma = -4$$

<sup>&</sup>lt;sup>5</sup> Рисунок выполнен автором.

### 3.2. Расчет сил резания

При наружном продольном точении составляющие  $P_z$  и  $P_y$ рассчитываются по формуле:

$$P_{zy} = 10C_p t^x S^Y V^n K_p \tag{3.2}$$

где:  $C_p$ , X, Y, n- постоянная и показатели для разных мех.обработок.

Для 7 поверхности:

Глубина резания:t=0,42

Подача: S=2

Скорость резания:

$$V = \frac{C_{v}}{T^{m} \cdot t^{x} \cdot S^{y}} \cdot K_{v} = \frac{244 \cdot 0.9}{60^{0.2} \cdot 0.42^{0.23} \cdot 2^{0.30}} = 109.9 \frac{MM}{MUH}$$

$$K_V = K_{MV} \cdot K_{IIV} \cdot K_{UV} = 0.9 \cdot 1 \cdot 1 = 0.9$$

 $\mathsf{K}_{\mathsf{MV}^-}$  коэффициент учитывающий, качество обрабатываемого материала.

$$K_{MV} = K_{\Gamma} \left(\frac{750}{\sigma_{R}}\right)^{n_{V}} = 0.9 \cdot \left(\frac{750}{750}\right)^{1} = 0.9$$

Сила резания:

$$P_z = 10 \cdot C_p \cdot t^x \cdot S^y \cdot V^n \cdot K_p = 10 \cdot 148 \cdot 2^{1.7} \cdot 109,9^{0.71} \cdot 0,76 = 102325H$$

Для 6 поверхности:

Глубина резания:t=0,43

Подача: S=0,3

Скорость резания:

$$V = \frac{C_{\nu}}{T^m \cdot t^x \cdot S^y} \cdot K_{\nu} = \frac{350 \cdot 1}{60^{0.2} \cdot 0.4^{0.15} \cdot 0.3^{0.35}} = 271.3 \frac{MM}{MUH}$$

Сила резания:

$$P_z = 10 \cdot C_p \cdot t^x \cdot S^y \cdot V^n \cdot K_p = 10 \cdot 300 \cdot 0,42^1 \cdot 0,3^{0.75} \cdot 271,3^{-0.15} \cdot 1,1 = 214 H$$

$$P_{y} = 10 \cdot C_{p} \cdot t^{x} \cdot S^{y} \cdot V^{n} \cdot K_{p} = 10 \cdot 243 \cdot 0,42^{0.9} \cdot 0,3^{0.6} \cdot 271,4^{-0.3} \cdot 1,4 = 134,2 H$$

Для 8 поверхности:

Глубина резания:t=0,44

Подача: S=0,3

Скорость резания:

$$V = \frac{C_{v}}{T^{m} \cdot t^{x} \cdot S^{y}} \cdot K_{v} = \frac{350 \cdot 0.9}{60^{0.2} \cdot 0.44^{0.15} \cdot 0.3^{0.35}} = 297 \frac{MM}{MUH}$$

$$K_V = K_{MV} \cdot K_{TIV} \cdot K_{UV} = 0.9 \cdot 1 \cdot 1 = 0.9$$

 $K_{\text{MV}^-}$  коэффициент учитывающий, качество обрабатываемого материала.

$$K_{MV} = K_{\Gamma} \left(\frac{750}{\sigma_B}\right)^{n_V} = 0.9 \cdot \left(\frac{750}{750}\right)^1 = 0.9$$

### Сила резания:

$$P_z = 10 \cdot C_p \cdot t^x \cdot S^y \cdot V^n \cdot K_p = 10 \cdot 300 \cdot 0,44^1 \cdot 0,3^{0.75} \cdot 297^{-0.15} \cdot 1,1 = 235,4 H$$

$$P_{y} = 10 \cdot C_{p} \cdot t^{x} \cdot S^{y} \cdot V^{n} \cdot K_{p} = 10 \cdot 243 \cdot 0,44^{0.9} \cdot 0,3^{0.6} \cdot 297^{-0.3} \cdot 1,4 = 129.9 H$$

$$P_x = 10 \cdot C_p \cdot t^x \cdot S^y \cdot V^n \cdot K_p = 10 \cdot 339 \cdot 0.44^1 \cdot 0.3^{0.5} \cdot 297^{-0.4} \cdot 1.4 = 102.3 H$$

Для 9 поверхности:

Глубина резания:t=0,46

Подача: S=0,3

Скорость резания:

$$V = \frac{C_{v}}{T^{m} \cdot t^{x} \cdot S^{y}} \cdot K_{v} = \frac{350 \cdot 0.9}{60^{0.2} \cdot 0.46^{0.15} \cdot 0.3^{0.35}} = 263 \frac{MM}{MUH}$$

$$K_V = K_{MV} \cdot K_{TIV} \cdot K_{UV} = 0.9 \cdot 1 \cdot 1 = 0.9$$

 $\mathsf{K}_{\mathsf{MV}^-}$  коэффициент учитывающий, качество обрабатываемого материала.

$$K_{MV} = K_{\Gamma} \left(\frac{750}{\sigma_B}\right)^{n_V} = 0.9 \cdot \left(\frac{750}{750}\right)^1 = 0.9$$

### Сила резания:

$$P_z = 10 \cdot C_p \cdot t^x \cdot S^y \cdot V^n \cdot K_p = 10 \cdot 300 \cdot 0,46^1 \cdot 0,3^{0,75} \cdot 263^{-0,15} \cdot 1,1 = 246,1 H$$

$$P_{y} = 10 \cdot C_{p} \cdot t^{x} \cdot S^{y} \cdot V^{n} \cdot K_{p} = 10 \cdot 243 \cdot 0,46^{0.9} \cdot 0,3^{0.6} \cdot 263^{-0.3} \cdot 1,4 = 136 H$$

$$P_x = 10 \cdot C_p \cdot t^x \cdot S^y \cdot V^n \cdot K_p = 10 \cdot 339 \cdot 0.46^1 \cdot 0.3^{0.5} \cdot 263^{-0.4} \cdot 1.4 = 119.5 H$$

Для 10 поверхности:

Глубина резания:t=0,46

Подача: S=2

Скорость резания:

$$V = \frac{C_{v}}{T^{m} \cdot t^{x} \cdot S^{y}} \cdot K_{v} = \frac{244 \cdot 0.9}{60^{0.2} \cdot 0.46^{0.23} \cdot 2^{0.30}} = 106 \frac{MM}{MUH}$$

$$K_V = K_{MV} \cdot K_{IIV} \cdot K_{UV} = 0.9 \cdot 1 \cdot 1 = 0.9$$

 $K_{MV^-}$  коэффициент учитывающий, качество обрабатываемого материала.

$$K_{MV} = K_{\Gamma} \left(\frac{750}{\sigma_B}\right)^{n_V} = 0.9 \cdot \left(\frac{750}{750}\right)^1 = 0.9$$

Сила резания:

$$P_z = 10 \cdot C_p \cdot t^x \cdot S^y \cdot V^n \cdot K_p = 10 \cdot 148 \cdot 2^{1,7} \cdot 106^{0,71} \cdot 0,76 = 98671H$$

#### 3.3. Расчет усилия зажима

В процессе обработки заготовки на нее воздействует система сил. С одной стороны действует внешние силы, которые стремятся вырвать заготовку из кулачков, с другой - сила зажима препятствующая этому. Из условия равновесия моментов данных сил и с учетом коэффициента запаса определяются необходимые зажимное и исходное усилие.

$$\sum M = 0 \tag{3.3}$$

$$M_p + M_3 = 0 (3.4)$$

В процессе выполнения задания выберем консольную схему закрепления заготовки в кулачковом паводковом патроне.

Суммарный крутящий момент от касательной составляющей силы резания стремиться провернуть заготовку в кулачках.

$$M_{p} = \left(P_{z6} \cdot \frac{d_{6}}{2}\right) + \left(P_{z7} \cdot \frac{d_{7}}{2}\right) + \left(P_{z8} \cdot \frac{d_{8}}{2}\right) + \left(P_{z9} \cdot \frac{d_{9}}{2}\right) + \left(P_{z10} \cdot \frac{d_{10}}{2}\right) + \left(P_{z12} \cdot \frac{d_{12}}{2}\right) = 1457070,1$$

$$M_{_3} = T \cdot \frac{d_2}{2} = \frac{W \cdot F \cdot d_6}{2} \tag{3.5}$$

W-суммарное усилие зажима.

f- коэффициент трения на рабочей поверхности сменного кулачка.

$$P_z \cdot d_1 = \frac{\omega \cdot f \cdot d_6}{2} \tag{3.6}$$

Из равенства моментов  $M_p$  и  $M_3$  определим необходимое усилие зажима, препятствующее провороту заготовки в кулачках.

$$W = \frac{P_z \cdot d_6 \cdot 2}{F d_1} \cdot K = \frac{11801, 7 \cdot 73 \cdot 2}{0, 3 \cdot 100} \cdot 2, 5 = 57434, 9 H$$

 $K = K_0K_1K_2K_3K_4K_5K_6(3.7)$ 

К-коэффициент запаса.

Ко- гарантированный коэффициент запаса.

 $K_1$ -коэффициент учитывающий увеличение сил резания из-за случайных неровностей на обрабатываемых поверхностях заготовки.

К<sub>2</sub>- коэффициент учитывающий увеличение сил резания вследствие затупления режущего инструмента.

К<sub>3</sub>- учитывает увеличение сил резания при прерывистом резании.

 $K_4$ - характеризует постоянство силы, развиваемой зажимным механизмом.

 $K_5$ -характеризует эргономику немеханизированного зажимного механизма.

 $K_6$ - вводиться в расчет только при наличии моментов, стремящихся вернуть заготовку, установленную плоской технологической базой на опоры-штыри.

Значения коэффициентов [7, с 20, прил.7].

Сила  $P_y$  стремиться вывернуть заготовку из кулачков, создавая момент:

$$M_p = P_{y6} \cdot l_6 + P_{y8} \cdot l_8 + P_{y9} \cdot l_9 + P_{y10} \cdot l_{10} + P_{y12} \cdot l_{12}$$
(3.8)

Подставим исходные данные в формулу 3.7.

$$M_{_{P}} = 112,98 \cdot 540 + 110,98 \cdot 696 + 120,35 \cdot 824 + 120,35 \cdot 859 = 340800,3H \cdot \textit{m}$$

Данному моменту препятствует момент от силы зажима.

$$M_{3} = T \cdot \frac{2}{3} d_{1} = \frac{2}{3} W f d_{1}$$

$$\frac{2}{3} W f d_{1} = P_{y6}^{i} \cdot l_{6} + P_{y8}^{ii} \cdot l_{8} + P_{y9}^{i} \cdot l_{9} + P_{y12}^{ii} \cdot l_{12}$$

$$(3.10)$$

$$W = \frac{(P_{y6}^{i} \cdot l_{6} + P_{y8}^{ii} \cdot l_{8} + P_{y9}^{i} \cdot l_{9} + P_{12}^{ii} \cdot l_{12})1,5K}{f \cdot d_{1}} = 46008,04H$$

Величина усилия зажима  $W_1$  прикладываемая к постоянным кулачкам несколько увеличивается по сравнению с усилием W.

$$W_1 = \frac{W}{(1 - (3l_k/H_k) \cdot f_1)} = \frac{57434.9}{(1 - (3 \cdot 50/84) \cdot 0.3)} = 124858.4 H$$
(3.11)

 $l_k$ -вылет кулачка.

H<sub>k</sub>-длина направляющих постоянного кулачка.

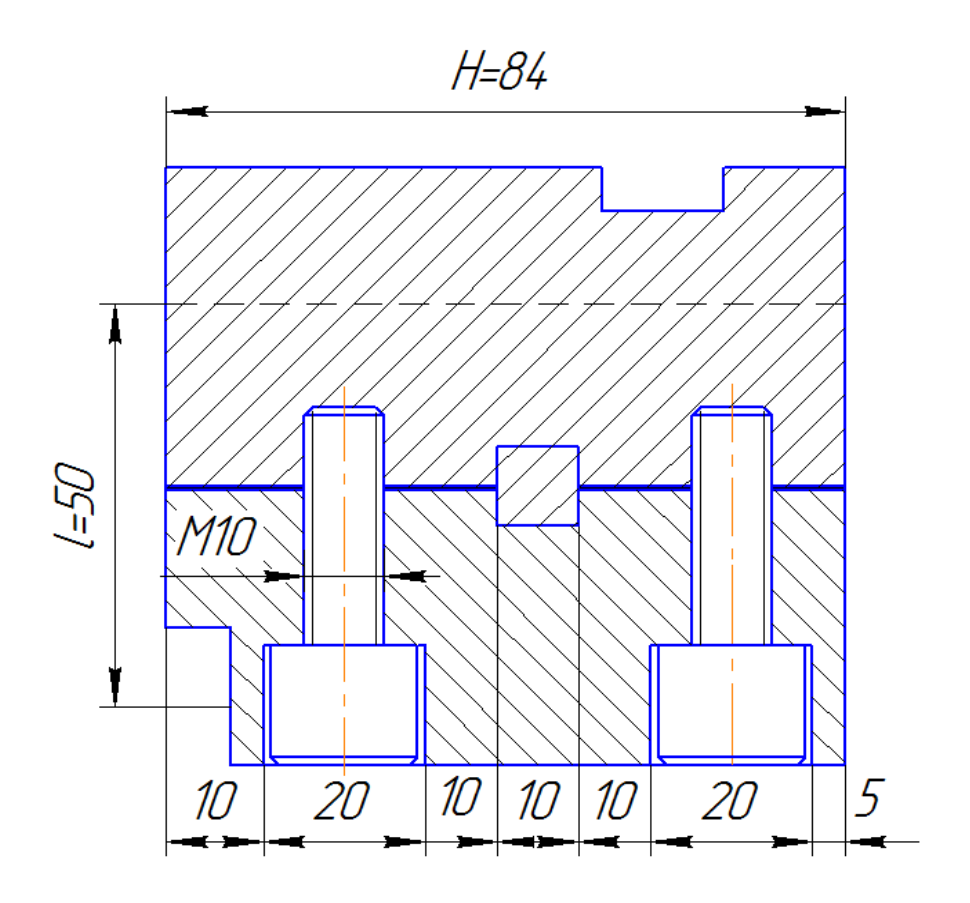


Рис 3.2 Конструкция сменного и постоянного кулачка<sup>6</sup>.

Ответ: W<sub>1</sub>=124858,4 Н

121

<sup>&</sup>lt;sup>6</sup> Рисунок выполнен автором.

## 3.4. Расчет зажимного механизма патрона

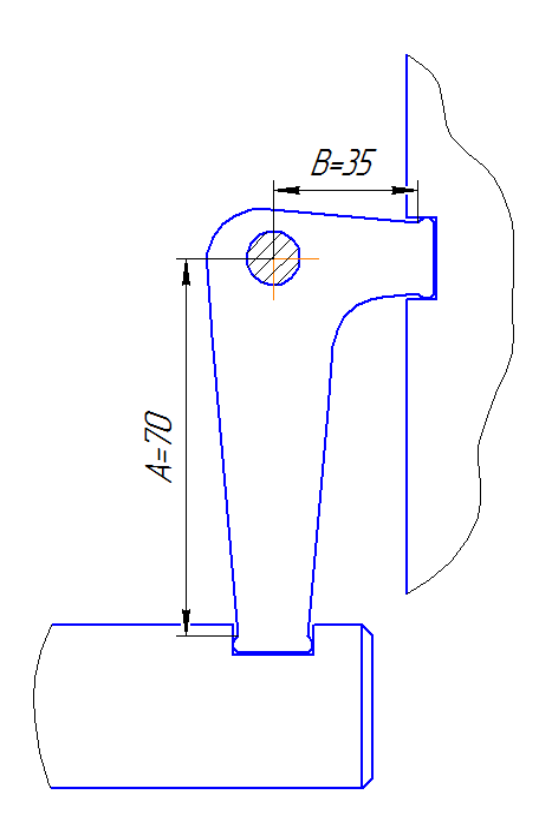


Рисунок 3.3 Схема рычажного зажимного механизма<sup>7</sup>

$$Q = \frac{w_i}{i_c} = \frac{124858,4}{70/35} = 62429,2H \tag{3.12}$$

 $i_c$ -передаточное отношение по силе зажимного механизма.

 $i_c \!\!=\!\! A/B$ , где A и B плечи рычага.

Ответ: Q=62429,2 Н

<sup>&</sup>lt;sup>7</sup>Рисунок выполнен автором.

## 3.5. Расчет силового привода

Попытаемся применить пневматический привод, так как в любом производстве имеются трубопроводы для подачи сжатого воздуха.

$$D = 1.13\sqrt{\frac{Q}{P}} = 1.13\sqrt{\frac{62429.2H}{0.4}} = 446.4 \text{ MM}$$
(3.13)

Р-избыточное давление воздуха, принимаемое в расчетах 0,4МПа.

В конструкцию станка Б16Д25Ф3-02 возможно встроить силовой привод с диаметром более 120 мм. При заданном усилии Q подбираем давлении масла(1;2,5;7,5)

Скорректируем диаметр поршня приняв давление 5МПа.

$$D = 1{,}13\sqrt{\frac{Q}{P}} = 1{,}13\sqrt{\frac{62429{,}2}{5}} = 136{,}2\,\text{MM}$$
(3.14)

Округляем до стандартного ряда, т.е. D=140 мм

В данном случае необходимо принять гидравлический привод.

Ход поршня цилиндра:

$$S_{Q}=S_{W}/i_{n} \tag{3.15}$$

 $S_{w}$ -свободный ход кулачков, который можно принять 12,5 мм.

 $i_n = 1/i_c$  - передаточное отношение зажимного механизма по перемещению.

## 8.6. Расчет погрешности установки.

Погрешность установки определяется по формуле.

$$E_{\rm y} = \sqrt{E_{\rm B}^2 + E_{\rm 3}^2 + E_{\rm np}^2} \tag{3.16}$$

 $E_{\text{Б}}$ - погрешность базирования.

Е<sub>3</sub>- погрешность закрепления.

 $E_{\text{пр}}$ - погрешность элементов приспособления.

$$E_{y} = \frac{\omega_{A\Delta}}{3} = 1/3\sqrt{\Delta_{1}^{2} + \Delta_{2}^{2} + \Delta_{3}^{2} + \Delta_{4}^{2} + \Delta_{5}^{2}}$$
(3.17)

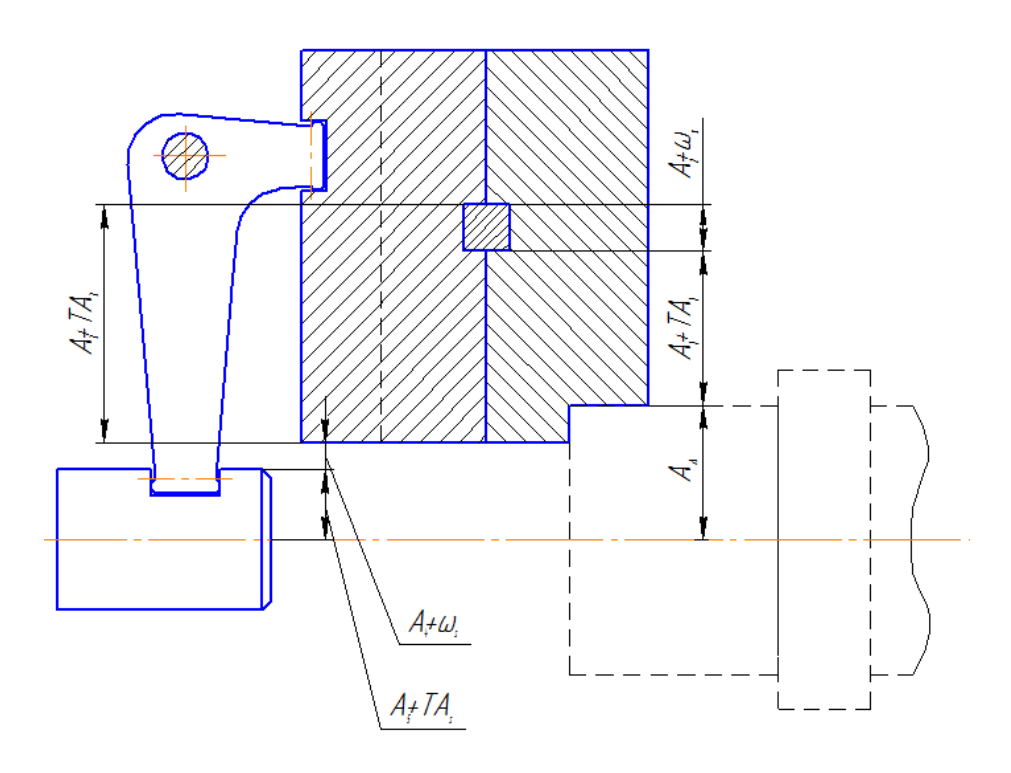


Рис 3.4 Расчетная схема погрешности патрона $^8$ 

-

<sup>&</sup>lt;sup>8</sup> Рисунок выполнен автором.

$$E_V = \frac{\omega_{A\Delta}}{3} = 1/3\sqrt{0.04_1^2 + 0.11_2^2 + 0.04_3^2 + 0.11_4^2 + 0.11_5^2} = 0.066$$

Необходимые данные подбираем[8, с 23, табл 13].

Допуск выбираем по 100h11 ввиду чистовой обработки.

 $0,066 \le 0,3 \cdot 0,25$ 

 $0,066 \le 0,075$ 

## Условие выполняется

Ответ: Условие точности выполнилось, следовательно конструкция подобрана верна.

## 3.6. Устройство приспособления

Особенностью токарного приспособления является разделение конструкции на патрон и силовой привод, которые монтируются на концы шпинделя коробки скоростей. Корпус патрона 12 устанавливается и надежно закрепляется на переднем конце шпинделя и связывается с зажимным механизмом патрона с помощью тяги 6. В конструкцию патрона входят сменные кулачки 14, которые жестко крепятся к постоянным кулачкам 15. Для точной установки сменных кулачков применяется призматическая шпонка 34, а для их закрепления- винты 28 размером М10 с утопающей головкой. Для радиального перемещения кулачков применяется зажимной механизм 16, который через центральную втулку 17 и тягу 6 связан с вращающимся гидравлическим силовым приводом. Гидравлический привод состоит из поршня 5, который монтируется на шток 4.конструктивно было предложено, чтобы поршень ввиду динамических нагрузок не смещался с правой стороны он прижимается к буртику, с левой стороны- гайкой 25 и стопорным кольцом 26. Между поршнем и буртиком используется манжета, для того чтобы не было утечки рабочей жидкости. Поршень и шток закрепляются в гильзе 3. Гильза жестко закреплена винтами 20 с внутренним корпусом 2. Для фиксации положения в пространстве внутреннего корпуса применяют подшипники качения 19 между которыми стоит распорная втулка 11 для регулировании осевых зазоров, для повышения жесткости. Вся конструкция помещена в наружный корпус 1с помощью винтов закрепляется с коробкой скоростей. Наружный корпус имеет отверстие 7, для того чтобы можно было застопорить вращение гидропривода. Для подачи рабочей жидкости используется штуцер 10, монтируемый в наружный корпус. В штуцер заливается рабочая жидкость, которая перемещается по каналам в полость поршня и под давлением действует на него, заставляя его линейно переместиться. Ввиду этого перемещается шток, который связан с центральной втулкой при помощи тяги. Вследствие этого перемещается рычаг, который на прямую взаимодействует на кулачки.

# 4.Безопасность и экологичность технологического обеспечения

## 4.1. Конструктивно-технологическая характеристика объекта

Таблица 4.1 - Технологический паспорт объекта.

№ п/ п	Технологический процесс	Технологическа я операция, вид выполняемых работ	Наименование должности работника, выполняющего технологически й процесс, операцию	Оборудование, устройство, приспособлени е	Материалы , вещества
1	Заготовительный процесс	Заготовительная		Кривошипно- горячешт. пресс	Ст40Х
2	Лезвийный процесс	Подрезная операция	Оператор станка с ЧПУ	Подрезной ст. 2A932 Призмы	Ст40Х
3	Лезвийный процесс	Точение (черновое, чистовое)	Оператор станка с ЧПУ	Токарный Ст. Б16Д25 Упор. центр Кулачковый патрон	Ст40Х
4	Лезвийная обработка	Сверление	Оператор станка с ЧПУ	Сверлраст. РТ293205М1 Призмы	Ст40Х
5	Лезвийная обработка	Растачивание	Оператор станка с ЧПУ	Горизонтраст. 262ПР1 Люнеты	Ст40Х
6	Лезвийная обработка	Фрезерование	Оператор станка с ЧПУ	Шпоночно- фрезерн. 692Д Призмы	Ст40Х
7	Аббразивная обработка	Шлифование	Оператор станка с ЧПУ	Шлифовальный станок ШХ4-10Ф2	Ст40Х

# 4.2. Идентификация производственно-технологических и эксплуатационных профессиональных рисков

Таблица 4.2 – Идентификация профессиональных рисков

No	Производственно-	Опасный и /или	Источник опасного и / или
$\Pi/\Pi$	технологическая	вредный	вредного производственного
	и/или	производственный	фактора
	эксплуатационно-	фактор	
	технологическая		
	операция, вид		
	выполняемых работ		
1	Заготовительная	Значительный нагрев	Оборудование КГШП
		поверхн.	
		заготовки	
2	Подрезание, точение,	Острые кромки,	Оборудование Подрезное,
	растачивание	заусенцы,	токарное
	сверление	шероховатость на	Режущий инструмент: резец,
		поверхности.	пластина
		Повышенный шум	Режимы резания
3	ТО	Повышенная	Оборудование: Шахтная печь
		температура рабочей	
		зоны	
4	Шлифование	Повышенная	Оборудование:шлифовальное
		температура рабочей	Материал аббразивного круга
		зоны,	Износ аббразивного круга
		Повышенный шум	Режимы резания
		Запыленность	

## 4.3. Методы и технические средства снижения профессиональных рисков

Таблица 4.3 –Методы и средства снижения воздействия опасных и вредных производственных факторов

<b>№</b> п/п	Опасный и / или вредный производственный фактор	Организационные методы и технические средства защиты, снижения, устранения опасного и / или вредного производственного фактора	Средства индивидуальной защиты работника
1	Значительный нагрев	Вредоносный фактор	При необходимости
	поверхности заготовки	можно снизить путем	транспортировать
		смены оборудования	заготовку следует
			применить
			специализированные
			ухваты
2	Острые кромки,	Вредоносный фактор	Аккуратно
	заусенцы,	можно снизить путем	эксплуатировать
	микронеровности,	Смены инструмента на	оборудование,
	повышенный шум, нагрев	более стойкий. замена	использовать беруши и
	рабочей зоны	оборудования другого	во время работы на
		класса точности,	оборудовании не
		оптимизация выбора	использовать перчатки,
		режимов резания,	использовать очки
		использовать СОЖ	защитные и рабочий
			фартук для защиты от
			стружки
3	Значительный нагрев	Использовать иную	Применить
	поверхности	термообработку	специализированные
	заготовки		ухваты либо напольного
			робота
4	Повышенная температура	Использовать СОЖ, иное	Аккуратно
	рабочей зоны,	оборудование	эксплуатировать
	Повышенный шум	повышенной класса	оборудование,
	Запыленность	точности для	использовать беруши

# 4.4. Обеспечение пожарной и техногенной безопасности рассматриваемого технического объекта

Таблица 4.4 – Идентификация классов и опасных факторов пожара

<b>№</b> п/п	Участок, подразделение	Оборудование	Класс пожара	Опасные факторы пожара	Сопутствующие проявления факторов пожара
1	Заготовительный	КГШП	A	Тепловой	Образующиеся в
	цех			поток	процессе пожара
					осколков
					технологической
					системы(оснастка,
					оборудовании,
					инструмент)
					Замыкание высокого
					электрического
					напряжения на
					токопроводящие части
					технологической
					системы
2	Станочный цех	Подрезное,	В	Пламя и искры	Образующиеся в
		2A932			процессе пожара
		Токарное			осколков
		Б16Д25Ф3			технологической
		Шлифовальное			системы(оснастка,
		оборудование			оборудовании,
					инструмент)
					Замыкание высокого
					электрического
					напряжения на
					токопроводящие части
					технологической
					системы

# 4.5. Разработка технических средств и организационных мероприятий по обеспечению пожарной безопасности технического объекта

Таблица 4.5 - Технические средства обеспечения пожарной безопасности

Первичн	Мобильны	Стациона	Средс	Пожарн	Средства	Пожарный	Пожарн
ые	е средства	рные	тва	oe	индивиду	инструмент	ые
средства	пожароту	установк	пожар	оборудо	альной	(механизиро	сигнализ
пожароту	шения	И	ной	вание	защиты и	ванный и	ация,
шения		системы	автома		спасения	немеханизир	связь и
		пожароту	тики		людей	ованный)	оповеще
		шения			при		ние.
					пожаре		
Пенные и	Воздушно-	Установк	Тепло	Водопе	Пременит	немеханизир	Локальн
водные	пенные	а водн.	вые	нное	Ь	ованный	oe
		тушения		оборудо	специаль		оповеще
				вание	ные		ние
					повязки		
					на лицо		
Порошко	Комбинир	Спринкл	Дымов	Генерат	Повязки	механизир	дистанц
вые	ованные	ерные	ые	оры			ионное
				пены			
Углекисл	Комбинир	Дренчерн	Свето	Гидрант	Повязки	механизир	Связь с
отные	ованные	ые	вые				аппарату
							ры

Таблица 4.6. Организационные мероприятия по предотвращению пожара

Наименование	Наименование видов	Предъявляемые требования
технологического процесса,	реализуемых	по обеспечению пожарной
оборудования технического	организационных	безопасности, реализуемые
объекта	(организационно-	эффекты
	технических)	
	мероприятий	
КГШП, токарное,	Оснащение гидрантов и	При возгорании малого очага
шлифовальное оборудование	порошковых	использовать ручной
	огнетушителей и	огнетушитель, при крупном
	пожарные шкафы	возгорании использовать
		средства оповещения и
		применить гидрант на очаг
		возгорания. Также в шкафах
		можно воспользоваться
		средствами индивидуальной
		защиты

# 4.7. Обеспечение экологической безопасности рассматриваемого технического объекта

Таблица 4.7– Идентификация экологических факторов технического объекта

технического объекта, технического объекта из технического объекта, технического пропесса (производственного здания или сооружения по функциональному назначению, технологическая установка транспортное средство и т.п.  Заготовительная Прессовый цех Кривошипно-горяченит. пресс капщерогенныя хрома Подрезное, оборудование операции подрезное, оборудование оборудование операции посрова и т.д.)  Выброе Выброе капщерогенных жидкого конщерогенных жидкого покрова и т.д.)  Выброе капщерогенных жидкого копщерогенных приводящие к харома систему загрязнению покрова  Лезвийные оборудование откодов в виде хромированной растительного покрова из за гружки и стружки в покрова из за гружки и стружки в покрова из за гружки и стружки в покрова из за гружнего инструмента	Наименование	Структурные	Воздействие	Воздействие	Воздействие
объекта, технического объекта, технологического процесса  технологического процесса  процесса  производственного здания или сооружения по функциональному назначению, технологические операции, оборудование), энергетическая установка транспортное средство и т.п.  Заготовительная  Прессовый цех Кривошипно- горячентт. пресс  поряченит. пресс  подравное, операции  подравное, отходов в виде операции  подравное, отходов в виде оборудование  подравное оборудование  подравное, отходов в виде оборудование  подравное оборудование  подравное, отходов в виде оборудование  подравное оборудование  подравное, отходов в виде оборудование  подравние оборудование  подравное, отходов в виде оборудование  подравние оборудование  подравное, отходов в виде оборудование  подравние объекта на апмоферру (поразующие сточные воды из подразующие сточные воды из покрова объекта на пидроферу (поразующие сточные воды из покрова объекта на пидроферу (поразующие сточные воды из покрова объекта на пидроферу (поразующие сточные воды из покрова отходов, выбросы в водор объекта на пидроферу (поразующие сточные воды из покрова отходов, выбросы в водор объекта на пидроферу (поряжущего объекта на пидроферу (поразующие сточные воды из покрова отходов, выброс отчетивным отходов, выброс отчетивным объекта на пидроферу (поразующие сточные воды из покрова отчетительного покрова отчетельного покрова объекта на пидроферу (поразующие сточные воды покров отчетительного покрова отчетительного покрова отчетельного покрова отчетельная отчетельного покрова отчетельного покрова отчетельного покро					
технологического процесса  производственного здания или сооружения по функциональному назначению, технологические операции, оборудование), эпергетическая установка транспортное средство и т.п.  Заготовительная  Прессовый цех  Кривошипно- горячешт. пресс  веществ  соединения  хрома  Пезвийные  Токарное,  операции  Поврозначание  выброс  канцерогенных водоснабжения)  Выброс  канцерогенных жидкого  веществ  соединения  хрома  Пезвийные  Токарное,  операции  подрезное,  операции  подрезное,  оборудование  оборудование  подрезное,  оборудование  подрезное,  оборудование  подрезное,  оборудование  покрова и т.д.)  Выброс  канцерогенных жидкого  канцерогенных гидравлическую  приводящие к загрязнение  растительного покрова  покрова  загрязнение  растительного покрова  покрова из за  гидравлическую  покрова  пок			_	объекта на	_
процесса  технологического процесса (производственного здания или сооружения по функциональному назначению, технологические операции, оборудование), энергетическая установка транспортное средство и т.п.  Прессовый цех Кривошипно- горячешт. пресс  Керивошино- порячешт. пресс  Выброс веществ соединения хрома  Технологические операции оборудование  Токарное, операции подрезное, операции подрезное, операции подрезное, операции подрезное, операции опасные выбросы в выброс высточныков водоснабжения)  каточников водоснабжения)  покрова и т.д.)  Выброс канцерогенных жидкого концерогенных хрома  Технологические операции прастительного покрова и т.д.)  Выброс канцерогенных хрома  Технологические операции производства приводящие к загрязнение растительного покрова  покрова из за гидравлическую производства покрова из за гидравлическую микропыли микропыли от режущего	*	объекта,	атмосферу	гидросферу	литосферу
процесса (производственного здания или сооружения по функциональному назначению, технологические операции, оборудование), энергетическая установка транспортное средство и т.п.  Заготовительная  Прессовый цех Кривошипногоряченит. пресс  канцерогенных хрома  Лезвийные  Токарное, операции  подрезное, оборудование  подрожного выброс жидкого жондерогенных жрома  систему производства  растительный покров, недра) (образование отходов, высмка плодородного слоя почвы, отчуждение земель, нарушение и загрязнение растительного покрова и т.д.)  Выброс жондерогенных жидкого жондерогенных веществ гидравлическую дастительного покрова  Токарное, отходов в виде хромированной растительного покрова из за гидравлическую дастительного покрова из за гидравлическую настительного покрова из за гидравлическую и стружки в покрова из за гидравлическую микропыли от режущего	процесса	· ·	(вредные и	1 1 1 1	1 1 2
здания или сооружения по функциональному назначению, технологические операции, оборудование), энергетическая установка транспортное средство и т.п.  Заготовительная Прессовый цех Кривошипно- канцерогенных горячешт. пресс веществ соединения хрома систему производства покрова и т.д.)  Лезвийные Токарное, отходов в виде операции подрезное, расточное оборудование частиц прежущего и т.д. отсужки в покрова из за микропыли от систему		процесса	опасные	,	растительный
сооружения по функциональному назначению, технологические операции, оборудование), энергетическая установка транспортное средство и т.п.  Заготовительная Прессовый цех Кривошипно- канцерогенных горячешт. пресс веществ соединения хрома систему производства растительного покрова и т.д. операции подрезное, расточное оборудование частиц микропыли от систему режущего отходов вноситему покрова и за микропыли от систему выброс загрязнение растительного покрова и т.д. операции подрезное, отходов в виде подравлическую дастительного покрова из за микропыли от систему выброс загрязнение растительного покрова из за микропыли от систему выброс загрязнение растительного покрова из за микропыли от систему выброс загрязнение растительного покрова из за микропыли от систему выброс загрязнение растительного покрова из за микропыли от систему выброс загрязнение растительного покрова из за микропыли от систему выброс загрязнение оборудование частиц и гидравлическую микропыли		(производственного	выбросы в	забор воды из	покров, недра)
функциональному назначению, технологические операции, оборудование), энергетическая установка транспортное средство и т.п.  Заготовительная Прессовый цех Кривошипно- горячешт. пресс веществ металла в веществ приводящие к хрома систему производства расточное операции подрезное, расточное оборудование частиц гидравлическую покрова из за микропыли от систему покрова из за микропыли от систему покрова из за микропыли от систему нокрова из за микропыли от систему		здания или	окружающую	источников	(образование
назначению, технологические операции, оборудование), энергетическая установка транспортное средство и т.п.  Заготовительная Прессовый цех Кривошипно- канцерогенных веществ концерогенных гидравлическую покрова и т.д.)  Токарное, отходов в виде хромированной растительного покрова и т.д.)  Лезвийные Токарное, отходов в виде хромированной растительного покрова и т.д.)  Токарное, отходов в виде хромированной растительного покрова и т.д.)  Токарное, отходов в виде хромированной растительного покрова и т.д.)  Токарное, отходов в виде хромированной растительного покрова из за оборудование частиц гидравлическую микропыли от систему режущего		сооружения по	среду)	водоснабжения)	отходов,
технологические операции, оборудование), энергетическая установка транспортное средство и т.п.  Заготовительная Прессовый цех Кривошипно- канцерогенных горячешт. пресс веществ металла в веществ приводящие к хрома систему производства покрова  Лезвийные Токарное, отходов в виде операции подрезное, расточное оборудование микропыли от режущего слоя почвы, отчуждение земель, нарушение и загрязнение растительного покрова и т.д.)  Выброс Выброс концерогенных жидкого концерогенных гидравлическую приводящие к загрязнению производства приводящие к загрязнению производства покрова из за гидравлическую и стружки в покрова из за покрова из за гидравлическую микропыли от систему		функциональному			выемка
операции, оборудование), энергетическая установка транспортное средство и т.п.  Заготовительная Прессовый цех Кривошипно- канцерогенных веществ металла в веществ горячешт. пресс веществ металла в приводящие к хрома систему производства покрова и хрома подрезное, отходов в виде оборудование подрудование		назначению,			плодородного
оборудование), энергетическая установка транспортное средство и т.п.  Заготовительная Прессовый цех Кривошипно- канцерогенных горячешт. пресс веществ металла в веществ горячешт. пресс веществ металла в веществ приводящие к хрома систему загрязнению производства подрезное, отходов в виде оборудование тидравлическую покрова и т.д.)  Лезвийные Токарное, отходов в виде хромированной растительного покрова и т.д.)		технологические			слоя почвы,
энергетическая установка транспортное средство и т.п.  Заготовительная Прессовый цех Кривошипно-горячешт. пресс веществ канцерогенных жидкого концерогенных растительного покрова и т.д.)  заготовительная Прессовый цех Кривошипно-горячешт. пресс веществ металла в веществ приводящие к хрома систему загрязнению производства покрова  Лезвийные Токарное, отходов в виде стружки и подрезное, расточное стружки и стружки в покрова из за оборудование изагрязнение растительного покрова из за оборудование изагрязнение растительного покрова из за прязнение растительного покрова из за оборудование изагрязнение растительного концерогенных жидкого концерогенных веществ приводящие к загрязнению растительного покрова и т.д.)					отчуждение
установка транспортное средство и т.п.  Заготовительная Прессовый цех Кривошипно- канцерогенных горячешт. пресс веществ металла в веществ приводящие к хрома систему производства растительного покрова  Лезвийные Токарное, отходов в виде оборудование частиц микропыли от режущего  установка транспортное средство и т.п. Выброс Выброс концерогенных жидкого концерогенных приводящие к систему приводящие к загрязнению производства растительного покрова  Загрязнение растительного приводящие к загрязнению производства растительного покрова  загрязнение растительного систему производства покрова из за грязнение хромированной растительного покрова из за грязнение стружки и стружки в покрова из за грязнение грастительного покрова из за грастительного покрова из за грязнение грастительного покрова из за грязнение грастительного покрова из за грязнение грастительного покрова из за грастительного покрова из загрязнение грастительного грастительного покрова из загрязнение					· ·
Транспортное средство и т.п.  Заготовительная Прессовый цех Кривошипно- канцерогенных горячешт. пресс веществ металла в веществ приводящие к хрома систему производства покрова  Лезвийные Токарное, подрезное, расточное стружки и стружки в оборудование микропыли от систему режущего		•			* *
Средство и т.п.   Покрова и т.д.		-			-
Заготовительная         Прессовый цех Кривошипно- канцерогенных канцерогенных горячешт. пресс         Выброс жидкого концерогенных веществ приводящие к гидравлическую приводящие к загрязнению производства         веществ приводящие к загрязнению производства           Лезвийные         Токарное, отходов в виде оборудование         Выброс отходов в виде стружки и стружки в покрова из за оборудование         загрязнение растительного покрова из за покрова из за оборудование           Потрации         покрование         частиц гидравлическую микропыли от режущего         микропыли от систему					-
Кривошипно- горячешт. пресс  веществ соединения хрома  Токарное, операции  подрезное, расточное оборудование  Кривошипно- горячешт. пресс  веществ соединения хрома  канцерогенных жидкого металла веществ приводящие к харома  систему производства покрова  Выброс загрязнение растительного покрова  Загрязнение растительного покрова  за кромированной растительного покрова из за оборудование  частиц микропыли от режущего	2	1 1	Dryfmaa	Dryfmaa	
Горячешт. пресс веществ металла в веществ приводящие к хрома систему производства растительного покрова  Лезвийные Токарное, отходов в виде хромированной растительного расточное стружки и стружки в покрова из за оборудование частиц гидравлическую микропыли от режущего	Заготовительная	Прессовыи цех	выорос	выорос	выорос
соединения гидравлическую приводящие к хрома систему производства растительного покрова  Лезвийные Токарное, отходов в виде подрезное, расточное стружки и стружки в покрова из за оборудование частиц гидравлическую микропыли от режущего		Кривошипно-	канцерогенных	жидкого	концерогенных
хрома систему загрязнению растительного покрова  Лезвийные Токарное, отходов в виде хромированной растительного расточное стружки и стружки в покрова из за оборудование частиц гидравлическую микропыли микропыли от систему		горячешт. пресс	веществ	металла в	веществ
Пезвийные Токарное, Выброс Выброс Загрязнение операции подрезное, отходов в виде хромированной растительного расточное стружки и стружки в покрова из за оборудование частиц гидравлическую микропыли микропыли от систему режущего			соединения	гидравлическую	приводящие к
Лезвийные Токарное, Выброс Выброс Загрязнение операции подрезное, отходов в виде хромированной растительного расточное стружки и стружки в покрова из за оборудование частиц гидравлическую микропыли тидравлическую режущего			хрома	систему	загрязнению
Лезвийные Токарное, Выброс Выброс Загрязнение операции подрезное, отходов в виде хромированной растительного расточное стружки и стружки в покрова из за оборудование частиц гидравлическую микропыли микропыли от систему режущего				производства	растительного
операции подрезное, расточное стружки и стружки в покрова из за оборудование частиц гидравлическую микропыли от систему режущего					покрова
операции подрезное, отходов в виде хромированной растительного расточное стружки и стружки в покрова из за оборудование частиц гидравлическую микропыли от систему режущего					
операции подрезное, отходов в виде хромированной растительного расточное стружки и стружки в покрова из за оборудование частиц гидравлическую микропыли от систему режущего					
операции подрезное, отходов в виде хромированной растительного расточное стружки и стружки в покрова из за оборудование частиц гидравлическую микропыли от систему режущего	Лезвийные	Токарное,	Выброс	Выброс	Загрязнение
расточное стружки и стружки в покрова из за оборудование частиц гидравлическую микропыли от систему режущего					
оборудование частиц гидравлическую микропыли микропыли от систему режущего		_		1 1	
микропыли от систему режущего					
режущего		соорудование			
			-	ono romy	
инструмента					
			инструмента		

Таблица 4.8 – Разработанные организационно-технические мероприятия по снижению негативного антропогенного воздействия технического объекта на окружающую среду

Наименование		Токарное, подрезное, шлифовальное оборудование
технического		
объекта		
Мероприятия	ПО	Применение сухих пылеуловителей такие как циклоны и
снижению		аппараты нейтрализации газовых выбросов
негативного		
антропогенного		
воздействия	на	
атмосферу		
Мероприятия	ПО	Применяется химический метод очистки, в котором удаляются
снижению		канцерогенные вещества
негативного		
антропогенного		
воздействия	на	
гидросферу		
Мероприятия	ПО	Применяется биологическое очищение при помощи устройства
снижению		аэротенк
негативного		
антропогенного		
воздействия	на	
литосферу		

Заключение по разделу «Безопасность и экологичность технического объекта».

Подводятся обобщающие итоги дипломной работы (дипломного проекта) по разделу и формулируется обоснованное заключение о соответствии объекта действующим (перспективным) нормативным требованиям.

#### Заключение

- 1. В разделе «Безопасность и экологичность технического объекта» приведена характеристика технологического процесса точения, шлифования, подрезания, сверления, перечислены технологические операции, должности работников, производственно-техническое и инженерно-техническое оборудование, применяемые сырьевые технологические и расходные материалы, комплектующие изделия и производимые изделия.
- 2. Проведена идентификация профессиональных рисков по осуществляемому технологическому процессу точения, шлифования, подрезания, сверления, выполняемым технологическим операциям, видам производимых работ. В качестве опасных и вредных производственных факторов идентифицированы следующие: повышенная температура рабочей зоны, запыленность, не качественная поверхность вследствие механической обработки.
- 3. Разработаны организационно-технические мероприятия, включающие технические устройства снижения профессиональных рисков, а именно острые кромки, повышенный шум, высокая температура рабочей зоны. Подобраны средства индивидуальной защиты для работников.
- 4. Разработаны мероприятия по обеспечению пожарной безопасности технического объекта. Проведена идентификация класса пожара и опасных факторов пожара и разработка средств, методов и мер обеспечения пожарной безопасности. Разработаны средства, методы и меры обеспечения пожарной безопасности. Разработаны мероприятия по обеспечению пожарной безопасности на техническом объекте.

### 5. Экономический эффект.

В базовом проекте было применено расточное оборудование цена которой составляет 1300000 р. Был применен инструмент зенкер цена которого составляет 1000 р. В качестве приспособления были использованы призмы. В проектном варианте было предложено замена оборудования цена которой составляет 4560000 р и замена инструмента1488 р. Приспособление не менялось 3360 р.

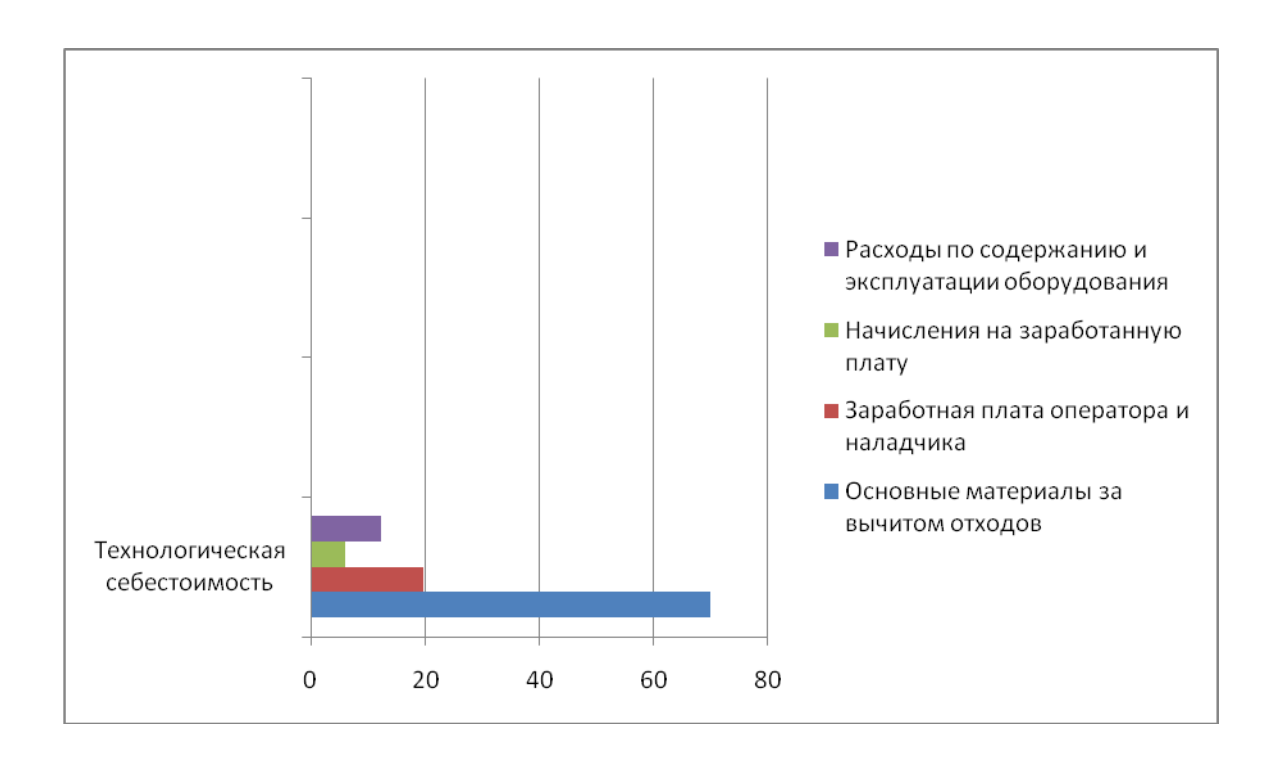


Рисунок 10.1-Технологическая себестоимость( базовый вариант)<sup>9</sup>.

$$3_{\Pi.on} = \frac{\sum 3,4 \cdot 66,71}{60} \cdot 1,087 \cdot 1,14 \cdot 1,12 \cdot 1,08 \cdot 1,2 \cdot 1,076 = 7,31 \, p$$

$$3_{E.on} = \frac{\sum 8,15 \cdot 72,24}{60} \cdot 1,087 \cdot 1,14 \cdot 1,12 \cdot 1,08 \cdot 1,2 \cdot 1,076 = 18,99 \ p$$

<sup>&</sup>lt;sup>9</sup> Рисунок выполнен автором.

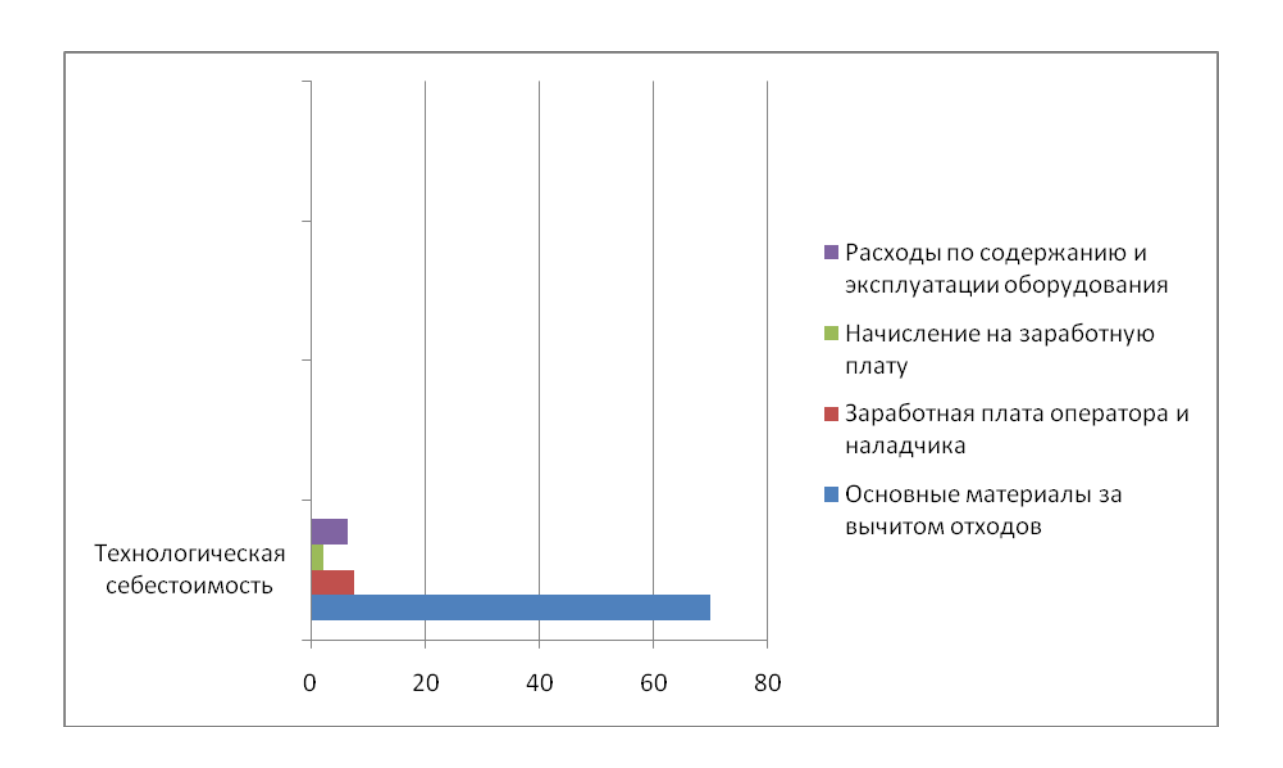


Рисунок 10.2.-технологическая себестоимость ( проектный вариант) $^{10}$ .

$$\Pi_{OK} = \mathcal{G}_{V\Gamma} = (C_{HO\Pi(EA3)} - C_{\PiO\Pi(HP)}) \cdot \Pi_{\Gamma}$$
(5.1)

$$\Pi_{OK} = (7132,79 - 7096,47) \cdot 5000 = 181600 \, p$$

$$H_{\Pi P M E} = \Pi_{O \mathcal{K}} \cdot K_{H A J J} \tag{5.2}$$

где:  $K_{HAJ}$  — коэффициент налогообложения.[8 c16, прил.10]

$$H_{IIPUIS} = 181600 \cdot 0,2 = 36320 p$$

10

$$\Pi_{\text{YMCT}} = \Pi_{OK} - H_{\Pi PME} \tag{5.3}$$

$$\Pi_{VUCT} = 181600 - 36320 = 145280 p$$

$$T_{OK.PACY} = \frac{K_{OBIII}}{\Pi_{YMCT}} + 1, \ \epsilonoo$$
 (5.4)

$$T_{OK.PACY} = \frac{464208}{145280} + 1 = 5 \text{ nem}$$

$$\mathcal{A}_{\mathcal{DMCK.OBUL}} = \sum_{1}^{T} 145280 \cdot \frac{1}{\left(1+0,15\right)^{1}} + 145280 \cdot \frac{1}{\left(1+0,15\right)^{2}} + 145280 \cdot \frac{1}{\left(1+0,15\right)^{3}} + 145280 \cdot \frac{1}{\left(1+0,15\right)^{3}} + 145280 \cdot \frac{1}{\left(1+0,15\right)^{5}} = 488103,5 \ p$$

$$\mathcal{A}_{\mathit{UHT}} = \mathcal{L}_{\mathit{OBUL},\mathit{DMCK}} - K_{\mathit{BB.\PiP}} \tag{5.5}$$

$$\Theta_{UHT} = \Psi / U / U = 488103,5 - 464208,6 = 23894,9 p$$

ИД = 
$$\frac{\Pi_{\text{общ,диск.}}}{K_{\text{общ}}} = \frac{488103,5}{464208,6} = 1,05$$

Проект эффективный так как интегральная величина составляет 23894,9 р

#### Заключение.

В выпускной квалификационной работе были предложены следующие усовершенствования:

- 1. Разработан технологический процесс удовлетворяющий требованиям к точности и шероховатостей поверхностей относительно рабочего чертежа с минимальной трудоемкостью при среднесерийном производстве;
- 2. Проведен технико-экономическое сравнение заготовок, на основание которой можно судить что заготовка в закрытом штампе получается с минимальными затратами;
- 3. Расчитаны режимы на всех операциях и для всех поверхностей;
- 4.Построены размерные цепи, в основу которой вошли расчет припусков на всех операциях и промежуточных размеров;
- 5.Спроектировано приспособление, в состав в который входят патрон поводковый кулачковый с гидравлическим приводом.
- 6.В технологическом процессе проведена замена операции в целях повышения экономической эффективности, которая в итоге составила 23894,9 р.

### Список используемойлитературы

- 1. Методические указания к выполнению курсовых работ по дисциплине "Технология машиностроение". Размерный анализ технологических процессов изготовления деталей машин. Сост. Михайлов А.В. Тольятти, 2002.
- 2.Михайлов А.В. Основы проектирования технологических процессов механосборочного производства. Тольятти, 2004.
  - 3. Рымкевич А.П. Задачник по физике. Дрофа, 2009.
- 4. Методические указания: Экономическое обоснование выбора заготовок при проектировании заготовок. Сост. Боровков В.М. Тольятти, 1999.
- 5.Справочник технолога-машиностроителя-Под ред.А.Г. Косиловой- М.: Машиностроение, 1986-496 с.
- 6.Горбацевич А.Ф. Курсовое проектирование по технологии машиностроения, Минск "Высшая школа", 1983. 255 с.
- 7. Методические указания к выполнению курсовых работ по дисциплине "Оборудование и оснастка". Сост. Воронов Н.Ю. Тольятти, 2016.
- 8. Методические указания по экономическому обоснованию технических решений. Сост. Зубкова Н.В.-Тольятти, 2002.
- 9.Производство деталей металлорежущих станков: учебное пособие / А.Г. Схиртладзе, В.П. Борискин.- Старый Оскол: ТНТ, 2010.-592 с.
- 10. Обработка металлов резанием: Справочник технолога / А.А. Панов.-М.: Машиностроение, 2004.-784 с.
- 11. Расторгуев, Д.А. Разработка плана изготовления деталей машин: учеб.метод. пособие / Д.А. Расторгуев. - Тольятти: Изд-во ТГУ, 2013. - 52 с.: обл.
- 12.Мягков, В.Д. Допуски и посадки / В.Д.Мягков [и д.р.] Машиностроение: Ленингр. отд-ние", 1982. 543 с.

- 13. Станочные приспособления: справочник. В 2 т. Т. 2 / редсовет: Б. Н. Вардашкин (пред.) [и др.]; ред. тома Б. Н. Вардашкин [и др.]. Москва: Машиностроение, 1984. 655 с.
- 14. Горина, Л.Н. Методические указания к дипломному проектированию / Л.Н. Горина. Тольятти: ТГУ, 2003г. 17с.
- 15. Технологические наладки механической обработки и сборки в машиностроении: учеб. пособие / А. Г.Схиртладзе [и др.]. Гриф УМО; ТГУ. Тольятти: ТГУ, 2003. 179 с.
- 16. J. Tomson //Experimental research of processing parameters on the surface roughness at high speed CNC turning for steel EN-24 Alloy using response surface methodology inTech, 2013.

http://www.ijera.com/papers/Vol4\_issue5/Version%207/AA04507153160.pdf.

17.L .Silva // Modelling and optimization of process parameters during processing keyway cutters made of hardened.

steel.http://www.ijera.com/papers/Vol2\_issue2/DH22674679.pdf.

18.P. Hilton // ANN based tool condition monitoring.

CC.http://www.ingenieria.unam.mx/~revistafi/ejemplares/V12N4/V12N4\_art10.pdf.

- 19. P. Andersson // Effect of vibration on the spindle with the surface roughness in turning machines termokonstantnyh conditions using Ann system. http://thinkinglean.com/img/files/020304m.pdf.
- 20. Experimental study of the influence of process parameters on the metal removal rate and surface roughness in turning operations on a conventional lathe for the 6082 class aluminum Material, using the Taguchi.

http://www.ijera.com/papers/Vol4\_issue1/Version%203/AE4103177185.pdf.

ПРИЛОЖЕНИЕ

	K22	•	X V f	è																
						K L M N	0 P Q	$R \mid S \mid T \mid U$	V W X	Y Z AA AE	ACAD	AE AF	AGAH	AI AJ AK	AL AM	AN AO AF	AQARA	SATAU	AVAW.	AX AY AZ
17	Н.ка Чп			обровскі иткалов				_		Ло	maa.	RA ALII	ПИНДЕ	ЛЬ				кп		
19	M01	no.	b	оорооскі	UU A.B.			ſп	nue YUX LL	OCT 1050-74	illuzio i	שוואכ	пипц	/10				NII I		
20	1101		Knil		EB	MI	EH	H. Pacx.	ким.	Koil Sozom		П	пофиль і	J 003ME08		КД	M3			
21			12		166	2.8	1		0.6	24			Ø 260:	<868		1	212			
22	M02					i	1 1						,-							
23	A	Цех	94	Pm	Опер			наименавание і												
24	Б					именование оп			CM	Проф.	P	YT.	KP	коид	EH	ОП	Кшт.	Tr	3.	Тшт.
25	A03				000		Загатавите	иьноя											$\perp$	
26	504					Кривашиг	но-горячешт	эмпованный пре	200							2				
27	A05				010		Подрезн	DR RD												
28	506					Ц	ентро-подрезн	юй 2A932		17845	22	1	1	1	1	200	1		12	18
29	007	Падре:	зать тар	цы 13, 1	4 и пробе	сти зацентра	вку с авух сп	орон <u> </u>												
30	T08	Присп	ос од чение	тиски!	стоночны	е винтовые с	призм. губкам	ш.Сверла ценп	гравачнае Г	OCT 14952-5										
31	T09	Штон	генциркц	ль ШЦ-2	2-25															
32	A10				020-03	0	Такарная Че	рновоя												
33	Б11					Такарна-ви	нтаризнай ст	анак Б16Д25Ф	3-02	15292	22	1	1	1	1	200	1		6	30,32
34	012	Прото	чить пре	аворите	ельна пав.	1–12.														
35	013	падре:	асть тар	цы 15,16,	,17,18,19,2	0,21,21,22,23,24	,25													
36	T14	Патра	н павадкі	овый ГОО	IT 2571-7	1 и упорный у	ентр ГОСТ 87	42-45												
37	T15	Штона	генциркул	ь ШЦЦ :	2-250 0.0	1 FOCT 166-89														
38	A16				040-05	0	Такарная с	409												
39	Б17					Токо	рный с ЧПУ Б	16Д25Ф3-02		15292	22	1	1	1	1	200	1		6	21,75
40	018	Прото	чить пав	ерхнаст	ш 1,3,4,6,	8,9,12 <b>прареза</b>	ть резьбу пав	.2,57,10, npape:	зать канавн	u 53,54,55,56,57,5	8,59,60,6	1. фаскі	26,27,2 u	8,29,30,31,3	2,33 и та	рцы 16,17,2	1,22,24,25			
41		-								4К8,резец канаб					•					
42						1 FOCT 166-89													$\top$	
72	120	Tmining	:cutuhkA	о шцц .	2-230 0.0	11001 100-01	1		$\perp$	$\perp$	$\vdash$	ш	ш		ш		$\vdash$	$\perp$	$\rightarrow \rightarrow$	

		_		_		_	_	_	_	_		_	_	_	_	_	_		_			_		_	_	_		_								_							_		_						_
	A B	(	$C \mid L$	) B	F	G	H	I	J	K	L	M	N	0	P	0	R	S	T	U	V	W	X	Y		AA	l AE	AC	AD	AE	AF	AG.	AH	AI	AJ A	4KI	1 <i>L A</i> .	VAI	IAC	AP	AQ	AR.	AS	AT	ΑÜ	AV	4 W	AX	AY	A2	
34	T33	Ш	Итон:	20HL	ирку	16																																													
35	A34								090	)					Φμ	езер	JHCU9																																		
36	635	Τ		Τ		Γ						Шг	IOHO:	HD-(	ppe:	ерні	dů C	тон	ок 6	92,	1			Г	152	92			22		1		1		1		1		200	)			1			16	П		0,9		
37	036	4	Фрел	эруе	н шп	ано	ный	паг	38,.	39										Г				Г												$\neg$					Г						П				_
38	T37	4		741402	я фр	92α	roci	16	463-	80										Г		Τ		Τ												T										П	T		Т		_
39	T38	5	Уста	нава	чные	при	эны	ΓΟΣ	T 12	195	66		Г					Г	Г	Г		Г		Г												T									П		T				_
40	T39	4	<i>Ита</i> н	2840	ирку	716																																													_
41	A40	Τ				Γ		Γ	100	)			Г		38	кер	060H	WE.		Г				Γ												T					Π				П		П				_
42	B41												Poc	точ	lOÚ I	mak	lOK	2A6:	22¢	4					15	292			22	1		1			1		1		200	)		1				6			3,4		
43	T42	3	Венке	pyer	omê	ерс	MNE	41 î	do Ro	12,5																																									
44	T43	3	Венке	р из	mbe	p30:	20 01	nob	о ГО	CT 1	1176	5-71																																							
45	T44	y	Эстан	або	HHE	при	змы	LOC.	T 12	195-	66																																								
46																																																			
47	A45								110	ı					10																																				
48	546														Doxi	пноя	пе	њ																																	
49	A48								120	)				Це	нтр	шль	фав	DHUE	2																																
50	649											ЦЕ	нтр	эшлц	фав	олы	ЮÜ	cma	HOK	MB	119				15	292			22	1		1			1		1		200	)		1				12			0,5		
51	050	1	Шпиф	овал	9 <i>6 48</i>	чті	X.																																												
52	T51	4	Шпиф	oba/	ьныс	9 20	ทอให	α																																											
53	T52	3	9ста	нава	чные	при	эны	ΓΟΣ	T 12	195-	66																																				$\Box$				_
54	T54	1	Микри	nen	p										Г		Γ			Γ		Γ														Т										П	T				

_		_				_		_		_		_	_	_	_	_	_		_	_	_	_		_	_	_	_	_	_	_	_	_	_	_		_		_		_			_		_			_	_			_	_	
	A B		$C \mid I$	) 2	? P	' C	Ŧ H	1	J	K	L.	M	N	0	Р	Q	R	S	T	1	IJ	V	W	X	1	? .	$Z \mid A$	AA	AB	AC	'AL	AE	AF	$\tau_A$	$GA_{I}$	$H_{I}$	$4I \mid A$	IJ	4K	ALA	M	1NAC	AI	$^{\circ}AQ$	AI	R A	S A 7	l'Al	JAi	AW	$A\lambda$	. A	Y	AZ
55	A55								130-1	40					Шпи	ιфα	วิตกร	ная																																				
56	656	T				Т		Г			Торц	екр	yzni	шл	φοδ	алы	y BU	ста	чак	Ш	(4 – j	ŋΦ.	20	Г	Т	15	292				22		1		1	ī	7	1	П		1	20	0		1			Т	7			8,	.04	
57	057	1	Шпиф	oba	пь п	obej	XHOC	mu	1.3,6.0	9.	илиф	ава	пь і	παρι	16 1	7,22	,24,	25		Т				Т						Г						T											Т	Т				Т		
58	T58	7	Круг	шль	φοδι	иын	ษย์ 2	60x	16x32	100	T 17	123	-79							Т				Т	T		Т									T		Т	$\neg$		T			T	Τ		T	Т				Т		
59	T59		Уста	нава	4446	חמת י	шны	ΓO	T 12	195-	66																												T		T							Т						
60	T60	1	Микр	aren	nρ	Ť		Τ									П				T				T									T		T			$\neg$		T							Т						
61	A61	T	Ť						150-1	60					Шли	ιфα	วินาย	ная																		T												Т						
62	B62	T				Т	Т	Т				۲рц	2100	nud	مؤه (	пьнь	ıŭ c	тон	ок H	ĸШ	-40	0		Т	T	15	292			Г	22		1	T	1	ı		1	$\neg$		1	20	0		1		Т	Т	7			10	,41	
63	063	1	Шпиф	oba	пь п	obej	KHDE	mu	1383	7							П			Τ				Т										T		T												Т						
64	T64	1	Круг	шль	φοδι	ИЬН	ษย์ 2	60x	16x32	100	T 17	123	-79				П			Т																T											Т							
65	T65	Ų	Уста	ново	чные	при	J3МН	ГОО	T 12	95-1	56									Т					T		Т							T		T			$\neg$		T		Т	Т			T	Т	Т	Т		Т		
66	T66	1	Микра	меп	ιр			Г									П																																					
67	A67	Т				Т		Т	170-1	80					Шль	фав	IDAF	ноя	Г	Т				Т	Т	Т	Т			Г				Τ		Т		Т	П		П				Т		Т	Т	Т					
68	568	T						Т				ζру	2100	пцф	ово	пьнь	ıŭ c	тон	ok H	ĸШ-	-40	0		Т		15	292				22		1		1	ı		1			1	20	0		1			Т	10	)	<b>(1)</b>	17	,31	
69	069	1	Шпиф	oba	пь п	овед	XHOC	mu	3,8,9								Г			Τ				Т	T					Г						T					T						Т	Т					_	
70	T70	1	Круг	A8.	260x	20x	32 T	001	1616	8-80	7									Τ					T									T		T			$\neg$		T						T	Т				Т		
71	T71	Ų	Уста	нава	чные	при	<b>ЈЗМ</b> В	ГОО	T 121	95-1	66																																					Т						
72	T72	1	Микро	меп	р	Ĺ																																										$\perp$						

	Α	ВЕ	D	Ε	F	б	Н	1	J K	1 1	1 1	V O	Р	a R	5	7	U	V	W	X	Y	Z	AA	AB	AC
7	,,,,,,,,,,,,,,,,,,,,,,,,,,,,,,,,,,,,							Кафедра ОТМП																	
8																									
9 10	Н. Кан	m <sub>Ω</sub>	Витк	алов В.Г.										аль ВА.	Л-ШП	ТИНДЕ	716						0,25		
77	Наиненование операции						<i>Материал</i>						Твердасть Ев			<i>/</i> 2	<u> </u>	Профиль разнеры			1	M3		ИД	
12				ая чистови				manı	40,	( FOET	1050	7-74	H.	Rc 40	.45		5	2	61	7x229	229 2		212		
17																									
14	4 Оборудование, устройство 4ЛУ							Οδου	наче.	ние пр	огран	THE	Το Τδ		Γιο Τωπ		Тшт			ЕОЖ					
15		Гая	арныо-в	интарезнь	ιΰ																				
16													,	11,97	7 1,57			5	17,12	7,12		ВИАМ			
17	Ρ									ПИ		Д или В		1		f		j	5		Π		V		
18																									
19	001			ь заготові																					
20	T02	Патр	ан паваа	жовый куп	ачк <b>овы</b> й с	odr.	юй сл.	аран	<b>ш</b> , уг.	арный	цент	р с другай													
21	003	Резци	он 1 сня	ть припусі	к с п <b>овер</b> хі	40C	mu 12																		
22	T04	Такар	ный рез	ец прахадя	най упарны	úα	тогну	тый	roc,	1887	9-73														
23	005	Резци	он 2 сня	ть припус	к с п <mark>аве</mark> рх	HOC	ти б,	9,9	$\perp$																
24	T06			ец прахадн		úα	тогну	រាសប៊																<u> </u>	
25	007	_		Гра <b>б</b> атать																				<u> </u>	
26	T08	Такар	ный паа,	аезнай ат	агнуты ГО	[[	18880	-73					L.											<u> </u>	
27	009	Резца	n 5	οδραδοπα	ть резьбо	รษย	повед	жн					Ц		L					┖		<u> </u>		_	
28										1			-	19	0,46	_	1		0,3	523	_	263		nati.1.	
29									$\perp$	2			-	122	0,43		1		0,3	640	_	271,		пав.б	j
30														140	0.44	4	1		0,3	630	'	297		пав.в	<i>,</i>

	A	$B \mid \mathcal{E}$	D	E	F	G	Н	1	7 J		М	N	0	P	<i>a</i>	R	5	7	U	V	W	X	Y	Z	AA	AB	AC
1																											
2	Дубл	_						Ш																			
3	Вза							Ш	4						Ш												
4	Под	7																									
5			T // 3	2 44.5		_									_										_		
6		ораб. Кадошников М.Г. Веоил Логинов Н.Ю							, , , , , , , , , , , , , , , , , , ,																		
	//pac	ерил			Н			Кафей	וט מסק	וויו		_															
8								-																_			-
10	H. Kor.	mn	Rume	anob B.F.			Il emans BA/I-WINHHIE/Ib														0,25						
17	77. 7500.		н енован	$\vdash$		Материал Гъердость ЕВ МД Профиль разнер									YOUN	,	13										
12	_	muu	Сталь 40X ГОСТ 1050-74							+	HRC 4045 52					x229	שעטי	_	7.5 7.4	ND.	7Д						
17			EMIGID 40/1 (CE) 1030-74							-	mL	40	.43		_	/2	00.	X227		-	<i>n</i> 4						
1/4	<del></del>	Nagura.	abarria r	ιςπρούςπδι	- บกบ			nsa-		O( (( (O	0003	70000		+	Ti	<u>.</u>	Ι	L Γδ	,	כח	Τωπ	I		<u> </u>	0.K		
15						Обозначение програнны							+	/(		<u> </u>	0	/.	11.0	7 (6)111	-			2 <i>7</i> /1			
16	7 4	JUJUHI))		асточной і РПР1	LIII WHUK.									-	7.1	1/	,	1,5	,	,,,	/ 72	-		0.0	ам		
			202	111-1		I III					- a		3,14			L	1,3 F	0,9		4,73				MM_		—	
17	Ρ							Н	+		m	Д	или В	+				ſ		/	5	-	n		V		-
18	004								+	+				+	Н							<u> </u>					
19	001			ь эаготові															L_								
20	102	_		ные винта						ומוסו	10MU4	PCKUH	и гу <b>б</b> ки	שט טאט	'nя.	круга	пых г.	ροφι	neŭ								
21	003	_		илиндричес		KHO	сть и	фац	ку																		
22	T04			isey FOET	18883-73				_																		
23	005		гэать ка																								
24	T06	Раст	очной реец ГОСТ 18882-73																								
25											1				15	0	l	1,6		1	0,4	1.	25	3.	131		

	формат	ЭОНОЕ	No3.	Обозначение	Наименование 🧕	Приме- чание
Терв, примен					<u>Документация</u>	
(Jep)	A1		X	16.5P.OTM7.643.80.00	О Сборочный чертеж 1	200
			v		<u>Детали</u>	
Cripcili. Nº			1	16.5P,0TM7.643.80.00	1 Наружный корпус 1	K.
0			2	16.5P.0TM17.643.80.00		af l
			3	16.5P.0TM7.643.80.00	3 Гильза 1	
			4	<i>16.5P.0TM7.643.80.00</i> -	4 <i>Шпок</i> 1	<i>Cm45</i>
			5	<i>16.5P.0TM7.643.80.00</i>	5 Поршень 1	Cm45
			6	<i>16.5P.0TM</i> 17.643.80.000	6 T <i>яг</i> а 1	<i>Cm40</i>
			7	16.5P.OTM7.643.80.00	7 Προδκα 1	СтЗ
Q			8	16.5P.OTM7.643.80.000	8 Кольцо 1	СтЗ
и дата			9	<i>16.5P.0TM</i> 7.643.80.00	9 Поршне <b>в</b> ое уплотнение 2	СтЗ
70dn. L			10	<i>16.5P.0TM</i> 7.643.80.010	7 Штуцер 2	Ст45
71			11	16.5P.0TM7.643.80.011	1 Распорная втулка 1	<i>Cm45</i>
สิ่งอัก			12	16.5P.0TM7.643.80.012	? Корпус патрона 1	Cm40
Nº A			13	<i>16.5P.0TM</i> 7.643.80.013	R Крышка патрона 1	Cm45
1F0			14	16.5P.OTM7.643.80.014	4 Сменный кулачок 1	Cm45
0/			15	16.5P.0TM7.643.80.015	Б Кулачок постоянный 1	СтЗ
UHB.			16	16.5P.0TM7.643.80.016	б Захимной механизм 1	<i>Cm40</i>
Вэам			17	16.5P.0TM7.643.80.017	7 Втулка 1	Cm40
дата						
Dan u	H				44 ED OTME ( ) 3 00 00	
		Λυι		N° докум. Подп. Дата	16.БР.ОТМП.643.80.00l	-
№ подл	При		/	CO	ппрон поводковый 1	п Листои 2 ИМ,
NHB.	<u>Н.к.</u> Ут	ОНП. В.		иткалов В.Г. обровский АВ		5- <i>1203</i>

	Формат Зана	Mo3.	Обозначение	Наименование	Кол	Приме чание
	9			Стандартные изделия		
5		20		Крепление для внутреннего кольца	5	
		19		Подшипник 1000909	2	
		12		TOCT 27365-88		
		20		Винт М4 ГОСТ 50384-92	5	
ė.		21		Шайба ГОСТ 5402-70	1	
		22		Манжета 1 ГОСТ 8752-79	1	
		23		Манжета 2 ГОСТ 8752-79	1	
		24		Манжета 3 ГОСТ 8752-79	1	
		25		Гайка МЗ5 ГОСТ 5915-70	1	
		26		Стопорное кольцо ГОСТ 6402-70	1	
		27		Грязесъемники ГОСТ 8752-84	2	
		28		Винт М10 ГОСТ 50384-79	6	
		29		Шайба ГОСТ 6402-70	3	
		30		Винт М6 ГОСТ 50384-79	1	
7		31		Шайба ГОСТ 6402-70	3	
וסלח. נו ממחמ		32		Винт М12 ГОСТ 50384-92	1	
JC.		33		Шайба ГОСТ 6402-70	3	
//0//		34		Шпонка 10х10	1	
700		35		Манжета 4 ГОСТ 8752-79	1	
ע מונטע						
MHD.						
2						
UHÜ					Ì	
БЭАМ ИНО						
D		a v				
DUE						
י ע סמחם						
/ IDGI						
נסטע						
N° 7000				1/ FD OTME // 3 00 00	00	100
OHO.	Harri An	em Nº đe	оким Подга Дата	16.5P.0TMN.643.80.00	U	2